





Esta obra está bajo una <u>Licencia</u>
<u>Creative Commons Atribución-</u>
<u>NoComercial-Compartirigual 2.5 Perú.</u>

Vea una copia de esta licencia en
http://creativecommons.org/licenses/by-nc-sa/2.5/pe/



# UNIVERSIDAD NACIONAL DE SAN MARTÍN

# FACULTAD DE INGENIERÍA CIVIL Y ARQUITECTURA ESCUELA PROFESIONAL DE INGENIERIA CIVIL



Influencia del índice plástico en el contenido óptimo de humedad en suelos arcillosos aplicado en afirmado de carreteras en el distrito de Lamas, provincia de Lamas, región San Martin

Tesis para optar el título profesional de Ingeniero Civil

# **AUTOR:**

Jesus Manuel Saldaña Vasquez

**ASESOR:** 

Ing. M. Sc. Santiago Chavez Cachay

Tarapoto - Perú

2022

# UNIVERSIDAD NACIONAL DE SAN MARTÍN

# FACULTAD DE INGENIERÍA CIVIL Y ARQUITECTURA ESCUELA PROFESIONAL DE INGENIERIA CIVIL



Influencia del índice plástico en el contenido óptimo de humedad en suelos arcillosos aplicado en afirmado de carreteras en el distrito de Lamas, provincia de Lamas, región San Martin

#### **AUTOR:**

Jesus Manuel Saldaña Vasquez

Sustentada y aprobada el día 21 de Julio del 2022, ante el honorable jurado:

Ing. Máximo Alcibiades Vilca Cotrina Ing. Carlos Segundo Huamán Torrejón

Presidente Secretario

Ing. M. Sc. Rubén del Águila Panduro Ing. M. Sc. Santiago Chavez Cachay

Vocal Asesor

Declaratoria de Autenticidad

Yo, Jesus Manuel Saldaña Vasquez, egresado de la Facultad de Ingeniería Civil y

Arquitectura, en la Escuela profesional de Ingeniería Civil, de la Universidad Nacional

de San Martín Tarapoto, identificado con DNI Nº 48701428, con la tesis titulada

"Influencia del índice plástico en el contenido óptimo de humedad en suelos

arcillosos aplicado en afirmado de carreteras en el distrito de Lamas, provincia de

Lamas, región San Martin"

Declaro bajo juramento que:

1. La tesis presentada es de mi autoría.

2. La redacción fue realizada respetando las citas y referencias de las fuentes

bibliográficas consultadas

3. Toda información que contiene la tesis no ha sido plagiada;

4. Los datos presentados en los resultados son reales, no han sido alterados, ni copiados,

por tanto, la información de esta investigación debe considerarse como aporte a la

realidad investigada.

Por lo antes mencionado, asumimos bajo responsabilidad las consecuencias que deriven

de mi accionar, sometiéndome a las leyes de nuestro país y normas vigentes de la

Universidad Nacional de San Martín.

Tarapoto, 21 de Julio del 2022

Jesus Manuel Saldaña Vasquez

DNI N° 48701428

# Declaración jurada

Yo, **Jesus Manuel Saldaña Vasquez**, identificado con **DNI Nº 48701428**, domicilio legal **Jr. Daniel Alcides Carrión Nº 212 - Lamas**, a efecto de cumplir con las Disposiciones Vigentes consideradas en el Reglamento de Grados y Títulos de la Facultad de Ingeniería Civil y Arquitectura de la Universidad Nacional de San Martín - Tarapoto, DECLARO BAJO JURAMENTO, que todos los documentos, datos e información de la presente tesis y/o Informe de Ingeniería, son auténticos y veraces.

En tal sentido asumo la responsabilidad que corresponda ante cualquier falsedad, ocultamiento u omisión tanto de los documentos como de la información aportada, por lo cual me someto a lo dispuesto en las Normas Académicas de la Universidad Nacional de San Martín-Tarapoto.

Tarapoto, 21 de Julio del 2022

Jesus Manuel Saldaña Vasquez DNI N° 48701428 Formato de autorización NO EXCLUSIVA para la publicación de trabajos de investigación, conducentes a optar grados académicos y títulos profesionales en el Repositorio Digital de Tesis

VASQUEZ JESUS MA	anuel
8	Teléfono: 945813810
_15@hotmail-com	DNI: 48701428
ormulario por autor)	
	_
CIVIL Y ARQUITE	CTURA
ENIERIA CIVIL	
(⋉) Trabajo de inve	stigación ( )
( )	
INDICE PLASTICO E CLOS APCILLOSOS A AS ENEL DISTRITO GION SAN MARTII	IPLICADO EN DE LAMAS,
(X) Embargo	( )
()	
para publicar, conservar y	Universidad Nacional de Sar sin modificar su contenido porte, siempre con fines de ital. Respetando siempre los
	INDICE PLASTICO E CLOS APCILLOSOS A AS ENEL DISTRITO SION SAN MARTIN  (X) Embargo  ( )  ento o público, otorga a la U para publicar, conservar y to de fichero, medio o sop

Por el presente dejo constancia que el archivo digital que entrego a la Universidad Nacional de San Martín, como parte del proceso conducente a obtener el título profesional o grado académico, es la versión final del trabajo de investigación sustentado y aprobado por el Jurado.

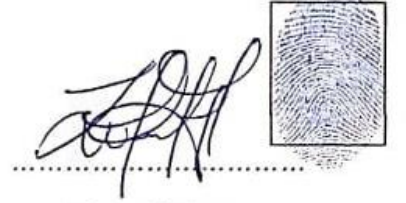
#### 7. Otorgamiento de una licencia CREATIVE COMMONS

Para investigaciones que son de acceso abierto se les otorgó una licencia Creative Commons, con la finalidad de que cualquier usuario pueda acceder a la obra, bajo los términos que dicha licencia implica

#### https://creativecommons.org/licenses/by/4.0/deed.es

El autor, por medio de este documento, autoriza a la Universidad Nacional de San Martín, publicar su trabajo de investigación en formato digital en el Repositorio Digital de Tesis, al cual se podrá acceder, preservar y difundir de forma libre y gratuita, de manera integraa todo el documento.

Según el inciso 12.2, del artículo 12º del Reglamento del Registro Nacional de Trabajos de Investigación para optar grados académicos y títulos profesionales - RENATI "Las universidades, instituciones y escuelas de educación superior tienen como obligación registrar todos los trabajos de investigación y proyectos, incluyendo los metadatos en sus repositorios institucionales precisando si son de acceso abierto o restringido, los cuales serán posteriormente recolectados por el Repositorio Digital RENATI, a través del Repositorio ALICIA".



Firma del Autor

8. Para ser llenado en el Repositorio Digital de Ciencia, Tecnología e Innovación de Acceso Abierto de la UNSM.

Fecha de recepción del documento.

02 1 09 1 202

UNIVERSIDAD NACIONAL DE SAN MARTÍN Repositorio Digital de Ciongia, Tecnología Quinovación de Acceso abierto – UNSM.

ing Grecia Vanessa Fachin Ruíz

Responsable

<sup>\*</sup>Acceso abierto: uso lícito que confiere un titular de derechos de propiedad intelectual a cualquier persona, para que pueda acceder de manera inmediata y gratuita a una obra, datos procesados o estadísticas de monitoreo, sin necesidad de registro, suscripción, ni pago, estando autorizada a leerla, descargarla, reproducirla, distribuirla, imprimirla, buscarla y enlazar textos completos (Reglamento de la Ley No 30035).

<sup>\*\*</sup> Acceso restringido: el documento no se visualizará en el Repositorio.

# **Dedicatoria**

# **A DIOS**

Por destellar el camino de mi existencia.

# A MIS PADRES Y HERMANOS

Con eterno agradecimiento por saber encaminarme y apoyarme en cada momento a lo extenso de mi existencia, hasta concretar el deseo de ser profesional.

# A MI ESPOSA

A mi esposa por hacer de los momentos difíciles una simple enseñanza más, por tanto, amor y paciencia que pude tener.

# **A MIS AMIGOS**

A mis amigos por todo el apoyo brindado, por las aventuras y exploraciones a nuevos lugares en busca de la naturaleza.

# Agradecimiento

A Dios, por el libre albedrío que se nos fue dado, por acompañarnos constantemente, aunque la humanidad no se lo merezca y por haber intentado guiarnos por el camino del bien para así poder iluminarnos; por la sabiduría mostrada en el camino de mi formación; por ser el soporte en los momentos de angustia y debilidad; por la inmensa misericordia que nos muestra en toda nuestra vida.

A mi Esposa Olinda Gianina Soria Bardales, por el apoyo inmutable en el progreso de mi tesis.

A mis Padres José Mamberto Saldaña Visalot y Mily Yaneth Vásquez Cabrera, por velar mi bienestar durante todo mi desarrollo académico.

A mi asesor el Ing. M. Sc. Santiago Chavez Cachay, por ser mi guía en el desarrollo de este trabajo de investigación.

A todos los docentes de mi alma mater, quienes con su conocimiento y experiencia fueron los responsables de mi formación académica.

A la Universidad Nacional de San Martín sede Tarapoto por brindarme la posibilidad de una formación de calidad.

# Índice

Dedicatoria	vi
Agradecimiento	vii
Índice de tablas	xi
Índice de Ilustraciones	xii
Resumen	xiv
Abstract	xiv
Introducción	1
CAPITULO I	2
REVISIÓN BIBLIOGRÁFICA	2
1.1 Antecedentes de la Investigación	2
1.1.1 Antecedentes internacionales	2
1.1.2 Antecedentes Nacionales.	2
1.1.3 Antecedentes Locales.	2
1.2 Bases Teóricas	3
1.2.1. Generalidades	3
1.2.2. Límites de Atterberg	3
1.2.3. Plasticidad y Límites de Consistencia	4
1.2.4 Utilización de los Límites de Atterberg	5
1.2.6 Límite Líquido	6
1.2.7 La Curva de Flujo	7
1.2.8 Secado	10
1.2.9 Acanalador	11
1.2.10 Límite Plástico	11
1.2.11 Análisis Granulométrico	12
1.2.12 Clasificación e Identificación de Suelos	12
1.2.13 Compactación	
1.2.14 Contenido de Humedad Óptima	17
1.2.15 Densidad	17
1.2.16 Afirmado	17
1.2.17 Materiales	18
1.3 Definición de términos básicos	19
CAPITULO II	21
MATERIAL Y METODOS	21

2.1 Planteamiento de Problema	21
2.2 Formulación del problema	21
2.3 Objetivos	21
2.3.1 Objetivo General	21
2.3.2 Objetivos Específicos	22
2.4 Justificación De La Investigación	22
2.5 Limitaciones	22
2.6 Hipótesis	23
2.7 Sistema de variables	23
2.7.1 Variable Independientes:	23
2.7.2 Variable Dependiente:	23
2.8 Operacionalización de variables	23
2.9 Tipo y nivel de investigación	23
2.9.1. Tipo de Investigación	23
2.9.2. Nivel de Investigación	24
2.10 Diseño de investigación	24
2.11 Población y muestra	24
2.11.1 Población	24
2.11.2 Muestra	25
2.12 Técnicas e instrumentos de recolección de datos	25
2.12.1 Instrumentos Bibliográficos	25
2.12.2 Instrumentos de laboratorio	25
2.12.3 Metodologías	25
2.13 Técnicas de procesamiento y análisis de datos	26
2.13.1 Recopilación de información	26
2.13.2 Reconocimiento en campo	26
2.13.3 Trabajo realizado en campo	26
2.13.3.1 Exploración de Calicatas	26
2.13.4 Ensayos De Laboratorio	27
2.13.4.1 Ensayo de Contenido de Humedad Natural	27
2.13.4.2 Ensayo de Análisis Granulométrico	28
2.13.4.3 Ensayo de Límite Liquido	29
2.13.4.4 Ensayo de Límite Plástico	31
2.13.4.5 Ensayo Compactación Próctor Modificado.	
2.14 Materiales y métodos.	33

2.14.1 Materiales	33
2.14.2 Método	33
CAPITULO III:	34
RESULTADOS Y DISCUSIÓN	34
3.1 Resultado de la investigación	34
3.1.1 Ubicación de Calicatas en el distrito de Lamas	34
3.1.2 Resultados del Contenido de Humedad	35
3.1.3 Resultados de la Composición del Análisis Granulométrico	35
3.1.4 Resultados de los Límites de consistencia	36
3.1.5 Resultados de La Clasificación de suelos	37
3.1.6 Resultados de la compactación del Proctor modificado	38
3.1.7 Resultados de la compactación del Proctor modificado	38
3.2 Análisis suelos arcillosos de alta plasticidad.	
3.3 Análisis suelos arcillosos de baja plasticidad	
3.4 Análisis de la información	41
3.5 Discusión de los resultados	42
3.5.1 Propiedades granulométricas	42
3.5.2 Límites de Atterberg	49
CONCLUSIONES	50
RECOMENDACIONES	51
REFERENCIAS BIBLIOGRÁFICAS	52
ANEXOS	53
ANEXO 1: Constancia de Ejecución de Ensayos de Laboratorio	53
ANEXO 2: Estudio de Mecánica de Suelos: Ensayos de Laboratorio	54
ANEXO 3: Panel Fotográfico	127

# Índice de tablas

Tabla 1 Operacionalización de variables.	23
Tabla 2 Ubicación de las calicatas	34
Tabla 3 Resumen de la obtención del contenido de humedad natural	35
Tabla 4 Resumen de las características granulométricas	35
Tabla 5 Resumen de los Límites de Consistencia	36
Tabla 6 Resumen de La clasificación de suelos.	37
Tabla 7 Resumen del Proctor Modificado.	38
Tabla 8 Resumen general de las características de los suelos	38
Tabla 9 Resumen general de las características de los suelos arcillosos de alta	•
Tabla 10 Resumen general de las características de los suelos arcillosos de baja	•
<b>Tabla 11</b> Comparación de los requisitos de calidad de los Limites de Atterberg.	49

# Índice de Figuras

Figura 1: Límites de Atterberg. (Fuente: Manual Escuela de Ingenieros de Caminos,
Canales y Puertos de Barcelona, 1999)
Figura 2: Trayectoria humedad - volumen de la muestra amasada. (Fuente: Manual Escuela
de Ingenieros de Caminos, Canales y Puertos de Barcelona, 1999)4
Figura 3: Deslizamiento de un suelo en el límite líquido. (Shuan, 2004)7
Figura 4: Curva de flujo del límite líquido. (Norman, 1958)
Figura 5: Factor de corrección del Límite Líquido (Eden, 1959, p. 170)9
Figura 6: Acanalador de la ASTM (izquierda) y acanalador de Casagrande (derecha). (Eden, 1959)
Figura 7: Clasificación de Suelos Según Sistema AASHTO (Mora, 1958)
Figura 8: Sistema Unificado de Clasificación de Suelos (SUCS) (Mora, 1958)14
Figura 9: Carta de plasticidad para clasificación de suelos de partículas finas. (Mora, S. 1988)
Figura 10: Parámetros para el Próctor Modificado. (Shuan, 2004)
Figura 11: Determinación del Método a Utilizar Próctor Modificado (Shuan, 2004) 16
Figura 12: Los requisitos de calidad que deben cumplir los materiales. (Fuente: Manual de
Carreteras: Especificaciones Técnicas Generales para Construcción, 2013)
Figura 13: Curva aplicativa contenido de humedad óptima vs índice de plasticidad para arcillas de alta plasticidad. (Fuente: Elaboración Propia, 2022)
Figura 14: Curva aplicativa contenido de humedad óptima vs índice de plasticidad para arcillas de baja plasticidad. (Fuente: Elaboración Propia, 2022)
Figura 15: Comparación de los requisitos de calidad del análisis granulométrico parte I. (Fuente: Elaboración propia, 2022)
Figura 16: Comparación de los requisitos de calidad del análisis granulométrico parte II. (Fuente: Elaboración propia, 2022)
Figura 17: Comparación de los requisitos de calidad del análisis granulométrico parte III.  (Fuente: Elaboración propia, 2022)

Figura 18: Comparación de los requisitos de calidad del análisis granulométrico par	rte IV.
(Fuente: Elaboración propia, 2022)	46
Figura 19: Comparación de los requisitos de calidad del análisis granulométrico p	arte V.
(Fuente: Elaboración propia, 2022)	47
Figura 20: Comparación de los requisitos de calidad del análisis granulométrico pa	rte VI.
(Fuente: Elaboración propia, 2022)	48

# Resumen

En el presente proyecto de investigación se realizó el estudio de mecánica de suelos correspondiente a los suelos arcillosos del distrito de Lamas, determinándose la influencia del índice plástico con el contenido óptimo de humedad de suelos arcillosos de alta y baja plasticidad aplicado en afirmado de carreteras del distrito de Lamas, se inició con la recopilación de información teórica, recopilación de 16 muestras diferentes de suelos arcillosos para luego realizar los ensayos de laboratorio de suelos: granulometría, límite líquido, límite plástico, compactación Proctor modificado, clasificación de suelos mediante el sistema AASHTO y SUCS, y finalmente se obtuvo una curva aplicativa entre índice de plasticidad y el contenido óptimo de humedad, y se determinó la relación que hay entre el índice de plasticidad y el contenido óptimo de humedad, observándose que el índice de plasticidad a medida que incrementa tiene un valor máximo con el cual se obtiene el máximo contenido óptimo de humedad, una vez obtenido el máximo contenido de humedad optima y a medida que el índice de plasticidad incrementa el contenido de humedad el contenido de humedad optima decrece para suelos arcillosos de alta y baja plasticidad. Con todos los datos obtenidos se realizó la comparación entre la granulométrica y los Límites de Atterberg con los parámetros mínimos establecidos en la calidad que deben cumplir los materiales a ser empleados en afirmados de carreteras se concluyó que los suelos en estudios no cumplen los requisitos mínimos requerido en el Manual de Carreteras: Especificaciones Técnicas Generales para Construcción, por ende se recomendó realizar la combinación del material de estudio con material granular hasta cumplir con los parámetros mínimos de material usado como afirmado, esta combinación debe ser confirmada mediante una prueba del laboratorio de mecánica de suelos.

Palabras claves: influencia del índice plástico, contenido óptimo de humedad



#### **Abstract**

The present research project consisted of a soil mechanics study corresponding to the clayey soils of the Lamas district, determining the influence of the plastic index with the optimum moisture content of high and low plasticity clayey soils applied in road pavement in the district of Lamas. The first step was the collection of theoretical information, as well as the collection of 16 different samples of clayey soils, and the subsequent laboratory testing of soils: granulometry, liquid limit, plastic limit, modified Proctor compaction, soil classification using the AASHTO and SUCS systems. Finally, an application curve was obtained between the plasticity index and the optimum moisture content, and the relationship between the plasticity index and the optimum moisture content was determined, showing that the plasticity index, as it increases, has a maximum value with which the maximum optimum moisture content is obtained, once the maximum optimum moisture content is obtained and as the plasticity index increases, the optimum moisture content decreases for high and low plasticity clayey soils. Using all the data obtained, a comparison was made between the granulometry and the Atterberg Limits with the minimum parameters established in the quality that materials to be used in road pavements must meet. It was concluded that the soils under study do not meet the minimum requirements established in the Highway Manual: General Technical Specifications for Construction, therefore, it was recommended that the study material be combined with granular material until the minimum parameters of the material used as a pavement are met; this combination should be confirmed by a soil mechanics laboratory test.

**Keywords:** influence of plastic index, optimum moisture content

# Introducción

El presente proyecto de investigación, tendrá como tema principal la influencia del índice plástico en el contenido óptimo de humedad en suelos arcillosos, este trabajo permitirá trazar la curva aplicativa entre el índice de plasticidad y contenido óptimo de humedad, de este modo se facilita adquirir el óptimo contenido de humedad mediante la tasación del índice plástico, esto permitirá tomar adecuadas decisiones en el momento de efectuar la compactación de sub-rasante durante la ejecución en obras de poca envergadura y de este modo la estructura a proyectarse se comporte satisfactoriamente.

Para realizar la compactación de la sub-rasante es prescindible el óptimo contenido de humedad y para obtener este resultado es necesario abundante material de estudio (especímenes de suelo) para ser llevadas al laboratorio, el transporte de dicho material en a veces suele ser complicado, inaccesibles y costoso, debemos tener en cuenta que la muestra extraída deber ser inalterada, ante esta necesidad planteamos un modelo rápido, sencillo y práctico para determinar el óptimo contenido de humedad se está realizado el presente proyecto de investigación, que permitirá evaluar diferentes especímenes de las arcillas en Lamas para de este modo establecer la influencia del índice plástico en el contenido óptimo de humedad mediante una curva y calcular la analogía existente entre ambos parámetros, resultados que se utilizarán como guía para facilitar futuras labores.

Para poder hacer posible este proyecto se contará con la utilización de materiales, equipos y mano de obra, además de las Normas y los manuales de mecánica de suelos; de esto nos regiremos para proceder a realizar el presente proyecto de tesis.

# **CAPITULO I**

# REVISIÓN BIBLIOGRÁFICA

## 1.1 Antecedentes de la Investigación

#### 1.1.1 Antecedentes internacionales.

El presente proyecto sobre el contenido óptimo de humedad en suelos arcillosos y la influencia del índice de plasticidad en esta, no se pudo encontrar hasta fecha investigaciones realizadas el ámbito internacional.

#### 1.1.2 Antecedentes Nacionales.

Ocon (2013) en su tesis de pregrado titulado "Influencia del índice plástico en el contenido óptimo de humedad en suelos arcillosos". Terminada su investigación llego a lo siguiente: A medida que aumenta el índice de plasticidad (I.P.) este llega hasta su valor máximo obteniéndose el máximo contenido óptimo de humedad en suelos de baja plasticidad, mientras el I.P. sigue aumentando el contenido óptimo de humedad disminuye constantemente en los suelos de tipo arcilla de baja y alta plasticidad pertenecientes al distrito de Cajamarca.

En suelos de elevada plasticidad (arcilla) se logra un máximo contenido óptimo de humedad de un treinta y dos por ciento aproximadamente, el valor del I.P. progresa hasta veintinueve, se divisa que el I.P. sigue aumentando el contenido óptimo de humedad disminuye.

En suelos de baja plasticidad (arcilla) se logra un máximo contenido óptimo de humedad del veintiocho por ciento, el valor del I.P. aumenta hasta veinte aproximadamente, cuando el I.P. va aumentando el contenido óptimo de humedad disminuye. (pp.52).

#### 1.1.3 Antecedentes Locales.

El presente proyecto sobre la I.P. en el óptimo contenido de humedad en suelos arcillosos, no se pudo encontrar hasta fecha investigaciones realizadas el ámbito local.

#### 1.2 Bases Teóricas

#### 1.2.1. Generalidades

Los proyectos de construcción están intrínsecamente ligados al suelo; para luego ser empleados en su posterioridad como terrenos de base, ya todos conocemos, existe diferentes tipos de suelos dividas en estratos las cuales tienen propiedades muy singulares, mediante este análisis podemos definir si estos materiales son aptos o no para construir cualquier estructura que se requiera según su necesidad. (Wihem, P. 1996)

## 1.2.2. Límites de Atterberg

El límite de Atterberg o consistencia están relacionados con el suelo fino, está presente en el ambiente, dependiendo de esta y a la cantidad de agua que contienen se encuentran en diferentes estados como por ejemplo se pueden observar en estado semisólido, sólido, líquido, plástico (Figura 1). Para el caso de las arcillas, si estas se encuentran en estado seco se percibe bastante suelta o comúnmente llamado terrones, si le añadimos el líquido elemental esta obtiene una masa similar a la pasta, en caso de que se le siga aumentando el líquido fundamental obtenemos una masa fluida. (Manual Escuela de Ingenieros de Caminos, Canales y Puertos de Barcelona, 1999).

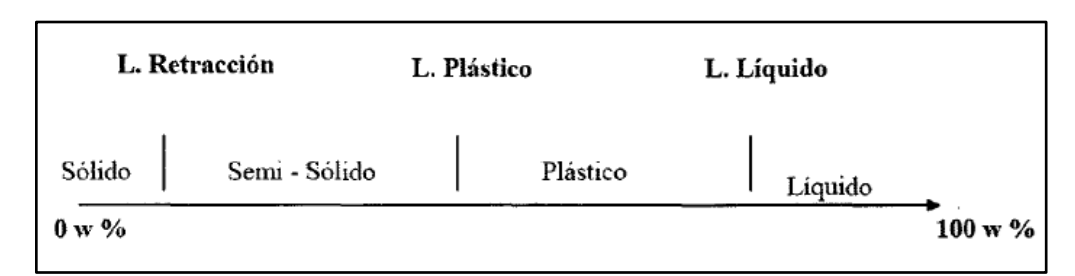


Figura 1: Límites de Atterberg. (Fuente: Manual Escuela de Ingenieros de Caminos, Canales y Puertos de Barcelona, 1999)

La variación del contenido de humedad provoca que el suelo en estudio pueda encontrarse en diversos estados ya mencionados anteriormente, para el estudio respectivo nos importa principalmente determinar el porcentaje de humedad de la muestra.

El procedimiento empleado para calcular el límite de atterberg fue meditado por Albert Atterberg científico del año mil novecientos once de nacionalidad sueca. Mediante el límite de consistencia podemos identificar y clasificar el tipo de suelo que tenemos en estudio mediante las diferentes cantidades de humedad. (Manual Escuela de Ingenieros de Caminos, Canales y Puertos de Barcelona, 1999).

# 1.2.3. Plasticidad y Límites de Consistencia

El científico sueco Atterberg precisó que la plasticidad es la capacidad de la muestra extraída al deformarse y al no poder fisurarse, ni causar un efecto flexible. Del mismo modo se divisó que las muestras de arcillas en situaciones húmedas son flexibles y en condiciones secas se tornan duros, también nos menciona que el limo no del todo tiene un comportamiento plástico y al secarlos toman un comportamiento menos duro, y por último la arena en situación seca y suelta son desmenuzables. Asimismo, observamos que los suelos arcillosos toman comportamientos de baja plasticidad y altamente plástico.

Para obtener los diferentes estados de consistencia respecto a los límites establecidos por Atterberg se recolecta la fracción de la muestra pasada por un tamiz de número cuarenta, eliminando la muestra retenida durante el proceso.

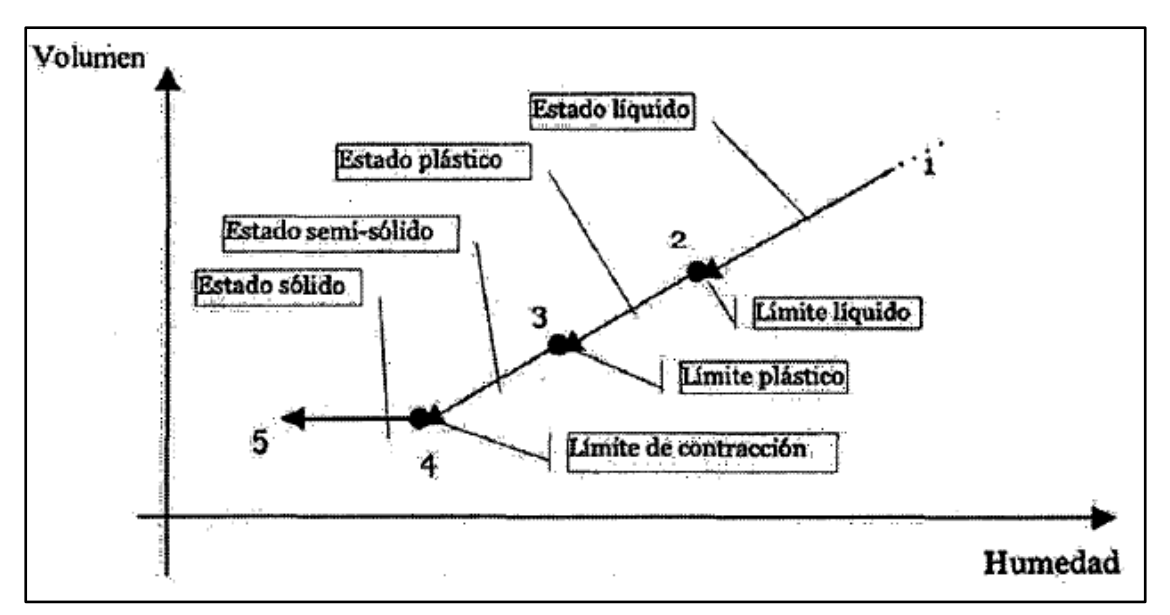


Figura 2: Trayectoria humedad - volumen de la muestra amasada. (Fuente: Manual Escuela de Ingenieros de Caminos, Canales y Puertos de Barcelona, 1999)

Se le llama límites de retracción a la frontera existente entre la etapa sólida y semisólida, se detalla como la humedad que se presenta la muestra seca al haber agregado una cantidad determinada de agua con la finalidad de poder llenar los poros existentes en dicha muestra. El límite que existe entre el estado plástico y semisólido se

denomina límite plástico (LP), podemos calcular el L.P. de una muestra cuando esta empieza a fisurarse (se puede divisar pequeñas grietas) en los cilindros de 3 mm de diámetro que se hace durante el ensayo de laboratorio que se está realizando.

Se le llama límite líquido (LL) a la etapa existente entre los límites líquidos y plásticos según se muestra en la Figura 2 (Trayectoria humedad-volumen de la muestra amasada), se calcula midiendo el contenido de humedad que puede contener la muestra cuando esta llegue a los veinticinco golpes llegando a cerrar la ranura de trece milímetros de distancia hecho por el equipo denominado Copa de Casa Grande (equipo de laboratorio bajo la norma vigente, sugerido por Terzaghi). El científico sueco Atterberg menciona que la resta entre el L.P. y L.L., se le denomina I.P. y simboliza una mesura de la plasticidad existente de las muestras extraídas. Propuso que los límites de consistencia tanto el L.P. y L.P. se emplearan como asiento en la categorización de las muestras plásticas. Depende de la cuantía existente en el índice plástico, diferenció las muestras en los siguientes tipos de suelos según su consistencia:

- Suelo desmenuzable (I.P.<1)
- Suelo ligeramente plástico (1 <I.P.<7)
- Suelo medianamente plástico (7<I.P.<15)
- Suelo altamente plástico (I.P.>15)

Los resultados de cualquier limite ya sea plástico y/o liquido incluso el índice plástico se muestra en porcentaje y hace referencia a la cantidad de agua que contiene un determinado tipo de suelo. (Manual Escuela de Ingenieros de Caminos, Canales y Puertos de Barcelona, 1999)

#### 1.2.4 Utilización de los Límites de Atterberg

Actualmente, el método para calcular cualquier plasticidad de cualquier muestra se determina mediante el límite de consistencia, es usual emplear este método en el laboratorio de Mecánica del Suelos. Esto se debe en gran parte a la experiencia acopiada de los cientos de miles de ensayos realizados, por ello basta con conocer los valores de los límites de Atterberg para tener noción serena sobre la clasificación plástica de la muestra y de las características que esta presenta. El proceso a emplearse es de cálculos simples y fáciles, que consienten en identificar el tipo de suelo al que

6

pertenece mediante una elección conveniente de estas muestras para luego realizar el

ensayo correspondiente.

El límite establecido por Atterberg, en conjunto al estudio granulométrico, pertenecen

al ensayo que permite la identificar el suelo que se tiene como muestra. El estudio de la

granulometría consiste saber la extensión cuantitativa de la porción fina, del límite

establecido por Atterberg nos muestran la eficacia de la muestra que se tiene.

Usualmente los Límites de Atterberg se utilizan en los detalles para poder intervenir en

el suelo que se llegue a emplear en el terraplén. (Shuan, 2004)

El I.P., nos enseña la extensión del intervalo de humedades que una muestra puede

poseer respecto a la estabilidad plástica.

Índice plástico se establece mediante la siguiente formula:

I.P.=W.L.-W.P.

Donde:

W.L. = Límite líquido

W.P. =Límite plástico

Se debe tener en consideración que el límite e índice, se calculan mediante muestras

que son batidas para luego constituir una mixtura lo más semejante posible entre el agua

y la muestra pasada por el tamiz número cuarenta. El proceso del amasado conlleva a

ablandar a la muestra ya mezclada y que traer como resultado la desintegración

sistemática de las moléculas del agua, para luego ser reorientado. Al finalizar el proceso

del amasado suceden dos cosas la primera es que la lámina de arcilla vuelve a su estado

original es decir a orientarse y lo segundo es que la molécula de agua adquiere ligazón,

sin embargo, la estructura de la muestra siempre será diferente. (Shuan, 2004).

1.2.6 Límite Líquido

Es la cantidad de agua contenida en una muestra en estudio la cual tiene un

comportamiento plástico. El suelo está a casi nada de cambiar su conducta de un suelo

seco a un suelo fluido o quizás un suelo viscoso, Cuando se calcula el límite líquido, se

recomienda trabajar un valor aproximado al centésimo, la muestra tomada para este

ensayo debe pasar el tamiz de 0.425 mm (N° 40). Como ya sabemos este límite fue

determinado por Atterberg y estuvo sujeto a diversas variaciones para calcular su valor

estuvo sometido a diferentes variaciones hasta llegar a lo que actualmente el equipo que se emplea. Entonces en el año 1927 el ingeniero Terzaghi, sugirió la Casa grande, que planteara un dispositivo mecánico el cual pudiera en lo posible que el error de quien realice el ensayo no afecte el cálculo de mismo.

Para realizar el ensayo respectivo del límite líquido, se establece como la humedad contenida en la muestra ya saturada y batida, posteriormente colocada en la espátula y se esparce en la copa y con la ayuda de un acanalador se realiza un surco que segmenta la muestra en mitades iguales, se realiza los golpes correspondientes a razón de 2 golpes por segundo hasta que la ranura se cierre, posterior a ello se anotan los datos obtenidos para luego ser procesado, todos los materiales mencionados están normalizados. Los factores que influyen en el resultado pueden ser, el desgate de los materiales a usar, la altura de caída, dimensiones de la ranura, etc.

Para poder entender el ensayo para determinar los límites de consistencia debemos considerar que este fue desarrollado por Casagrande, podemos afirmar que estos golpes hacen que la resistencia al corte dinámico en estos taludes generados por la división ya antes mencionada hace que provoque un desplazamiento de la muestra tal y como se puede apreciar en la Figura 3. Por ende, se puede considerar que la resistencia a la deformación puede ser considerada como la firmeza a la cisura de la muestra en estudio. La resistencia en todo tipo "k" de muestras extraídas suele ser constante teniendo un valor de 2,2 kilos pascales aproximadamente. (Shuan, 2004).

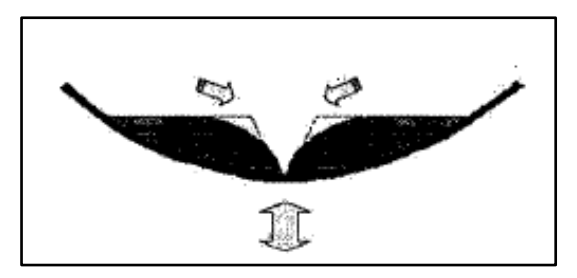


Figura 3: Deslizamiento de un suelo en el límite líquido. (Shuan, 2004)

#### 1.2.7 La Curva de Flujo

Casagrande pudo observar que la cantidad de impacto necesario para poder unir la hendidura en dicho ensayo el cual se usa este dispositivo mecánico está relacionada con la cantidad de agua contenida en la muestra de estudio, los resultados representados de manera gráfica en el cual el eje del contenido de humedad es aritmético y el eje que

señala la cantidad de impactos es logarítmica, forman una línea continua que fue llamada curva de flujo. (Norman, 1958)

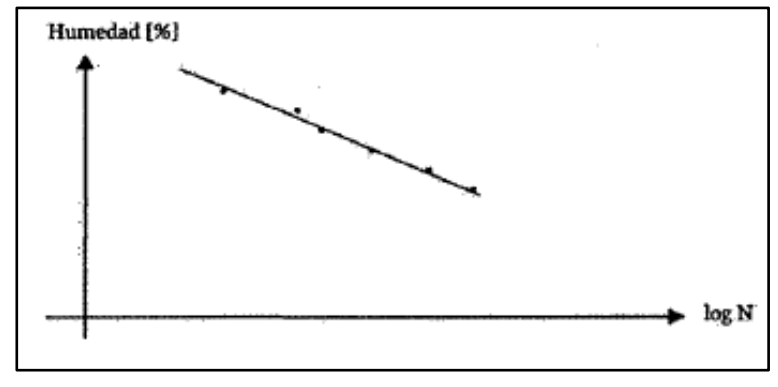


Figura 4: Curva de flujo del límite líquido. (Norman, 1958)

El graficar los resultados trae como ventajas los siguientes hechos: la curva se traza con escasos datos, se consigue revelar fallas en la recta línea graficada en una escala semilogarítmica, entonces el índice de flujo se define por la gradiente trazada en la gráfica ya antes mencionada (Figura 4). (Norman, 1958).

Esta curva se representar según lo siguiente:

$$w = -F \cdot log N + C$$

Donde:

C: valor numérico.

w: contenido de humedad

N: cantidad de impacto.

F: denominado "índice de flujo".

La cantidad de impactos (N) se considera como la representación de la fuerza aplicada en el golpe que se genera al ejecutar el ensayo respectivo. De esto deducimos que la resistencia de la muestra en estudio es proporcionalmente al impacto que se requiere para causar el deslizamiento de la muestra colocada en la copa de Casagrande.

Por lo tanto, la cantidad de impactos (N) en la ecuación ya antes mencionada, es proporcionalmente a S mediante la siguiente ecuación:

$$w = -F \cdot \log S + C1$$

Dónde: C1 es diferente a C, por el motivo que esta variable contiene unidades físicas.

Se tiene la necesidad de realizar numerosas pruebas de laboratorios para calcular los límites de consistencia por ende conllevó a realizar un procedimiento para el cálculo que estuviese conectado a la gráfica de flujo, se concluye que, si uno tiene muestras similares de suelos, al ejecutarse el ensayo respectivo el resultado en el grafico del flujo deben presentar pendientes constantes. J. Eden planteó multiplicarse la cantidad de agua (W) obtenida para cierta cantidad de impactos (N) por el componente de corrección denominado "Cn" tal y como se divisa en la Figura 5, conjeturando que la gradiente del grafico de flujo sea continuo en todas las muestras exclusive en muestras con una cantidad elevada de elemento orgánico o cuando se demande la precisión específica en el cálculo. (Eden, 1959)

N	Cn	N	Cn
15	0.950	26	1.004
16	0.955	27	1.008
17	0.962	28	1.012
18	0.968	29	1.015
19	0.973	30	1.019
20	0.977	31	1.022
21	0.983	32	1.025
22	0.987	33	1.028
23	0.992	34	1.031
24	0.996	35	1.034

Figura 5: Factor de corrección del Límite Líquido (Eden, 1959, p. 170)

En conclusión, Eden obtuvo una recta con pendiente de 0,117, como resultado de numerosos ensayos, de los que se concluyó que, para una misma muestra, los puntos de cada ensayo son los resultados representativos de diferentes muestras que contienen cantidades diferentes de agua estas forman una recta en una escala logarítmica.

Ya determinado la gradiente más posible de las diferentes cantidades de humedad de la misma muestra, independiente del origen geológico, el cálculo de los límites de consistencia se facilitó a mucho en el desarrollo de este ensayo.

Cuando queramos poder determinar los límites de consistencia de una muestra inicialmente se deberá expresar una escala logarítmica doble dichos resultados debe plasmarse en las coordenadas respectivas la cantidad de impactos y en la ordenada la cantidad de agua de dicha muestra. Realizado los gráficos correspondientes, será suficiente con sólo realizar un trazo de forma con una gradiente igual a -0,117 que mejor se acomode a los puntos simbolizados en dicho gráfico y la cantidad de agua en

el punto de corte con la coordenada respectiva, es decir a una cantidad de veinticinco impactos sólo entonces podemos saber el límite líquido. Sin embargo, con el propósito de alcanzar equilibrio en la parte económica, será suficiente con alcanzar un valor entre veinticinco impactos y quince impactos; el otro entre treinta y cinco impactos y veinticinco impactos. La línea recta que trazaremos y de gradiente toma el valor de -0,117 y se realizará de la manera que más se acomode a las intercepciones previamente establecidos.

No es el único proceso existente, por el momento hay otro procedimiento que arroja resultados aproximados y estable en emplear una sola intercepción entre la cantidad de agua en una muestra y la cantidad de impactos que esta puede generar hasta cerrar la hendidura realizada, por ende, requerimos solo un procedimiento. Entonces por la intercepción ya mencionada se debe grafiar una recta paralela a la gradiente con un valor de -0,117 hasta poder interceptar a la ordenada que corresponde a la cantidad de veinticinco impactos. Este procedimiento de una sola intercepción se logró demostrar a lo largo de la elaboración de cualquier tesis que implique este tema, se concluyó que este método es incluso más preciso con respecto al procedimiento tradicional que es usado comúnmente. Se llegó a explicar como el método de las tres intercepciones esta desarrollada por mediante la estadística, por ende, tiene márgenes de errores, mientras que el otro método de una sola intercepción es más preciso. (Eden, 1959).

Por lo tanto, lo más adecuado para este caso sería realizar el trazo de una recta "//" debido a que esto se adapta de la mejor manera a la gran cantidad de impactos, sin embargo, debemos alcanzar una relación confortable con los recursos ofertados en los proyectos, por este motivo se utilizará 2 intersecciones. No obstante, se concluyó que este método es incluso más preciso con respecto al procedimiento tradicional que es usado comúnmente descritos con anterioridad, sin embargo, hay una excepción siendo esta el tipo de suelo que tengan el límite líquido mayor a ciento veinte por ciento. (Norman, 1958)

#### **1.2.8 Secado**

Es un factor influyente para determinar los cálculos de las pruebas correspondientes al límite de consistencia es el secado de la muestra es sometida, para ello se debe realizar con antelación el machaqueo para luego ser tamizado, el material de muestra

representativa a ensayarse se debe ser una muestra inalterada tanto en la extracción como en el transporte para no afectar al resultado del ensayo que desee realizarse. Se pudo observar, en base a las diversas pruebas realizadas, el proceso de secado realizada en un brasero causa una reducción considerable del límite líquido tanto para las muestras inorgánicas como para suelos orgánicos, por ende, no debe ser usado este proceso para el tipo de muestras orgánicas e inorgánicas con una alta cantidad de arcilla o limo. Inclusive el proceso de secado de manera natural causa una posible variación del límite líquido para estos ejemplares de muestras. (Eden, 1959)

#### 1.2.9 Acanalador

Se pudo demostrar en diferentes indagaciones que cuando se emplea diversos acanaladores empleados se alcanzan diferentes resultados (Figura 6). El acanalador empleado en la prueba respectiva, debe tener las características normalizadas pues con su ayuda se logra obtener una profundidad uniforme de surco. Tener cuidado al usar cualquier tipo de acanalador según A.S.T.M. ya que se tiene la tendencia de no controlar la elevación del surco realizado.

Se desarrolló un estudio sobre este acanalador el cual se demuestra que su uso da constantemente valores del límite líquido menores al de Casagrande y con una mayor dispersión en los resultados. Es por ello que es preferible al de Casagrande. (Eden, 1959)

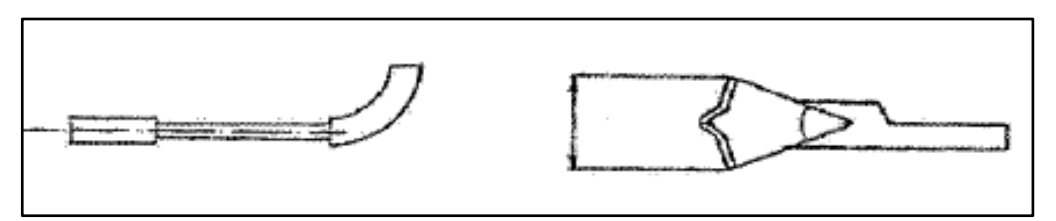


Figura 6: Acanalador de la ASTM (izquierda) y acanalador de Casagrande (derecha). (Eden, 1959)

#### 1.2.10 Límite Plástico

Es el paso de la muestra de un estado semisólido a un estado plástico (viceversa), esta se computa la cantidad de humedad que sujeta la muestra en el instante que pierde su estado de flexibilidad para luego dejar de ser maleable. Se define como la humedad proporcionada en la cual la muestra se cuartea y agrieta al establecer pequeños cilindros. Es posible realizar este ensayo con la fracción de arcilla que es pasado por el tamiz N° 40, con una cantidad de agua superior al límite plástico. Con esta humedad

contenida será viable constituir de manera sencilla generar cilindros de arcilla sin que esta agriete. Tanto como los límites de consistencia son empleados en identificar y clasificar el tipo de suelo que está en estudio (Shuan, 2004).

#### 1.2.11 Análisis Granulométrico

Consiste en determinar que las partículas de la muestra en estudio sean distribuidas acorde a su tamaño, a este proceso normalmente le conocemos como el análisis granulométrico esta consiste que debemos obtener los resultados en % ya sea de grava, piedra, arcilla, arena y limo. El ensayo se realiza mediante el tamizado (ensayo de laboratorio que se efectúa con diversos tamices de diferentes tamaños) en las muestras donde las partículas gruesas, y para el caso de las partículas fines se realizará el ensayo mediante la saturación de agua conocido como el análisis de granulometría por vía húmeda. (Polanco, 2004)

La masa de la muestra secada naturalmente y la masa de la muestra seleccionada para este proceso, debe ser lo suficiente ejecutar el ensayo requerido, teniendo en cuenta la cantidad mínima declarada en la norma vigente. (Gutiérrez, 2004)

#### 1.2.12 Clasificación e Identificación de Suelos

La clasificación de suelos puede ser determinado por dos métodos:

a. Sistema A.A.S.H.T.O. (Asociación Americana de funcionarios de Carreteras Estatales y del Transporte).

Al emplear este procedimiento, llegamos a la conclusión que podemos dividir a los suelos en dos grupos: El primero es formado suelos de tipo granular y el segundo es de fina granulometría. De grupos se dividen en subgrupos, empleando la distribución granulométrica, los límites de consistencia y el índice de plasticidad. (Mora, S. 1988).

Clasificación General	Materiales Granulares (35% o menos del total pasa el tamiz N° 200)								les limo-a I total pas		
Clasificación de	A	-1	A-3	A-2				A-4	A-5	A-6	A-7
grupo	A-1-a	A-1-b		A-2-4	A-2-5	A-2-6	A-2-7				A-7-5 A-7-6
Porcentaje de											
material que pasa											
el tamiz											
N° 10	50 máx.										
N° 40	30 máx.	51 máx.	51 mín.								
N° 200	15 máx.	25 máx.	10 máx.	35 máx.	35 máx.	35 máx.	35 máx	36 mín.	35 mín.	36 mín.	36 mín
Características de											
la fracción que pasa el tamiz N°											
40				40 máx.	41 mín.	40 máx.	41 mín	40 máx.	41 mín.	40 máx.	41 mín
imite Líquido, WL Índice Plástico, IP	6 n	náx.	NP	10 máx.	10 máx.	11 mín.	11 mín.	10 máx.	10 máx.	11 mín.	11 mín
Índice de Grupo		0	0	(	)	4 m	áx.	8 màx.	12 máx.	16 màx.	20 màx

Figura 7: Clasificación de Suelos Según Sistema AASHTO (Mora, 1958)

# b. Sistema S.U.C.S. (Clasificación Unificada de Suelos).

Al emplear este procedimiento, llegamos a la conclusión que podemos dividir a los suelos en dos grupos: suelos finos y suelos granulares. Este método nos dice que una muestra se considerará de granulometría grueso si el porcentaje es mayor al 50% de las partículas de la muestra en estudio son retenidas en el tamiz número doscientos, y para suelos de granulometría fina serán aquellos que más de la mitad de la distribución pase por el tamiz N° 200.

	CLASIFIC	ACIÓN EN LA	BORATORIO	CLASIFICACIÓN EN LABORATORIO							
FIN	1OS ≥ 50 %	pasa Malla #	pasa Malla # 200 (0.08 mm.) GRUESOS < 50 % pasa Malla # 200 (0.08				GRUESOS < 50 % pasa Malla # 200 (0.08 mm.				
Tipo de Suelo	Símbolo	Lim. Liq.	Índice de Plasticidad	Tipo de Suelo	Símbolo	% RET Malla N° 4	% Pasa Malla N°	CU	СС	** IP	
Limos Inorgánicos	ML	< 50	< 0.73 (wl – 20) n < 4		GW	0.08mm	< 5	> 4	1 a 3		
<u>-5 ja</u>	MH	> 50	< 0.73 (wl – 20)	GP GM	50% d		≤6	<1ó>3			
		- 55	> 0.73 (wl - 20)	5	⊕ GM					< 0.73 (wl-20 ó<4	
llas mica	CL	< 50	v > 7		GC	Net √	> 12			>0.73 (wl-20) 6>7	
Arcillas Inorgánicas	СН	> 50	> 0.73 (wl – 20)	Arenas	sw	o E		> 6	1 a 3		
	01	- 50	Mudson of home		SP	50% de l	< 5	≤ 6	<16>3		
os o	OL	< 50	** wl seco al hama ≤ 75 % del wl		Ag.	Ş I	SM	8 5			
Limos o Arcillas Orgánicos	ОН	> 50	seco al aire		SC V	Ref.	> 12			> 0.73 (wl-20) y>7	
Altamente Orgánicos	Р,		ca fibrosa se carboniza, se pone incandescente.		GP-GM,S	y 12% usar SW-SM, SP-S 0.73 (WI-20)	SC.			GW-GC,	
ই ত		IP>0.73 (wl-20), usar sím								SC, SM-SC.	
		(wl – 20) ó si IP wl – 20), usar s	entre 4 y 7 ímbolo doble:	En casos dudosos favorecer clasificación menos plástica							
CL-ML, CH-OH					Ej; GW-GM en vez de GW-GC.						
** Si tiene olor orgánico debe determinarse adicionalmente wl seco al horno					CU = <u>D60</u> CC = <u>D30 <sup>2</sup></u>					D30 <sup>2</sup>	
En casos vez de C		ecer clasificación	más plástica Ej: CH-MH en			D10				060 * D10	
	Si wl =	50; CL-CH ó	ML-MH	1							

Figura 8: Sistema Unificado de Clasificación de Suelos (SUCS) (Mora, 1958)

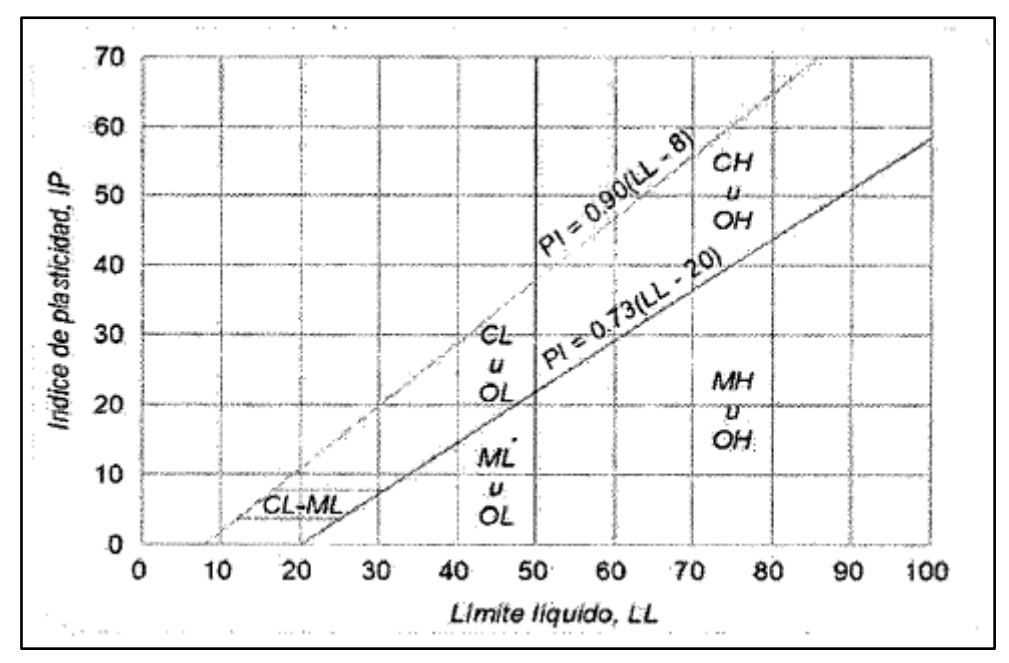


Figura 9: Carta de plasticidad para clasificación de suelos de partículas finas. (Mora, S. 1988)

# 1.2.13 Compactación

Es un proceso que trata de buscar la mejora en características mecánicas de las muestras extraídas induciendo a una disminución en la capacidad de deformación y a un aumento de su resistencia. Adicionalmente encontramos la densificación del suelo a compactar haciendo que disminuya la filtración y el desgaste, brindando una mayor duración. (Juárez y Rico, 1975)

En la mayoría de obras civiles la compactación es muy importante pues gracias a ello mejoramos enormemente el material natural sin necesidad de sustituirlo. Por ejemplo, los terraplenes donde se usa material de relleno, cimentaciones, pavimentos, saneamiento, entre otros. Para los terrenos que contiene material fino es mejor emplear el procedimiento de vibrar el material ya que permite mejorar el terreno, como lo sugiere la normativa vigente. (Braja, 2001)

Los factores de compactación dependen de lo siguiente:

- Forma de partículas
- Distribución de partículas
- Contenido de humedad.
- Tipo de suelo
- Energía de generada al compactar el material suelto (Shuan, 2004).

El próctor estándar fue el primer método de compactación con equipos usados en aquellos tiempos sin embargo con el avance de la tecnología se logró desarrollar mejores equipos de compactación, entonces se pudo desarrollar el ensayo denominado "próctor modificado" y consiste en aplica energía al material en estudio. Se presentó la ecuación correspondiente el cual nos ayuda a calcular la energía que emplearemos en el ensayo. (Juárez y Rico, 1975)

La energía de compactación se define como:

$$Ee = \frac{N * w * n * h}{V}$$

Dónde:

Ee = Energía de compactación

N = Número de impactos por capa

W = Peso del pisón

n = No de capas

h = Altura que deberá caer el pisón

V = Volumen del material que se compacto

ASTM D 1557 Próctor Modificado							
Ec = Energía de Compactación	= 56,250 Lb.ft/ft3						
W = Peso del martillo	= 10 1b						
h = Altura de caída del martillo	= 18 pulgadas						
N = Número de golpes por capas	= depende del molde						
n = Número de Capas	= 5						
V = Volumen de molde cm3	= depende del método de prueba						

Figura 10: Parámetros para el Próctor Modificado. (Shuan, 2004)

Determinación del Método ASTM D 1557 Próctor Modificado								
	% Acum.	% Acum.	% Acum.	Material	Vol.			
Método	Retenido Nº 4	Retenido 3/8"	Retenido 3/4	a usar	Molde (pie3)	Golpes/capa		
A	≤ 25%	-	-	Pasa N° 4	1/30	25		
В	> 20%	≤ 20%	-	Pasa 3/8"	1/30	56		
С	-	> 20%	≤30%	Pasa 3/4"	1/13.3	56		

Figura 11: Determinación del Método a Utilizar Próctor Modificado (Shuan, 2004)

- Método C sólo es ajustable a materiales con un treinta por ciento retenido en el tamiz de tres cuartos de pulgada como máximo, en caso de que el material tenga más del

17

cinco por ciento del peso de mayor tamaño al emplearse en el ensayo, se tendrá que

corregir el resultado. (Shuan, 2004)

1.2.14 Contenido de Humedad Óptima

Se llama contenido óptimo de humedad a la cantidad de agua que permite alcanzar la

máxima densidad seca de una muestra.

El ensayo del laboratorio a emplear usualmente para poder calcular la máxima masa

específica seca (densidad seca máxima) debido a la compactación y la humedad óptimo

viene a ser el ensayo de Próctor ya sea modificado o estándar. (Braja, 1985).

**1.2.15 Densidad** 

La Densidad Húmeda (D.h.) es calculada en función al peso húmedo y el volumen de la

muestra humedad, esta D.h. es expresada en gramos por centímetros cúbicos dicho de

otro modo es la masa del suelo que es contenida en su volumen. (Llique, 2003).

$$Dh = \frac{Wm}{Vm}$$

Contenido de Humedad (W%). Se relaciona directamente con la cantidad de agua que

existe en la muestra en estudio, se calcula mediante la analogía existente entre la masa

del suelo húmedo y la masa de la muestra en estado sólido (Ws), usualmente se enuncia

en porcentaje. (Llique, 2003)

$$W(\%) = \frac{Ww*100}{Ws}$$

Densidad Seca (Ds). Se relaciona directamente con el contenido de humedad y la

densidad mediante una fórmula. (Llique, 2003).

Ds= 
$$\frac{\text{Dh*}100}{(100+\text{W%})}$$

Dónde:

Dh: Densidad húmeda.

Wo/o: Contenido de humedad.

**1.2.16** Afirmado

El Afirmado radica en la colocación de un manto compactado los materiales a

emplearse deben ser granulares o debe ser procesadas, con ciertas especificaciones con

la finalidad de que soporten los esfuerzos y cargas del tránsito, de manera directa. Para que la mezcla del material pueda funcionar como una superficie de rodadura en cualquier carretera que aún no es pavimentada o para algún camino, el material granular debe ser mezclado con material fino para una correcta adherencia. (Manual de Carreteras: Suelos Geología, Geotecnia y Pavimentos Sección: Suelos y Pavimentos, 2014).

Las vías con un tipo de superficie rodadura que no estén pavimentadas serán identificadas de la siguiente manera:

- a) Vías de tierra, están compuestas por el terreno natural siendo este mejorado con grava zarandeada.
- b) Vías de gravas, están compuestas por una capa de recubrimiento empleando material natural y adicionalmente material zarandeado cuyo tamaño no exceda los setenta y cinco milímetros.
- c) Vías afirmadas, están compuestas por una capa de recubrimiento empleando material de las canteras, dosificando de manera naturalmente y/o empleando algún medio mecánico, la dosificación para usar debe ser especifica usando la arena, piedra y finos, cuyo tamaño no exceda los setenta y cinco milímetros.
- d) Vías afirmadas con recubrimiento de rodadura empleando insumos industriales:
  - d.1) Vías con material granular tratada con insumos tales como: cemento, asfalto, aditivos químicos, cal y entre otros.
  - d.2) Vías naturales se estabilizarán empleando materiales granulares y material fino o ligante., cemento, asfalto, aditivos químicos, cal, entre otros. (Manual de Carreteras: Suelos Geología, Geotecnia y Pavimentos Sección: Suelos y Pavimentos, 2014).

#### 1.2.17 Materiales

Para el afirmado, sin o con algún estabilizar, se empleará insumo granular natural proveniente de los excesos de la excavación, canteras, entre otros, registrados en los expedientes técnicos y deben ser aprobados por el inspector.

Las gravas de deben ser duras y/o resistentes, estas no deben ser angulares para que haya una mejor adherencia entre la graba y el material ligante sin abundancia, deben tener en cuenta que todo material empleado debe estar libre de algún tipo de impureza.

Para poder trasladar cualquier tipo de material que será empleado en el afirmado deberá ser humedecida y de ser posible el material trasladado deberá cubrirse con lona con la finalidad de impedir polvo y afectar a cualquier trabajador o poblador aledaño.

Los parámetros para el control de calidad que cualquier insumo o material debe cumplir tienen que ajustarse a las normativas vigentes, según lo indicado en la figura 12.

Tamiz	Porcentaje que pasa					
	A-1	A-2	С	D	Е	F
50 mm (2")	100	_				
37,5 mm (1½")	100	-				
25 mm (1")	90-100	100	100	100	100	100
19 mm (¾")	65-100	80-100				
9,5 mm ( 3/ <sub>8</sub> ")	45-80	65-100	50-85	60-100		
4,75 mm (N.º 4)	30-65	50-85	35-65	50-85	55-100	70-100
2,0 mm (N.º 10)	22-52	33-67	25-50	40-70	40-100	55-100
425 μm (N.º 40)	15-35	20-45	15-30	25.45	20-50	30-70
75 µm (N.º 200)	5-20	5-20	5-15	5-20	6-20	8-25

Figura 12: Los requisitos de calidad que deben cumplir los materiales. (Fuente: Manual de Carreteras: Especificaciones Técnicas Generales para Construcción, 2013)

Adicionalmente a ello se debe satisfacer los requisitos de calidad sean los siguientes:

Desgaste Los Ángeles:	cincuenta por ciento máximo	(M.T.C. E. 207)
Límite Líquido:	treinta y cinco por ciento máximo	(M.T.C. E. 110)
Índice de Plasticidad:	entre el cuatro y nueve por ciento	(M.T.C. E. 111)
C.B.R.:	cuarenta por ciento mínimo	(M.T.C. E. 132)

#### 1.3 Definición de términos básicos

**Arcilla:** suelo constituido silicatos de tono blanquecino cuando es puro, al mezclarla con agua esta forma una masa plástica que logra endurecerse si se lleva a un horno.

**Limo:** Es formada por sedimentos cuando la corriente de alguna fuente de agua transporta en estado suspensión estos elementos.

**Terraplén:** se denomina terraplén al relleno de una zona hasta alcanzar cierto nivel requerido, usualmente empleado en carreteras.

**Sedimentación:** Es un proceso que se genera cuando el material es depositado en un lugar determinado mediante diferentes agentes (agua, viento, gravedad, etc.).

**Consolidación de un suelo:** Es un proceso que permite reducir el volumen del suelo tipo cohesivo (suelos finos).

**Tamizado:** Es el proceso que se realiza para lograr que todas las partículas de una muestra en estudio sean separadas bajo el diámetro de estas partículas para logra determinar la clasificación que esta muestra pueda tener.

**Compactación:** Es un método que aplica fuerza a un suelo comúnmente suelto hasta llegar un porcentaje adecuado de compactación definido en la norma vigente, para llegar a un buen compactado se necesita agua ya que este elemento es de vital importancia para ligar el material fino con el granular.

**Afirmado:** Consiste que el revestimiento de una vía sea compactada empleando materiales previstos en la normativa vigente, la altura dependerá básicamente a las características de la zona beneficiaria.

## **CAPITULO II**

# **MATERIAL Y METODOS**

#### 2.1 Planteamiento de Problema

Para realizar la compactación de la sub-rasante es fundamental estar al tanto del óptimo contenido de humedad y para obtener este resultado es necesario abundante material de estudio (especímenes de suelos) y ser llevadas al laboratorio correspondiente, el transporte de dicho material muchas de las veces suele ser difícil, inaccesibles y costoso, debemos tener en cuenta que la muestra extraída deber ser inalterada, al recorrer el distrito de Lamas nos percatamos que la mayoría de estos tramos están en mal estado ante esta necesidad planteamos un dispositivo rápido, sencillo y practico para determinar el óptimo contenido de humedad que será aplicado en afirmados de carreteras del distrito en mención, se está realizado el actual proyecto de indagación con el propósito de poner a disposición los resultados para todo aquel que le sea de utilidad y de especial ayuda a la población del distrito de Lamas, este estudio permitirá evaluar distintas muestras de suelos arcillosos que se extraerán de los bancos de arcilla comúnmente denominadas canteras, las cuales son dos; la primera está ubicada a la entrada de la ciudad de Lamas y la segunda está ubicada en el fundo San Fernando a 5km de la ciudad de Lamas; ambas de propiedad privada, para de este modo calcular la influencia del índice plástico en el óptimo contenido de humedad mediante una gráfica aplicativa y calcular la analogía existente entre ambos parámetros, resultados que se utilizarán como guía para facilitar futuras labores en trabajos de poca envergadura y estudios preliminares para afirmados.

# 2.2 Formulación del problema

¿Cuál será influencia del índice plástico en el contenido óptimo de humedad en suelos arcillosos aplicado en afirmado de carreteras del distrito de Lamas, provincia de Lamas, departamento de san Martin?

# 2.3 Objetivos

# 2.3.1 Objetivo General

calcular la influencia que tiene el índice plástico en el óptimo contenido de humedad de las muestras arcillosas que existen en las canteras del distrito de Lamas, los resultados logrados de dichos estudios de laboratorio de las muestran permitirán elaborar una gráfica aplicativa entre el índice plástico y el óptimo contenido de humedad de las muestras de arcillas que están presentes en las canteras de Lamas, dicha curva aplicativa permitirá aplicarse en los afirmados de carreteras del distrito en mención cuando así se

requiera y estará a disposición de todo aquel que le sea de utilidad ya sea para la inversión pública o privada.

#### 2.3.2 Objetivos Específicos

Determinar mediante estudios de laboratorio de suelos el índice plástico de los suelos arcillosos que existen en las canteras (las cuales son dos; la primera está ubicada a la entrada de la ciudad de Lamas y la segunda está ubicada en el fundo San Fernando a 5km de la ciudad de Lamas) del distrito de Lamas.

Determinar mediante estudios de laboratorio de suelos el contenido óptimo de humedad de los suelos arcillosos que existen en las canteras (las cuales son dos; la primera está ubicada a la entrada de la ciudad de Lamas y la segunda está ubicada en el fundo San Fernando a 5km de la ciudad de Lamas) del distrito de Lamas.

Elaborar la curva aplicativa del índice plástico vs el contenido óptimo de humedad, con los datos obtenidos mediante estudios de laboratorio de suelos la cual permitirá aplicarse en los afirmados de carreteras del distrito en mención cuando así se requiera y estará a disposición de todo aquel que le sea de utilidad ya sea para la inversión pública o privada.

# 2.4 Justificación De La Investigación

El transporte del abundante material de estudio (muestras de suelo) en algunos casos suele ser difícil, inaccesibles y costoso, esto se debe que para analizar las muestras se necesita como mínimo 30 Kg y como máximo 50Kg por calicata que se analizará en el laboratorio de mecánica de suelos.

Este proyecto ha de contribuir para obtener el óptimo contenido de humedad en suelos arcillosos para estudios preliminares y obras de poca envergadura de este modo permitirá tomar decisiones en campo al momento de ejecutar la compactación de subrasante, del mismo modo se podrá efectuar la evaluación del análisis granulométrico y límites de consistencia.

#### 2.5 Limitaciones

El estudio y la elaboración de la gráfica aplicativa se realizará con la estimación de las muestras de arcillas de baja y alta plasticidad del distrito de Lamas, debido a que la investigación se efectuará solo con este tipo de suelos.

# 2.6 Hipótesis

Es posible que, si al obtener el índice plástico podamos determinar su óptimo contenido de humedad mediante una curva aplicativa el cual permitirá ser aplicado en los afirmados de carreteras en el distrito de Lamas, cuando así se requiera.

#### 2.7 Sistema de variables

# 2.7.1 Variable Independientes:

- Influencia del índice plástico.

# 2.7.2 Variable Dependiente:

- Contenido óptimo de humedad en suelos arcillosos.

# 2.8 Operacionalización de variables

**Tabla 1** *Operacionalización de variables* 

VARIABLE	DIMENSIONES	INDICADORES	INSTRUMENTOS	ESCALA	CATEGORIAS
INFLUENCIA DEL ÍNDICE PLÁSTICO	Limite Líquido Limite Plástico	Determinación de la influencia del Índice Plástico	Análisis, observación y anotación	ORDINAL	ALTO
CONTENIDO ÓPTIMO DE HUMEDAD EN SUELOS ARCILLOSOS	Contenido de Humedad	Determinación del contenido óptimo de humedad en suelos arcillosos	Análisis, observación y anotación	ORDINAL	ALTO

Fuente: Elaboración propia

# 2.9 Tipo y nivel de investigación

# 2.9.1. Tipo de Investigación

La actual investigación afirmamos que es de tipo aplicativo pues la principal finalidad fue investigar la influencia del Índice plástico y el óptimo Contenido de humedad, por

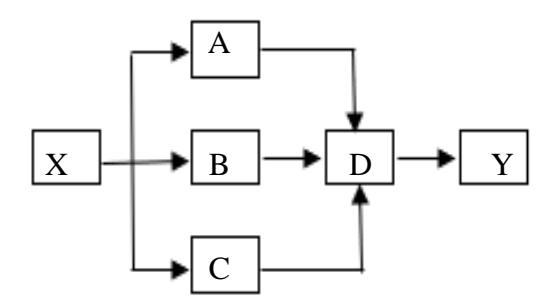
lo que se está planeando un análisis mediante estudios de suelos de la cantera existente, ante la falta de contar con un dispositivo más sencilla para calcular el óptimo Contenido de humedad; por ello que en el presente trabajo se busca relacionar con al índice plástico mediante una curva aplicativa, con lo cual ya se estaría cumpliendo con el objetivo de la presente Tesis.

# 2.9.2. Nivel de Investigación

Este proyecto de investigación es tipo documental, descriptiva y explicativa, pues se realizará la recopilación de datos e información mediante estudios de laboratorio de suelos en materia de estudio, descriptiva puesto a que se evaluará sus características generales, para lo cual se interpretará y explicará la influencia del índice plástico en el óptimo contenido de humedad en las muestras de arcillas del distrito de Lamas.

# 2.10 Diseño de investigación

Este proyecto de indagación es no experimental - Transversal.



#### Donde:

X: Situación problematizada que demanda la intervención del estudio.

A: Exploraciones en campo.

B: Ensayos de laboratorio.

C: Cálculo del Índice plástico y Óptimo contenido de humedad.

Y: Curva aplicativa del índice plástico vs el Óptimo contenido de humedad.

# 2.11 Población y muestra

#### 2.11.1 Población

La metrópoli de estudio estará conformada por las dos canteras existente en el distrito de Lamas, ambas de propiedad particular y una de ellas está ubicada a la entrada del distrito de Lamas, la segunda está ubicada en el fundo San Fernando a 5km de la ciudad de Lamas.

#### **2.11.2 Muestra**

Se realizará la valoración de 11 muestras diferentes de muestras de contenido arcilloso de Lamas (de las canteras ya antes mencionadas).

Dimensión de la muestra:

$$n = \frac{Z^2 S^2}{E^2}$$

Confianza 95% : Z= 1.96

Desviación estándar : S=5

Error de muestreo : E=3

Por ende, n= once especímenes

#### 2.12 Técnicas e instrumentos de recolección de datos

# 2.12.1 Instrumentos Bibliográficos

- Se utilizaron revistas y libros correspondiente a la trama tratada de manera ordinario y puntual.
- Laboratorio de Mecánica de Suelos de la F.I.C.A. de la U.N.S.M. sede Tarapoto.
- Municipalidad Provincial de Lamas.

## 2.12.2 Instrumentos de laboratorio

Para la recolección de datos de E.M.S. se contó con el laboratorio implementado que tiene la escuela académica profesional de Ingeniería Civil y Arquitectura de este modo podemos realizar los varios ensayos tales como: Ensayo de Análisis Granulométrico, Ensayo de límite líquido, Ensayo de límite plástico y Ensayo de Compactación Próctor Modificado, para las Muestras extraídas de las diferentes calicatas.

#### 2.12.3 Metodologías

- Exploración de suelos (Excavación de calicatas)
- Pruebas de laboratorio.
- Análisis de resultados mediante la curva aplicativa ÍNDICE PLÁSTICO VS ÓPTIMO CONTENIDO DE HUMEDAD EN SUELOS ARCILLOSOS.

# 2.13 Técnicas de procesamiento y análisis de datos

# 2.13.1 Recopilación de información

En el presente plan fue necesario la recopilación de todos los trabajos anteriores de la zona de estudio tales como obras realizadas, graficas de la ciudad o planos que nos permitan tener una noción del tipo de suelo del área para de ese modo poseer una noción para la realización de este proyecto de tesis en campo, la orientación, organización y planificación.

## 2.13.2 Reconocimiento en campo

Para señalar y verificar los lugares en los que se excavarán, se empleó la inspección del área en el campo y con respecto a la recolección de datos necesarias para el posterior ensayo. El progreso de las labores se desenvolvió por el investigador encargado de este proyecto y la asistencia del técnico de E.M.S de la U.N.S.M., identificar las zonas de exploración para así efectuar la excavación de las calicatas, realizando 15 de ellas comúnmente llamados pozos al aire libre, se distribuyeron en las diferentes áreas del área urbana del distrito de Lamas.

# 2.13.3 Trabajo realizado en campo

La labor de campo que realizó el tesista y la asistencia de la persona que brindo su ayuda al laboratorio de suelos de la U.N.S.M. con sede en Tarapoto.

De manera Inicial se establecieron los lugares que se excavarán las calicatas, luego pasamos a la excavación de éstas para de ese modo alcanzar los especímenes requeridos para ejecutar el ensayo correspondiente al proyecto de Tesis.

# 2.13.3.1 Exploración de Calicatas

La exploración de estas calicatas admite el reconocimiento directo del espécimen que se estudiará y, por ende, es el procedimiento de indagación que fija la información completa y fiable. Hecha la excavación de las calicatas, se establecer la estratigrafía del terreno y las propiedades necesarias del suelo que se usarán para este proyecto.

Se proyectaron 11 calicatas en toda el área perteneciente al distrito de Lamas con las siguientes dimensiones (0.50m x 0.50m x 0.50 m) las cuales se extraerán especímenes de taludes para su estudio posterior en el Laboratorio correspondiente. La ubicación de las calicatas se presentará en un plano UC-01, acorde a la normativa vigente.

Espaciamiento y características de las calicatas:

La mecánica de suelos (E.M.S.), nos permite inspeccionar la muestra en una etapa natural. Las distancias entre los pozos excavados y las particularidades de todos en particular difieren según su topología, tipología y lugar en el cual se va a efectuar los pozos. Las calicatas se realizaron bajo las indicaciones de la Norma Técnica A.S.T.M. D. 420. De las cuales la mayor parte es aplicable al estudio de mecánica de suelos (E.M.S.). La técnica de muestreo se ejecutó bajo las normas del A.S.T.M. D. 420, los especímenes llevados a los laboratorios de Suelos de la F.I.C.A de la U.N.S.M., la muestra extraída es representativa y en grandes cantidades. Para el traslado de los especímenes que se extrajeron y se usaron bolsas y/o cajas hechas de madera según la cantidad requerida, a los cuales, en su posterior reconocimiento, se les colocará detalles con los datos siguientes:

Fecha de excavación, nombre del proyecto, ubicación, descripción de la calicata, tipo de muestra, número de estrato y profundidad de la muestra.

# 2.13.4 Ensayos De Laboratorio

Para los especímenes y/o muestreo extraídas acorde a las calicatas previamente identificadas, se establecieron las propiedades mecánicas y física, por medio de los siguientes ensayos de laboratorio acorde a lo siguiente:

Ensayos Estándar	Norma Usada
Ensayo de Análisis Granulométrico	A.S.T.M. D. 422
Ensayo de Clasificación Unificada de Suelos	A.S.T.M. D. 2487
Ensayo de Contenido de Humead Natural	A.S.T.M. D. 2216
Ensayo de Límite Líquido y Límite plástico	A.S.T.M. D. 4318
Ensayo de Ensayo de Compactación Próctor Modificado	A.S.T.M. D. 1557

# 2.13.4.1 Ensayo de Contenido de Humedad Natural

Materiales a usar:

- Muestra humedad natural.

Equipos a emplear para realizar el ensayo:

- Una balanza, con sensibilidad de 0.1 g para determinar el peso del material.
- Horno, con la capacidad de mantener temperaturas constantes y uniformes hasta de  $110^{\circ}\text{C} \pm 5^{\circ}\text{C}$ .

- Recipientes y tarros de acero secos para ser empleadas durante el ensayo a realizarse (generalmente se emplea en la muestras húmedas y muestras secas).
- Brocha y Cepillo, para dejar limpio todos los tamices empleados después de cada uso.

Forma de realizar el ensayo del natural contenido de humedad:

- Luego de ser extraída la muestra con humedad natural se coloca en una bolsa de color negra con la finalidad de mantenerla inalterada, luego se lleva al laboratorio, posterior a ello se coloca en un tarro de acero y se pesa, después se lleva al horno por un periodo de 24 horas.
- Pasada las 24 horas se saca la muestra y se coloca en un desecador por un lapso de 10 min, después volvemos a examinar y se realiza el cálculo correspondiente.
- Se realiza el ensayo tantas veces como muestras se hayan extraído.

## 2.13.4.2 Ensayo de Análisis Granulométrico

Podemos precisar que los ensayos de granulometría están relacionados directamente con el tamaño de las partículas que conforman las muestras extraídas para este estudio, con el fin de examinar la clasificación de estas, para determinar las propiedades físicasmecánicas.

#### Materiales a usar:

- Espécimen seco de alrededor de mil quinientos gramos.

Dispositivos a emplear para efectuar el ensayo:

- Una báscula, con una precisión de un décimo de gramo para determinar el peso del material.
- Tamices de malla cuadrada con designación ASTM de 3 pulg., 1 1/2pulg., 3/4 pulg., 3/8 pulg., N° 4, N° 8, N° 16, N° 30, N° 50, N° 100 y N° 200.
- Horno, con la capacidad de mantener temperaturas constantes y uniformes hasta de  $110^{\circ}\text{C} \pm 5^{\circ}\text{C}$ .
- Recipientes y tarros de acero secos para el administración y desecación de los especímenes obtenidos.
- Brocha y Cepillo, para dejar limpio todos los tamices empleados después de cada uso.

Forma de realizar el ensayo de análisis granulométrico por tamizado:

- Una vez que el espécimen se ha secado bajo la influencia del sol y separamos quinientos gramos de la muestra con el proceso conocido como cuarteo, para luego colocarlo en un receptáculo, se llenó completamente con agua destilada y dejamos remojarlo por un periodo de veinticuatro horas.
- Posterior a ello se tamiza el espécimen seco por una malla de calibre doscientos con agua potable, lo retenido en la malla N°200 se coloca en un recipiente para luego ser llevada al horno y así la muestra pueda secarse durante 24 horas.
- Se zarandeó el espécimen seco por todos los tamices establecidos en la norma vigente agitándolos de manera manual para luego pesar el suelo retenido en cada tamiz y así calcular los porcentajes retenidos y acumulados en las mayas.
- Finalmente, y con los resultados obtenidos se dibujada la gráfica la curva granulométrica en una escala denominada semilogarítmica, para el eje trazado en las abscisas se consignó el diámetro de los tamices empleados con unidades en milímetros, y en el eje trazado en la ordenada se colocó el porcentaje acumulado que pasan por los tamices utilizadas.
- Se realiza el ensayo tantas veces como muestras se hayan extraído.

# 2.13.4.3 Ensayo de Límite Liquido

Materiales a usar:

- Muestra seca de aproximadamente 1000 gr. que pasó por la malla N° 40.

Equipos a emplear para realizar el ensayo:

- Una balanza, con sensibilidad de 0.1 gramos para determinar el peso las muestras.
- Cápsula de porcelana de 115 milímetros.
- Paleta flexible entre unos setenta y cinco y unos cien milímetros es decir entre tres pulgadas y cuatro pulgadas y finalmente de unos veinte milímetros de ancho aproximadamente.
- Copa de Casagrande.
- Acanalador.
- Horno, con la capacidad de mantener temperaturas constantes y uniformes hasta de  $110^{\circ}\text{C} \pm 5^{\circ}\text{C}$ .
- Recipientes y tarros de acero secos para la administración y desecación de los especímenes obtenidas.

- Brocha, para fregar los recipientes empleados después de cada uso.

Procedimiento para realizar el ensayo.

- Una vez ha secada la muestra bajo el sol y mediante cuarteo separamos 200g de muestra para luego colocarlo en un receptáculo, se cubrió completamente con agua destilada y lo dejamos remojar por un lapso de 24 hrs. luego se separa una porción del espécimen saturado el cual se colocará en una cápsula de porcelana para ser mezclado con agua destilada en caso de ser necesario y mediante una espátula se remueve constantemente hasta obtener una pasta uniforme.
- La pasta obtenida anteriormente se coloca en el equipo de Casagrande y se nivela con una paleta descrito anteriormente hasta conseguir un grosor cerca de 1cm, en el centro de la copa del equipo de Casagrande se realiza un surco con una paleta de tal modo que el espécimen queda fraccionada en 2 porciones iguales, luego elevamos y dejamos que la copa de casa grande caiga empleando una manija con una proporcionalidad de dos desplomes por segundo hasta que ambas porciones de la muestra hagan empalmen en la porción inferior del surco y luego se registra la cantidad de impactos.
- Con la paleta retiramos una pequeña fracción de pasta donde ambas porciones de la muestra hagan empalmen en la porción inferior del surco, para luego colocarse en una capsula y así poder calcular el contenido de humedad, dejándose secar en el horno durante 24 horas, pasado este tiempo se extrae la muestra del horno y se coloca en el desecador por un lapso de 10 min., luego se pesa y se anota para poder determinar los cálculos respectivos.
- El espécimen sobrante de la copa del equipo de Casagrande se colocará en el receptáculo de cerámica y se agrega agua en caso de que la cantidad de impactos de la prueba anterior sea bastante alta, para el caso de perder agua se agrega material con un secado natural, si el número de impactos es bajo (la cantidad de impactos estará percibido entre 10 y 40).
- Después de terminar el ensayo se lava y seca la copa del equipo de Casagrande conjuntamente con la paleta empelada.
- La prueba de laboratorio realizada deberá repetirse con un mínimo 3 períodos repetitivos, luego se dibuja la gráfica de fluidez se realizará de manera recta y en una escala denominada semilogarítmica, donde la coordenada de la abscisa se registra la cantidad de impactos en una escala denominada logarítmica y en la

coordenada de la ordenada el contenido de humedad en una escala natural con ello se determina la ordenada conveniente en los veinticinco golpes en la gráfica de fluidez, este importe estará el límite líquido del espécimen en estudio.

## 2.13.4.4 Ensayo de Límite Plástico

Materiales a usar:

- Una fracción de la mescla que ya hemos preparado durante el límite líquido

Dispositivos a emplear para realizar el ensayo:

- Una balanza, con sensibilidad de 0.1 g para determinar el peso las muestras.
- Cápsula de porcelana de 115 mm.
- Paleta flexible entre unos setenta y cinco y unos cien milímetros es decir entre tres pulgadas y cuatro pulgadas y finalmente de unos veinte milímetros de ancho aproximadamente.
- Placa de vidrio grueso esmerilado.
- Horno, con la capacidad de mantener temperaturas constantes y uniformes hasta de 110°C ± 5°C.
- Recipientes y tarros de acero secos para la administración y la desecación de los especímenes obtenidos.
- Brocha, para fregar los recipientes empleados después de cada uso.

Procedimiento para realizar el ensayo.

- La fracción de masa dispuesta en el ensayo del ensayo anteriormente mencionada y colocamos en una plancha de cristal esmerilado de tal modo que la mezcla reduzca la cantidad de agua en la muestra en estudio, luego se arremangó el espécimen amasado en estudio y colocamos en una plancha de cristal esmerilada hasta conseguir rollos pequeños de tres milímetros de diámetro como mínimo y hasta que estos rollos se divisen agrietamientos, luego se instala el espécimen en un receptáculo y se lleva al horno dejándolo durante 24 horas, culminado este proceso de secado dejamos reposar en el desecador durante 10 minutos, luego llevamos la muestra seca a pesarla y así determinamos mediante cálculos el contenido de humedad, finalmente promediamos los tres resultados obtenidos.
- Este ensayo se repitió el ensayo 3 vez más.

# 2.13.4.5 Ensayo Compactación Próctor Modificado.

#### Materiales a usar:

- Muestra seca de aproximadamente 5000 gr. que pasó por la malla N° 4.

Equipos a emplear para realizar el ensayo:

- Una balanza, con sensibilidad de 0.1 g para determinar el peso las muestras.
- Dispositivo de Próctor modificado se emplea un molde en forma de cilindro de cuatro pulgadas (101.6mm), plancha de pedestal y una argolla de amplificación.
- Compresor Próctor modificado.
- Extractor de muestras.
- Probeta 1000 ml.
- Horno, con la capacidad de mantener temperaturas constantes y uniformes hasta de  $110^{\circ}\text{C} \pm 5^{\circ}\text{C}$ .
- Recipientes y tarros de acero secos para la administración y la desecación de los especímenes obtenidos.
- Brocha, para fregar los recipientes empleados después de cada uso.

Procedimiento para realizar el ensayo.

- Se obtiene el espécimen seco para la prueba, empleando la técnica A.
- Prepararemos cinco especímenes de material seco pasadas por la malla N° 4, con un peso de 5kg. cada una, luego a cada muestra se le añade una cantidad determinada de agua destilada, de modo que el contenido de agua para cada muestra tenga la tendencia de variar entre uno o 2 % entre amabas, luego enlacé el cilindro a la plancha de pedestal y el collarín de amplificación y por último el pliego filtro, se le añadió una pequeña cantidad de aceite en todo el interior del molde con la finalidad de que la muestra no quede adherida al molde, posterior a ello se efectuó la compactación para todas las muestras cada espécimen seccionado en cinco extractos y en cada capa se efectuara veinticinco impactos consecutivos cada una de forma elíptica del borde hacia el interior, al culminar de realizar la compactación en la última capa, posterior a ello se retira el collar de amplificación, se niveló con la paleta, luego el molde se colocó en el extractor de muestras, una vez extraída la muestra obtiene una porción representativa de la parte central, para ser pesada y llevada al horno por 24 horas, posterior a ello se calcula el contenido de agua para todas los especímenes compactados (w%),

- Inmediatamente se calculó la densidad húmeda (Dh.) y del mismo modo calculamos la densidad seca en todos los especímenes compactados (Ds).

$$Ds = \frac{Dh*100}{(100+W\%)}$$

- Después de obtener todos los datos necesarios dibujé la gráfica de compactación en escala natural, los resultados de densidad seca en los ejes de ordenadas y los datos del contenido de agua se registran en los ejes de las coordenadas. Finalmente determiné el contenido óptimo de humedad y la densidad seca máxima.
- Este ensayo se repitió el ensayo 5 vez más por cada calicata.

## 2.14 Materiales y métodos.

#### 2.14.1 Materiales

- Equipos, computadora, impresora, materiales de oficina, GPS Navegador, papel bond, memoria USB, tazas metálicas, transporte.

#### 2.14.2 Método.

- El trabajo de investigación se inició con la ubicación de las calicatas luego se extrajeron las muestras respectivas con un aproximado de 50 kg. de cada una, durante la extracción se separó una porción de cada calicata para realizar el ensayo de contenido de humedad tal como se describe en el Ítem 2.13.4.1 Ensayo de Contenido de Humedad Natural, después de haber extraído las muestras respectivas se dejaron secar al sol.
- Secada las muestras se llevan al laboratorio para proceder con los siguientes ensayos tal como se describe en los ítems 2.13.4.2 Ensayo de Análisis Granulométrico, 2.13.4.3 Ensayo de Límite Liquido 2.13.4.4 Ensayo de Límite Plástico y 2.13.4.5 Ensayo Compactación Próctor Modificado.
- Terminados todos los ensayos se procede a la revisión de los resultados obtenidos para determinar la Influencia del índice plástico en el contenido óptimo de humedad en suelos arcillosos aplicado en afirmado de carreteras en la jurisdicción de Lamas.
- Los Resultados se discutirán en el CAPITULO II: RESULTADOS Y DISCUSIÓN.

# CAPITULO III: RESULTADOS Y DISCUSIÓN

# 3.1 Resultado de la investigación

Durante la exploración del presente proyecto logramos alcanzar la meta para la elaboración de la gráfica aplicativa entre el óptimo contenido de humedad y el índice de plasticidad, ejecutando la valoración de las pruebas descritas en el Ítem 2.13.4 Ensayos De Laboratorio. Con respecto a la cantidad de muestras a extraer según el Ítem 2.11.2 Muestras, resulta que el tamaño de la población a extraer son 11 muestras representativas para realizar la investigación correspondiente, sin embargo, para tener más precisión en los resultados se extrajeron un total de 16 muestras. Los resultados correspondientes de las calicatas N° 02, 03, 07 y 11 para la obtención del Optimo Contenido de Humedad y la Máxima Densidad Seca no se efectuaron ya que según el análisis granulométrico realizado no pertenecen a la clasificación de Suelo Arcilloso siendo este el tema de investigación.

3.1.1 Ubicación de Calicatas en el distrito de Lamas Tabla 2

Ubicación de las calicatas

CALICATA -	U	BICACIÓN D	DEL PUNTO DE EXF	PLORACIÓN
CHERCHITI -	NORTE	ESTE	CARRETERA	Lado de la Extracción
C-01	9288712	0330990	Lamas-Molosho	Talud Lado Izquierdo
C-02	9288781	0331401	Lamas-Molosho	Cantera: "San Cesar"
C-03	9288781	0331411	Lamas-Molosho	Cantera: "San Cesar"
C-04	9288887	0331270	Lamas-Molosho	Cantera: "San Cesar"
C-05	9288712	0330990	Lamas-Tarapoto	Talud Lado Izquierdo
C-06	9288785	0332617	Lamas-Shamboloa	Talud Lado Izquierdo
C-07	9290999	0332060	Lamas-Pamashto	Talud Lado Izquierdo
C-08	9292217	0331728	Lamas-Pamashto	Talud Lado Izquierdo
C-09	9292870	0330912	Lamas-Pamashto	Talud Lado Derecho
C-10	9292438	0330985	Lamas-Pamashto	Talud Lado Derecho
C-11	9292438	0330985	Lamas-Pamashto	Talud Lado Izquierdo
C-12	9290464	0328540	Lamas-Shanao	Talud Lado Derecho

C-13	9290892	0330990	Lamas-Shanao	Talud Lado Derecho
C-14	9290209	0330752	Huaico-Shanao	Talud Lado Derecho
C-15	9290250	0330717	Huaico-Shanao	Talud Lado Derecho
C-16	9288811	0333121	Lamas-Tarapoto	Talud Lado Derecho

# 3.1.2 Resultados del Contenido de Humedad

**Tabla 3**Resumen de la obtención del contenido de humedad natural

CALICATA –	UBICACIÓN DEL PUNTO DE EXPLORACIÓN						
CALICATA –	NORTE	ESTE	HUMEDAD NATURAL %				
C-01	9288712	0330990	10.14				
C-02	9288781	0331401	7.18				
C-03	9288781	0331411	4.83				
C-04	9288887	0331270	12.39				
C-05	9288712	0330990	13.77				
C-06	9288785	0332617	15.08				
C-07	9290999	0332060	10.70				
C-08	9292217	0331728	8.20				
C-09	9292870	0330912	20.19				
C-10	9292438	0330985	28.88				
C-11	9292438	0330985	9.91				
C-12	9290464	0328540	9.73				
C-13	9290892	0330990	11.05				
C-14	9290209	0330752	20.58				
C-15	9290250	0330717	25.72				
C-16	9288811	0333121	12.06				

Fuente: Elaboración Propia

# 3.1.3 Resultados de la Composición del Análisis Granulométrico

**Tabla 4** *Resumen de las características granulométricas* 

	NORTE	ESTE	MALLA #04	MALLA # 10	MALLA # 40	MALLA # 200
C-01	9288712	0330990	100.00	99.98	98.81	58.41
C-02	9288781	0331401	100.00	99.37	92.25	4.20
C-03	9288781	0331411	100.00	99.63	89.62	4.01
C-04	9288887	0331270	100.00	99.97	98.38	63.79
C-05	9288712	0330990	100.00	99.73	96.44	63.30
C-06	9288785	0332617	100.00	99.88	95.62	69.42
C-07	9290999	0332060	100.00	99.50	95.04	4.90
C-08	9292217	0331728	100.00	99.90	96.06	57.49
C-09	9292870	0330912	100.00	99.29	97.65	95.01
C-10	9292438	0330985	100.00	99.87	98.85	92.21
C-11	9292438	0330985	100.00	99.78	95.12	51.99
C-12	9290464	0328540	99.91	99.33	98.56	97.62
C-13	9290892	0330990	100.00	99.39	97.18	91.48
C-14	9290209	0330752	100.00	99.96	99.68	78.57
C-15	9290250	0330717	100.00	99.87	99.46	93.68
C-16	9288811	0333121	100.00	99.51	93.50	50.82

# 3.1.4 Resultados de los Límites de consistencia

**Tabla 5** *Resumen de los Límites de Consistencia* 

CALICATA -	UBICA	ACIÓN	PROPIEDADES INDICES			
CALICATA -	NORTE	ESTE	L.L. %	L.P. %	I.P. %	
C-01	9288712	0330990	43.39	23.17	20.22	
C-04	9288887	0331270	46.27	24.25	22.02	
C-05	9288712	0330990	43.15	21.71	21.44	
C-06	9288785	0332617	47.54	25.47	22.07	
C-08	9292217	0331728	41.23	20.80	20.43	
C-09	9292870	0330912	52.80	23.63	29.17	
C-10	9292438	0330985	54.12	26.89	27.23	
C-11	9292438	0330985	36.16	26.07	10.09	

C-12	9290464	0328540	48.53	25.41	23.12
C-13	9290892	0330990	50.46	26.08	24.38
C-14	9288712	0330990	52.97	28.04	24.93
C-15	9288781	0331401	58.08	28.68	29.40
C-16	9288781	0331411	45.98	23.60	22.38

# 3.1.5 Resultados de La Clasificación de suelos

**Tabla 6**Resumen de La clasificación de suelos

CALICATA -	UBICA	ACIÓN	CLASIFICACIÓN		
CALICATA -	NORTE	ESTE	S.U.C.S.	AASHTO	
C-01	9288712	0330990	CL	A-7-6 (9)	
C-02	9288781	0331401	SP	A-3 (0)	
C-03	9288781	0331411	SP	A-3 (0)	
C-04	9288887	0331270	CL	A-7-6 (12)	
C-05	9288712	0330990	CL	A-7-6 (11)	
C-06	9288785	0332617	CL	A-7-6 (15)	
C-07	9290999	0332060	SP	A-3 (0)	
C-08	9292217	0331728	CL	A-7-6 (9)	
C-09	9292870	0330912	СН	A-7-6 (20)	
C-10	9292438	0330985	СН	A-7-6 (20)	
C-11	9292438	0330985	CL -ML	A-4 (3)	
C-12	9290464	0328540	CL	A-7-6 (20)	
C-13	9290892	0330990	СН	A-7-6 (20)	
C-14	9288712	0330990	СН	A-7-6 (20)	
C-15	9288781	0331401	СН	A-7-6 (20)	
C-16	9288781	0331411	CL	A-7-6 (8)	

Fuente: Elaboración Propia

3.1.6 Resultados de la compactación del Proctor modificado

**Tabla 7** *Resumen del Proctor Modificado* 

	UBICA	ACIÓN	PROPIEDADES		
CALICATA	NORTE	ESTE	D.s. max (gr/cm3)	W% (Óptimo)	
C-01	9288712	0330990	1.75	20.90	
C-04	9288887	0331270	1.78	22.80	
C-05	9288712	0330990	1.80	19.18	
C-06	9288785	0332617	1.84	20.02	
C-08	9292217	0331728	1.78	20.10	
C-09	9292870	0330912	1.68	21.00	
C-10	9292438	0330985	1.70	21.55	
C-12	9292438	0330985	1.83	20.45	
C-13	9290464	0328540	1.74	20.55	
C-14	9290892	0330990	1.70	20.70	
C-15	9288712	0330990	1.73	19.70	
C-16	9288781	0331401	1.79	20.60	

# 3.1.7 Resultados de la compactación del Proctor modificado

**Tabla 8**Resumen general de las características de los suelos

	PROPIEDADES INDICES			CLASIFICACIÓN			PROPIE	EDADES
CALICATA	L.L. %	L.P. %	I.P. %	S.U.C.S.	AASH	НТО	D.s. max (gr/cm3)	W% (Óptimo)
C-01	43.39	23.17	20.22	CL	A-7-6	(9)	1.75	20.90
C-02	-	-	-	SP	A-3	(0)	-	-
C-03	-	-	-	SP	A-3	(0)	-	-
C-04	46.27	24.25	22.02	CL	A-7-6	(12)	1.78	22.80

C-05	43.15 21.71	21.44	CL	A-7-6	(11)	1.80	19.18
C-06	47.54 25.47	22.07	CL	A-7-6	(15)	1.84	20.02
C-07		-	SP	A-3	(0)	-	-
C-08	41.23 20.80	20.43	CL	A-7-6	(9)	1.78	20.10
C-09	52.80 23.63	29.17	СН	A-7-6	(20)	1.68	21.00
C-10	54.12 26.89	27.23	СН	A-7-6	(20)	1.70	21.55
C-11	36.16 25.41	23.12	CL -ML	A-4	(3)	-	-
C-12	48.53 25.41	23.12	CL	A-7-6	(20)	1.83	20.45
C-13	50.46 26.08	24.38	СН	A-7-6	(20)	1.74	20.55
C-14	52.97 28.04	24.93	СН	A-7-6	(20)	1.70	20.70
C-15	58.08 28.68	29.40	CH	A-7-6	(20)	1.73	19.70
C-16	45.98 23.60	22.38	CL	A-7-6	(8)	1.79	20.60

# 3.2 Análisis suelos arcillosos de alta plasticidad.

De la gráfica podemos divisar que se logra obtener el valor máximo del óptimo contenido de humedad de 21.62 por ciento y cuando logremos adquirir el valor para el índice de plasticidad este aumenta hasta un 26.80 por ciento, asimismo divisamos que en el caso de que el índice de plasticidad sigue aumentando constantemente el contenido óptimo de humedad disminuye en base a los valores obtenidos anteriormente.

**Tabla 9**Resumen general de las características de los suelos arcillosos de alta plasticidad

Muestra	TT	LP	IP	CLAS	SIFICA	CIÓN	DsMáx	W %
N°	LL	LP	IP	AASH	OT	SUCS	(gr/cm3)	(Óptimo)
C-9	52.80	23.63	29.17	A-7-6	(20)	СН	1.68	21.00
C-10	54.12	26.89	27.23	A-7-6	(20)	CH	1.70	21.55
C-13	50.46	26.08	24.38	A-7-6	(20)	CH	1.74	20.55
C-14	52.97	28.04	24.93	A-7-6	(20)	CH	1.70	20.70
C-15	58.08	28.68	29.40	A-7-6	(20)	CH	1.73	19.70

Fuente: Elaboración propia.

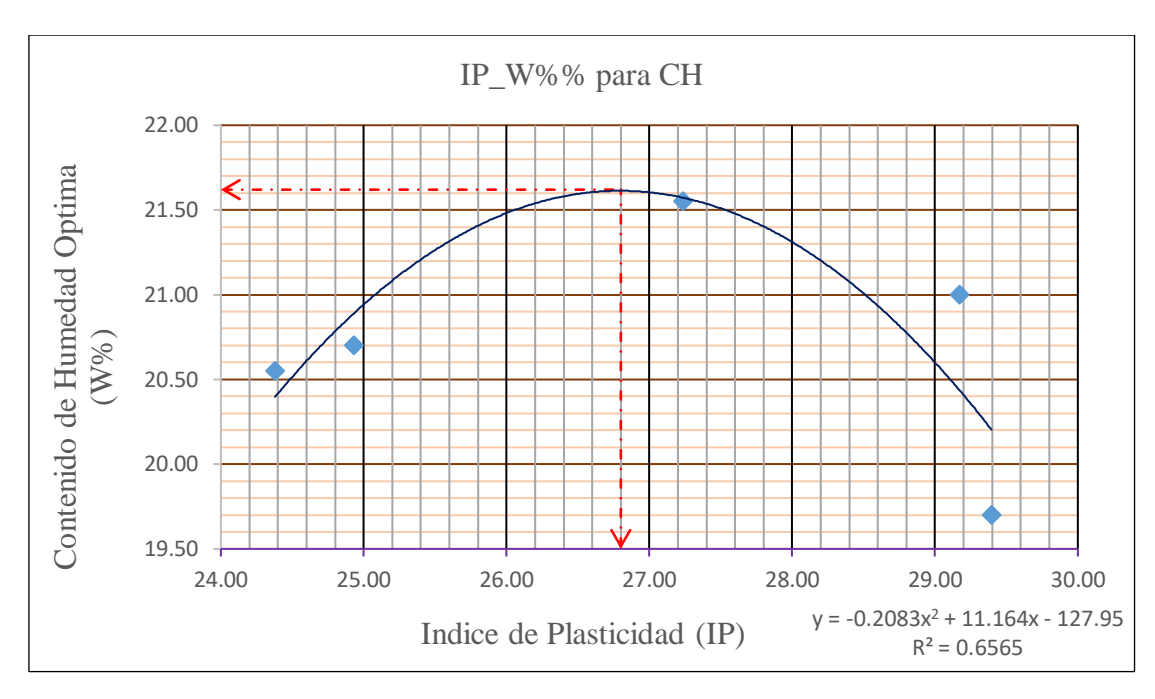


Figura 13: Curva aplicativa contenido de humedad óptima vs índice de plasticidad para arcillas de alta plasticidad. (Fuente: Elaboración Propia, 2022)

# 3.3 Análisis suelos arcillosos de baja plasticidad.

De la gráfica podemos divisar que se logra obtener el valor máximo del óptimo contenido de humedad de 21.95% y cuando logremos adquirir el valor para el índice de plasticidad aumenta constantemente hasta 21.65, asimismo divisamos que en el caso de que el índice de plasticidad sigue aumentando constantemente el contenido óptimo de humedad disminuye en base a los valores obtenidos anteriormente.

**Tabla 10**Resumen general de las características de los suelos arcillosos de baja plasticidad

Muestra	LL	LP	IP	CLAS	SIFICA	CIÓN	DsMáx	W %
$N^{\circ}$	LL	LP	IP	AASH	ТО	SUCS	(gr/cm3)	(Óptimo)
C-1	43.39	23.17	20.22	A-7-6	(9)	CL	1.75	20.90
C-4	46.27	24.25	22.02	A-7-6	<b>(12)</b>	CL	1.78	22.80
C-5	43.15	21.71	21.44	A-7-6	(11)	CL	1.80	19.18
C-6	47.54	25.47	22.07	A-7-6	(15)	CL	1.84	20.02
<b>C-8</b>	41.23	20.80	20.43	<b>A-7-6</b>	(9)	CL	1.78	20.10
C-12	48.53	25.41	23.12	A-7-6	(20)	CL	1.83	20.45
C-16	45.98	23.60	22.38	A-7-6	(8)	CL	1.79	20.60

Fuente: Elaboración propia.

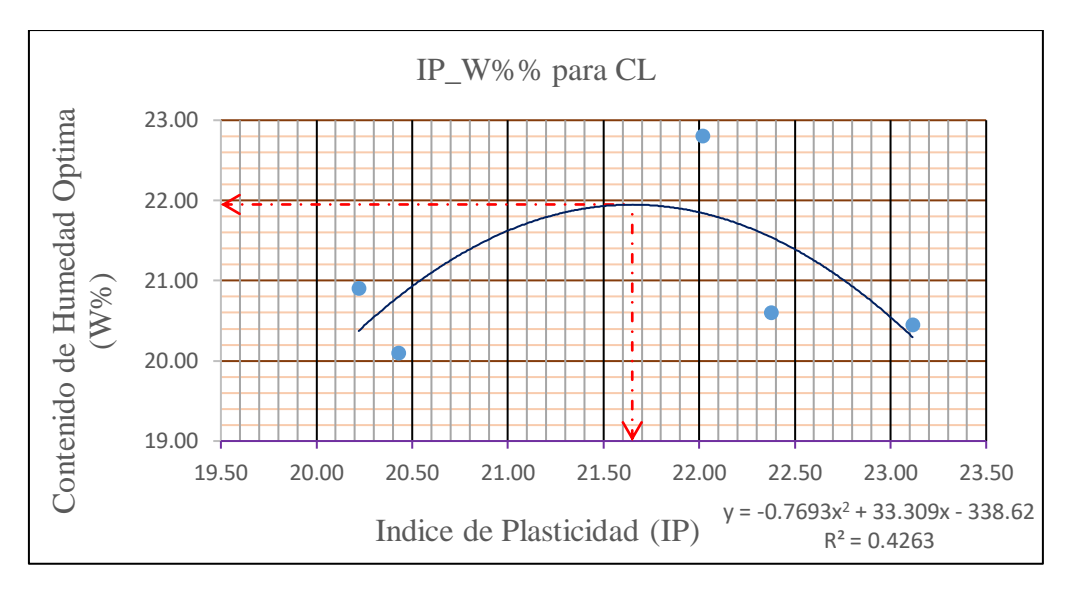


Figura 14: Curva aplicativa contenido de humedad óptima vs índice de plasticidad para arcillas de baja plasticidad. (Fuente: Elaboración Propia, 2022)

#### 3.4 Análisis de la información

El esquema hipotético que personifica la reciprocidad existente entre las constantes observamos que el contenido óptimo de humedad y índice de plasticidad, para este proyecto resulto una ecuación polinómica de grado dos, esta ecuación se representa de la siguiente manera:

$$Y=b_1x^2+b_2x+b_3$$

Donde:

y =Contenido óptimo de humedad.

X= Índice plástico

Para desarrollar este proyecto la cantidad de muestras a extraer según el Ítem 2.11.2 Muestras resulta que el tamaño de la población a extraer son 11 muestras representativas para realizar la investigación correspondiente, sin embargo, para tener más precisión en los resultados se extrajeron un total de 16 especímenes variados de muestras extraídas de casco rural de Lamas, hemos estado recopilando de14 zonas diferentes tal y como se describe en la Tabla N° 2 "Ubicación de las Calicatas".

Alcanzada la ecuación correspondiente entre el IP \_W% para suelos arcillosos de alta plasticidad:

 $y = -0.2083x^2 + 11.164x - 127.95$  y con un coeficiente de determinación:  $R^2 = 0.6565$ .

Así como la ecuación correspondiente es igual a IP \_W% para suelos arcillosos de baja plasticidad:

 $y = -0.7693x^2 + 33.309x - 338.62$  y con un coeficiente de determinación:  $R^2 = 0.4263$ .

#### 3.5 Discusión de los resultados

De la evaluación realizada de los 16 especímenes extraídos ya sea de baja y alta plasticidad de la jurisdicción de Lamas se llegamos a la interpretación siguiente:

Con respecto a la influencia del índice de plasticidad en el óptimo contenido de humedad en las arcillas, identificamos que el índice plástico llega has su valor límite con la cual podemos obtener el máximo del óptima contenido de humedad, en base a los valores obtenidos en el limite cuando el índice plástico sigue aumentando constantemente el máximo valor del optimo contenido de humedad comienza un decrecimiento, tal como se puede apreciar en Figura 13 (Curva aplicativa índice de plasticidad vs el contenido de las muestras arcillosas de alta plasticidad) y en la Figura 14 (Gráfica aplicativa del índice de plasticidad vs el contenido óptimo de humedad vs para arcillas de baja plasticidad).

Con respecto a las muestras obtenidas como material de estudio para la aplicación de suelos arcillosos en el afirmado de carreteras del distrito de Lamas, se tuvo en cuenta los resultados obtenidos descritos en el Ítem 3.1 Resultado de la investigación y se realizó una minuciosa comparación con los requerimientos mínimos descrito en el Ítem 1.2.17 Materiales (Requisitos mínimos que debe cumplir un material para ser empleado en afirmado de carreteras según el Manual de Carreteras: Especificaciones Técnicas Generales para Construcción):

## 3.5.1 Propiedades granulométricas

Se realizo la comparación granulométrica de los resultados obtenidos en el Ítem 3.1 con cada tipo de suelo descrito en la Figura 12: Las exigencias de calidad de las materias que serán empleadas en afirmados de carreteras deben estas según la norma vigente. (Fuente: Manual de Carreteras: Especificaciones Técnicas Generales para Construcción, 2013), del Ítem 1.2.17, obteniéndose las siguientes tablas:

# a) Comparación realizada con el suelo denominado F de la Figura 12

	GRAN	ULOMET	RIA (% qı	ue pasa)	CLASI	FICACIO	ÓΝ	POR	CENTAJE QU	E PASA (SUEL	O "F")
CALICATA	MALLA	MALLA	MALLA	MALLA	CIICC	AASH	TO	MALLA #4	MALLA #10	MALLA #40	MALLA #200
	#04	# 10	# 40	# 200	S.U.C.S.	AASI	110	70 - 100	55 - 100	30 - 70	8 - 25
C-01	100.00	99.98	98.81	58.41	CL	A-7-6	(9)	SI CUMPLE	SI CUMPLE	NO CUMPLE	NO CUMPLE
C-02	100.00	99.37	92.25	4.20	SP	A-3	(0)	SI CUMPLE	SI CUMPLE	NO CUMPLE	NO CUMPLE
C-03	100.00	99.63	89.62	4.01	SP	A-3	(0)	SI CUMPLE	SI CUMPLE	NO CUMPLE	NO CUMPLE
C-04	100.00	99.97	98.38	63.79	CL	A-7-6	(12)	SI CUMPLE	SI CUMPLE	NO CUMPLE	NO CUMPLE
C-05	100.00	99.73	96.44	63.30	CL	A-7-6	(11)	SI CUMPLE	SI CUMPLE	NO CUMPLE	NO CUMPLE
C-06	100.00	99.88	95.62	69.42	CL	A-7-6	(15)	SI CUMPLE	SI CUMPLE	NO CUMPLE	NO CUMPLE
C-07	100.00	99.50	95.04	4.90	SP	A-3	(0)	SI CUMPLE	SI CUMPLE	NO CUMPLE	NO CUMPLE
C-08	100.00	99.90	96.06	57.49	CL	A-7-6	(9)	SI CUMPLE	SI CUMPLE	NO CUMPLE	NO CUMPLE
C-09	100.00	99.29	97.65	95.01	CH	A-7-6	(20)	SI CUMPLE	SI CUMPLE	NO CUMPLE	NO CUMPLE
C-10	100.00	99.87	98.85	92.21	CH	A-7-6	(20)	SI CUMPLE	SI CUMPLE	NO CUMPLE	NO CUMPLE
C-11	100.00	99.78	95.12	51.99	CL -ML	A-4	(3)	SI CUMPLE	SI CUMPLE	NO CUMPLE	NO CUMPLE
C-12	99.91	99.33	98.56	97.62	CL	A-7-6	(20)	SI CUMPLE	SI CUMPLE	NO CUMPLE	NO CUMPLE
C-13	100.00	99.39	97.18	91.48	CH	A-7-6	(20)	SI CUMPLE	SI CUMPLE	NO CUMPLE	NO CUMPLE
C-14	100.00	99.96	99.68	78.57	CH	A-7-6	(20)	SI CUMPLE	SI CUMPLE	NO CUMPLE	NO CUMPLE
C-15	100.00	99.87	99.46	93.68	CH	A-7-6	(20)	SI CUMPLE	SI CUMPLE	NO CUMPLE	NO CUMPLE
C-16	100.00	99.51	93.50	50.82	CL	A-7-6	(8)	SI CUMPLE	SI CUMPLE	NO CUMPLE	NO CUMPLE

Figura 15: Comparación de los requisitos de calidad del análisis granulométrico parte I. (Fuente: Elaboración propia, 2022)

# b) Comparación realizada con el suelo denominado E de la Figura 12

	GRAN	ULOMET	RIA (% qu	e pasa)	CLASI	FICACIO	ÓΝ	PORCEN	TAJE MINIMO	O QUE PASA (S	UELO "E")
CALICATA	MALLA	MALLA	MALLA	MALLA	S.U.C.S.	AASH	ITO	MALLA #4	MALLA #10	MALLA #40	MALLA #200
	#04	# 10	# 40	# 200	S.U.C.S.	AASI	110	55 - 100	40 - 100	20 - 70	6 - 20
C-01	100.00	99.98	98.81	58.41	CL	A-7-6	(9)	SI CUMPLE	SI CUMPLE	NO CUMPLE	NO CUMPLE
C-02	100.00	99.37	92.25	4.20	SP	A-3	(0)	SI CUMPLE	SI CUMPLE	NO CUMPLE	NO CUMPLE
C-03	100.00	99.63	89.62	4.01	SP	A-3	(0)	SI CUMPLE	SI CUMPLE	NO CUMPLE	NO CUMPLE
C-04	100.00	99.97	98.38	63.79	CL	A-7-6	(12)	SI CUMPLE	SI CUMPLE	NO CUMPLE	NO CUMPLE
C-05	100.00	99.73	96.44	63.30	CL	A-7-6	(11)	SI CUMPLE	SI CUMPLE	NO CUMPLE	NO CUMPLE
C-06	100.00	99.88	95.62	69.42	CL	A-7-6	(15)	SI CUMPLE	SI CUMPLE	NO CUMPLE	NO CUMPLE
C-07	100.00	99.50	95.04	4.90	SP	A-3	(0)	SI CUMPLE	SI CUMPLE	NO CUMPLE	NO CUMPLE
C-08	100.00	99.90	96.06	57.49	CL	A-7-6	(9)	SI CUMPLE	SI CUMPLE	NO CUMPLE	NO CUMPLE
C-09	100.00	99.29	97.65	95.01	CH	A-7-6	(20)	SI CUMPLE	SI CUMPLE	NO CUMPLE	NO CUMPLE
C-10	100.00	99.87	98.85	92.21	CH	A-7-6	(20)	SI CUMPLE	SI CUMPLE	NO CUMPLE	NO CUMPLE
C-11	100.00	99.78	95.12	51.99	CL -ML	A-4	(3)	SI CUMPLE	SI CUMPLE	NO CUMPLE	NO CUMPLE
C-12	99.91	99.33	98.56	97.62	CL	A-7-6	(20)	SI CUMPLE	SI CUMPLE	NO CUMPLE	NO CUMPLE
C-13	100.00	99.39	97.18	91.48	CH	A-7-6	(20)	SI CUMPLE	SI CUMPLE	NO CUMPLE	NO CUMPLE
C-14	100.00	99.96	99.68	78.57	CH	A-7-6	(20)	SI CUMPLE	SI CUMPLE	NO CUMPLE	NO CUMPLE
C-15	100.00	99.87	99.46	93.68	CH	A-7-6	(20)	SI CUMPLE	SI CUMPLE	NO CUMPLE	NO CUMPLE
C-16	100.00	99.51	93.50	50.82	CL	A-7-6	(8)	SI CUMPLE	SI CUMPLE	NO CUMPLE	NO CUMPLE

Figura 16: Comparación de los requisitos de calidad del análisis granulométrico parte II. (Fuente: Elaboración propia, 2022)

# c) Comparación realizada con el suelo denominado D de la Figura 12

	GRAN	ULOMET	RIA (% qu	ie pasa)	CLASI	FICACIO	ÓΝ	PORCEN	TAJE MINIMO (	QUE PASA (SU	ELO "D")
CALICATA	MALLA	MALLA	MALLA	MALLA	S.U.C.S.	AASH	ITO	MALLA #4	MALLA #10	MALLA #40	MALLA #200
	#04	# 10	# 40	# 200	3.0.0.3.	AASI	110	50 - 85	40 - 70	25 - 40	5 - 20
C-01	100.00	99.98	98.81	58.41	CL	A-7-6	(9)	NO CUMPLE	NO CUMPLE	NO CUMPLE	NO CUMPLE
C-02	100.00	99.37	92.25	4.20	SP	A-3	(0)	NO CUMPLE	NO CUMPLE	NO CUMPLE	NO CUMPLE
C-03	100.00	99.63	89.62	4.01	SP	A-3	(0)	NO CUMPLE	NO CUMPLE	NO CUMPLE	NO CUMPLE
C-04	100.00	99.97	98.38	63.79	CL	A-7-6	(12)	NO CUMPLE	NO CUMPLE	NO CUMPLE	NO CUMPLE
C-05	100.00	99.73	96.44	63.30	CL	A-7-6	(11)	NO CUMPLE	NO CUMPLE	NO CUMPLE	NO CUMPLE
C-06	100.00	99.88	95.62	69.42	CL	A-7-6	(15)	NO CUMPLE	NO CUMPLE	NO CUMPLE	NO CUMPLE
C-07	100.00	99.50	95.04	4.90	SP	A-3	(0)	NO CUMPLE	NO CUMPLE	NO CUMPLE	NO CUMPLE
C-08	100.00	99.90	96.06	57.49	CL	A-7-6	(9)	NO CUMPLE	NO CUMPLE	NO CUMPLE	NO CUMPLE
C-09	100.00	99.29	97.65	95.01	CH	A-7-6	(20)	NO CUMPLE	NO CUMPLE	NO CUMPLE	NO CUMPLE
C-10	100.00	99.87	98.85	92.21	CH	A-7-6	(20)	NO CUMPLE	NO CUMPLE	NO CUMPLE	NO CUMPLE
C-11	100.00	99.78	95.12	51.99	CL -ML	A-4	(3)	NO CUMPLE	NO CUMPLE	NO CUMPLE	NO CUMPLE
C-12	99.91	99.33	98.56	97.62	CL	A-7-6	(20)	NO CUMPLE	NO CUMPLE	NO CUMPLE	NO CUMPLE
C-13	100.00	99.39	97.18	91.48	CH	A-7-6	(20)	NO CUMPLE	NO CUMPLE	NO CUMPLE	NO CUMPLE
C-14	100.00	99.96	99.68	78.57	CH	A-7-6	(20)	NO CUMPLE	NO CUMPLE	NO CUMPLE	NO CUMPLE
C-15	100.00	99.87	99.46	93.68	CH	A-7-6	(20)	NO CUMPLE	NO CUMPLE	NO CUMPLE	NO CUMPLE
C-16	100.00	99.51	93.50	50.82	CL	A-7-6	(8)	NO CUMPLE	NO CUMPLE	NO CUMPLE	NO CUMPLE

Figura 17: Comparación de los requisitos de calidad del análisis granulométrico parte III. (Fuente: Elaboración propia, 2022)

# d) Comparación realizada con el suelo denominado C de la Figura 12

	GRAN	ULOMET	RIA (% qu	ie pasa)	CLASI	FICACIO	ÓΝ	PORCEN	ΓΑJE MINIMO (	UE PASA (SUI	ELO "C")
CALICATA	MALLA	MALLA	MALLA	MALLA	S.U.C.S.	AASH	TO	MALLA #4	MALLA #10	MALLA #40	MALLA #200
	#04	# 10	# 40	# 200	S.U.C.S.	AASI	110	35 - 65	25 - 50	15 - 30	5 - 15
C-01	100.00	99.98	98.81	58.41	CL	A-7-6	(9)	NO CUMPLE	NO CUMPLE	NO CUMPLE	NO CUMPLE
C-02	100.00	99.37	92.25	4.20	SP	A-3	(0)	NO CUMPLE	NO CUMPLE	NO CUMPLE	NO CUMPLE
C-03	100.00	99.63	89.62	4.01	SP	A-3	(0)	NO CUMPLE	NO CUMPLE	NO CUMPLE	NO CUMPLE
C-04	100.00	99.97	98.38	63.79	CL	A-7-6	(12)	NO CUMPLE	NO CUMPLE	NO CUMPLE	NO CUMPLE
C-05	100.00	99.73	96.44	63.30	CL	A-7-6	(11)	NO CUMPLE	NO CUMPLE	NO CUMPLE	NO CUMPLE
C-06	100.00	99.88	95.62	69.42	CL	A-7-6	(15)	NO CUMPLE	NO CUMPLE	NO CUMPLE	NO CUMPLE
C-07	100.00	99.50	95.04	4.90	SP	A-3	(0)	NO CUMPLE	NO CUMPLE	NO CUMPLE	NO CUMPLE
C-08	100.00	99.90	96.06	57.49	CL	A-7-6	(9)	NO CUMPLE	NO CUMPLE	NO CUMPLE	NO CUMPLE
C-09	100.00	99.29	97.65	95.01	CH	A-7-6	(20)	NO CUMPLE	NO CUMPLE	NO CUMPLE	NO CUMPLE
C-10	100.00	99.87	98.85	92.21	CH	A-7-6	(20)	NO CUMPLE	NO CUMPLE	NO CUMPLE	NO CUMPLE
C-11	100.00	99.78	95.12	51.99	CL -ML	A-4	(3)	NO CUMPLE	NO CUMPLE	NO CUMPLE	NO CUMPLE
C-12	99.91	99.33	98.56	97.62	CL	A-7-6	(20)	NO CUMPLE	NO CUMPLE	NO CUMPLE	NO CUMPLE
C-13	100.00	99.39	97.18	91.48	CH	A-7-6	(20)	NO CUMPLE	NO CUMPLE	NO CUMPLE	NO CUMPLE
C-14	100.00	99.96	99.68	78.57	CH	A-7-6	(20)	NO CUMPLE	NO CUMPLE	NO CUMPLE	NO CUMPLE
C-15	100.00	99.87	99.46	93.68	CH	A-7-6	(20)	NO CUMPLE	NO CUMPLE	NO CUMPLE	NO CUMPLE
C-16	100.00	99.51	93.50	50.82	CL	A-7-6	(8)	NO CUMPLE	NO CUMPLE	NO CUMPLE	NO CUMPLE

Figura 18: Comparación de los requisitos de calidad del análisis granulométrico parte IV. (Fuente: Elaboración propia, 2022)

# e) Comparación realizada con el suelo denominado A-2 de la Figura 12

	GRAN	ULOMET	RIA (% qı	ie pasa)	CLASI	FICACIO	ÓΝ	PORCENT	AJE MINIMO Ç	UE PASA (SUE	ELO "A-2")
CALICATA	MALLA	MALLA	MALLA	MALLA	S.U.C.S.	AASH	TO	MALLA #4	MALLA #10	MALLA #40	MALLA #200
	#04	# 10	# 40	# 200	S.U.C.S.	AASII	110	50 - 85	33 - 67	20 - 45	5 - 20
C-01	100.00	99.98	98.81	58.41	CL	A-7-6	(9)	NO CUMPLE	NO CUMPLE	NO CUMPLE	NO CUMPLE
C-02	100.00	99.37	92.25	4.20	SP	A-3	(0)	NO CUMPLE	NO CUMPLE	NO CUMPLE	NO CUMPLE
C-03	100.00	99.63	89.62	4.01	SP	A-3	(0)	NO CUMPLE	NO CUMPLE	NO CUMPLE	NO CUMPLE
C-04	100.00	99.97	98.38	63.79	CL	A-7-6	(12)	NO CUMPLE	NO CUMPLE	NO CUMPLE	NO CUMPLE
C-05	100.00	99.73	96.44	63.30	CL	A-7-6	(11)	NO CUMPLE	NO CUMPLE	NO CUMPLE	NO CUMPLE
C-06	100.00	99.88	95.62	69.42	CL	A-7-6	(15)	NO CUMPLE	NO CUMPLE	NO CUMPLE	NO CUMPLE
C-07	100.00	99.50	95.04	4.90	SP	A-3	(0)	NO CUMPLE	NO CUMPLE	NO CUMPLE	NO CUMPLE
C-08	100.00	99.90	96.06	57.49	CL	A-7-6	(9)	NO CUMPLE	NO CUMPLE	NO CUMPLE	NO CUMPLE
C-09	100.00	99.29	97.65	95.01	CH	A-7-6	(20)	NO CUMPLE	NO CUMPLE	NO CUMPLE	NO CUMPLE
C-10	100.00	99.87	98.85	92.21	CH	A-7-6	(20)	NO CUMPLE	NO CUMPLE	NO CUMPLE	NO CUMPLE
C-11	100.00	99.78	95.12	51.99	CL -ML	A-4	(3)	NO CUMPLE	NO CUMPLE	NO CUMPLE	NO CUMPLE
C-12	99.91	99.33	98.56	97.62	CL	A-7-6	(20)	NO CUMPLE	NO CUMPLE	NO CUMPLE	NO CUMPLE
C-13	100.00	99.39	97.18	91.48	CH	A-7-6	(20)	NO CUMPLE	NO CUMPLE	NO CUMPLE	NO CUMPLE
C-14	100.00	99.96	99.68	78.57	CH	A-7-6	(20)	NO CUMPLE	NO CUMPLE	NO CUMPLE	NO CUMPLE
C-15	100.00	99.87	99.46	93.68	CH	A-7-6	(20)	NO CUMPLE	NO CUMPLE	NO CUMPLE	NO CUMPLE
C-16	100.00	99.51	93.50	50.82	CL	A-7-6	(8)	NO CUMPLE	NO CUMPLE	NO CUMPLE	NO CUMPLE

Figura 19: Comparación de los requisitos de calidad del análisis granulométrico parte V. (Fuente: Elaboración propia, 2022)

# f) Comparación realizada con el suelo denominado A-1 de la Figura 12

	GRAN	ULOMET	RIA (% qı	ie pasa)	CLASI	FICACIO	ÓΝ	PORCENT	AJE MINIMO Q	UE PASA (SUE	ELO "A-1")
CALICATA	MALLA	MALLA	MALLA	MALLA	S.U.C.S.	AASH	ITO	MALLA #4	MALLA #10	MALLA #40	MALLA #200
	#04	# 10	# 40	# 200	s.u.c.s.	AASH	110	50 - 85	33 - 67	20 - 45	5 - 20
C-01	100.00	99.98	98.81	58.41	CL	A-7-6	(9)	NO CUMPLE	NO CUMPLE	NO CUMPLE	NO CUMPLE
C-02	100.00	99.37	92.25	4.20	SP	A-3	(0)	NO CUMPLE	NO CUMPLE	NO CUMPLE	NO CUMPLE
C-03	100.00	99.63	89.62	4.01	SP	A-3	(0)	NO CUMPLE	NO CUMPLE	NO CUMPLE	NO CUMPLE
C-04	100.00	99.97	98.38	63.79	CL	A-7-6	(12)	NO CUMPLE	NO CUMPLE	NO CUMPLE	NO CUMPLE
C-05	100.00	99.73	96.44	63.30	CL	A-7-6	(11)	NO CUMPLE	NO CUMPLE	NO CUMPLE	NO CUMPLE
C-06	100.00	99.88	95.62	69.42	CL	A-7-6	(15)	NO CUMPLE	NO CUMPLE	NO CUMPLE	NO CUMPLE
C-07	100.00	99.50	95.04	4.90	SP	A-3	(0)	NO CUMPLE	NO CUMPLE	NO CUMPLE	NO CUMPLE
C-08	100.00	99.90	96.06	57.49	CL	A-7-6	(9)	NO CUMPLE	NO CUMPLE	NO CUMPLE	NO CUMPLE
C-09	100.00	99.29	97.65	95.01	CH	A-7-6	(20)	NO CUMPLE	NO CUMPLE	NO CUMPLE	NO CUMPLE
C-10	100.00	99.87	98.85	92.21	CH	A-7-6	(20)	NO CUMPLE	NO CUMPLE	NO CUMPLE	NO CUMPLE
C-11	100.00	99.78	95.12	51.99	CL -ML	A-4	(3)	NO CUMPLE	NO CUMPLE	NO CUMPLE	NO CUMPLE
C-12	99.91	99.33	98.56	97.62	CL	A-7-6	(20)	NO CUMPLE	NO CUMPLE	NO CUMPLE	NO CUMPLE
C-13	100.00	99.39	97.18	91.48	CH	A-7-6	(20)	NO CUMPLE	NO CUMPLE	NO CUMPLE	NO CUMPLE
C-14	100.00	99.96	99.68	78.57	CH	A-7-6	(20)	NO CUMPLE	NO CUMPLE	NO CUMPLE	NO CUMPLE
C-15	100.00	99.87	99.46	93.68	CH	A-7-6	(20)	NO CUMPLE	NO CUMPLE	NO CUMPLE	NO CUMPLE
C-16	100.00	99.51	93.50	50.82	CL	A-7-6	(8)	NO CUMPLE	NO CUMPLE	NO CUMPLE	NO CUMPLE

Figura 20: Comparación de los requisitos de calidad del análisis granulométrico parte VI. (Fuente: Elaboración propia, 2022)

# 3.5.2 Límites de Atterberg

Se realizo la comparación granulométrica de los resultados obtenidos en el Ítem 3.1 Resultado de la investigación con los requisitos mínimos de los materiales descritos en el Ítem 1.2.17 obteniéndose la siguiente tabla:

**Tabla 11**Comparación de los requisitos de calidad de los Limites de Atterberg

	PRC	)PIEDA	ADES	CLASII	FICACIO	ÓN	LIMITES DE	ATTERBERG
CALICATA	]	NDICE	ES				L.L. %	I.P. %
CALICATA	L.L. %	L.P. %	I.P. %	S.U.C.S.	AASH	ITO	35 Max.	4 - 9
C-01	43.39	23.17	20.22	CL	A-7-6	(9)	NO CUMPLE	NO CUMPLE
C-04	46.27	24.25	22.02	CL	A-7-6	(12)	NO CUMPLE	NO CUMPLE
C-05	43.15	21.71	21.44	CL	A-7-6	(11)	NO CUMPLE	NO CUMPLE
C-06	47.54	25.47	22.07	CL	A-7-6	(15)	NO CUMPLE	NO CUMPLE
C-08	41.23	20.80	20.43	CL	A-7-6	(9)	NO CUMPLE	NO CUMPLE
C-09	52.80	23.63	29.17	СН	A-7-6	(20)	NO CUMPLE	NO CUMPLE
C-10	54.12	26.89	27.23	СН	A-7-6	(20)	NO CUMPLE	NO CUMPLE
C-12	48.53	25.41	23.12	CL	A-7-6	(20)	NO CUMPLE	NO CUMPLE
C-13	50.46	26.08	24.38	СН	A-7-6	(20)	NO CUMPLE	NO CUMPLE
C-14	52.97	28.04	24.93	СН	A-7-6	(20)	NO CUMPLE	NO CUMPLE
C-15	58.08	28.68	29.40	СН	A-7-6	(20)	NO CUMPLE	NO CUMPLE
C-16	45.98	23.60	22.38	CL	A-7-6	(8)	NO CUMPLE	NO CUMPLE

Fuente: Elaboración Propia

## **CONCLUSIONES**

- El índice plástico a medida que aumenta llega hasta un valor máximo con el cual podemos obtener el máximo valor del contenido óptimo de humedad tanto para los suelos arcillosos de baja y alta plasticidad del distrito de Lamas.
- El máximo valor del contenido óptimo de humedad a medida que aumenta llega hasta su máximo valor luego decrece hecho que se da tanto para los suelos arcillosos de baja y alta plasticidad de la jurisdicción de Lamas.
- A diferencia del máximo contenido de humedad óptima que alcanza un punto máximo y luego decrece, el índice de plasticidad incrementa constantemente.
- Para las arcillas de plasticidad alta se obtuvo un máximo valor en el óptimo contenido de humedad de 21.62 por ciento cuando el valor del índice de plasticidad crece hasta 26.80 por ciento, se observa que cuando el índice plástico incrementa el óptimo contenido de humedad disminuye.
- Para arcillas de plasticidad baja se obtuvo un máximo valor del óptimo contenido de humedad de 21.95 por ciento cuando el valor del índice plástico aumenta hasta llegar al 21.65 por ciento, se divisa que sí el índice plástico incrementa el contenido óptimo de humedad disminuye.
- La comparación granulométrica realizada entre el resultado obtenido en el proyecto actual y los límites mínimos establecidos en la calidad que debe cumplir la materia prima a ser empleada en los afirmados de carreteras se concluyó que los suelos en estudios no cumplen los mínimos parámetros establecidos en el Manual de Carreteras: Especificaciones Técnicas Generales para Construcción.
- La comparación de los Limites de Atterberg realizada entre el resultado obtenido en la presente investigación y los límites mínimos establecidos en la calidad que debe cumplir el material a ser empleado en afirmados de carreteras se concluyó que los suelos en estudios no cumplan con los límites mínimos establecidos en el Manual de Carreteras: Especificaciones Técnicas Generales para Construcción.

## RECOMENDACIONES

- Se recomienda a los nuevos investigadores a realizar los estudios sobre la influencia que ejerce el índice plástico en el óptimo contenido de humedad de los materiales granulares.
- Para la extracción de muestras se recomienda tener cuidado tanto en su recolección como en su traslado debido a que por un factor externo cualquiera sea el caso puede afectar el resultado final de las pruebas a ejecutarse.
- Para el desarrollo de las pruebas del laboratorio de mecánica de suelos Se recomienda especial cuidado debido a que cualquier factor externo cualquiera sea el caso puede afectar el resultado final de las pruebas a ejecutarse.
- Para poder consumar con los parámetros mininos exigidos en el Manual de Carreteras: Especificaciones Técnicas Generales para Construcción para el uso del material de estudio como afirmado se recomienda realizar la combinación del material de estudio con material granular, esta combinación debe ser confirmada mediante una prueba del laboratorio de mecánica de suelos.

# REFERENCIAS BIBLIOGRÁFICAS

- Huyen Wihem, M. (1996), Mecánica de Suelos.
- Manual Escuela de Ingenieros de Caminos, Canales y Puertos de Barcelona, 1999.
- Shuan, L. (2004). "Laboratorio de Mecánica de Suelos". Obtenido de: https://www.academia.edu/5775299/TALLER\_B%C3%81SICO\_Expositor\_Luisa\_Shuan\_Lucas.
- Norman, L. (1959). The one-point method of determining the value of the liquid limit of a soil. Géotechnique.
- Edén, P. (1959). Use of a one-point liquid limit procedure. ASTM., STP 254:168-176.
- Polanco, M. (2009). "Principios básicos de mecánica de suelos". Obtenido de: https://isbn.cloud/9789587320176/principios-basicos-de-mecanica-de-suelos/
- Gutiérrez, W. (2004), "Laboratorio de Mecánica de Suelos" Obtenido de: https://es.scribd.com/document/367929751/01-presentacion-del-laboratorio-pdf
- Mora, S. (1998). "Mecánica de Suelos y Diseño de Pavimentos" Obtenido de: http://sisbiblio.utea.edu.pe/cgi-bin/koha/opac-detail.pl?biblionumber=2904
- Juárez, E. y Rico A. (1975). "Mecánica de Suelos Tomo 1 Fundamentos de la Mecánica de Suelos". México: Limusa.
- Braja, M. (2001). Fundamentos de Ingeniería Geotécnica y Principios de Ingeniería de Cimentaciones. Mexico: Internarional Thomson Editores, S.A. de C.V.
- Llique, R. (2003). "Manual de Laboratorio de Mecánica de Suelos". EPI, FIC, Universidad Nacional de Cajamarca.
- Vivar, G. (1995). Diseño y Construcción de Pavimentos. Obtenido de: https://es.scribd.com/document/406088165/Diseno-y-Const-de-Pavimentos-Vivar-pdf.

# **ANEXOS**

# ANEXO 1: Constancia de la ejecución de los ensayos realizados



# UNIVERSIDAD NACIONAL DE SAN MARTIN FACULTAD DE INGENIERIA CIVIL Y ARQUITECTURA Laboratorio de Tecnología del Concreto CUDAD UNIVERSIFICADA Jr. Amorarea 31° Cundra Telefono 042-52-1462 MORALES - PERU



## <u>Constancia de ingreso y ejecucion de ensayos de laboratorio</u>

#### EL QUE SUSCRIBE

Ing. M.Sc Enrique Napoleón Martínez Quiroz, Jefe del laboratorio de Mecánica de Suelos y Pavimentos.

#### HACE CONSTAR:

Que el Bachiller Jesús Manuel Saldaña Vásquez ha ingresado y ha ejecutado ensayos de laboratorio las cuales son:

Contenido de Humedad Natural Límites de Atterberg (limite líquido y limite plástico) Ensayo granulométrico por tamizado. Ensayo Proctor Modificado

Ensayos para poder concluir con su Tesis Titulado: "INFLUENCIA DEL ÍNDICE PLÁSTICO EN EL CONTENIDO ÓPTIMO DE HUMEDAD EN SUELOS ARCILLOSOS APLICADO EN AFIRMADO DE CARRETERAS EN EL DISTRITO DE LAMAS, PROVINCIA DE LAMAS, REGIÓN SAN MARTÍN".

mosmails

Civil

Se expide el presente a solicitud de los interesados.

Tarapoto 16 de mayo del 2,022

Ing. M.Sc. Enrique JEFE DEL LABORATORIO DE NEC. SUELOS Y PAV ING. CIVIL - CIP Nº 29202

TEC. VERIFICO INGRESO Y ENSAYOS REALIZADO POR TE

> o Mori TEC. LAS MEC. SUSCOS ECTOSA Y CONCRETO

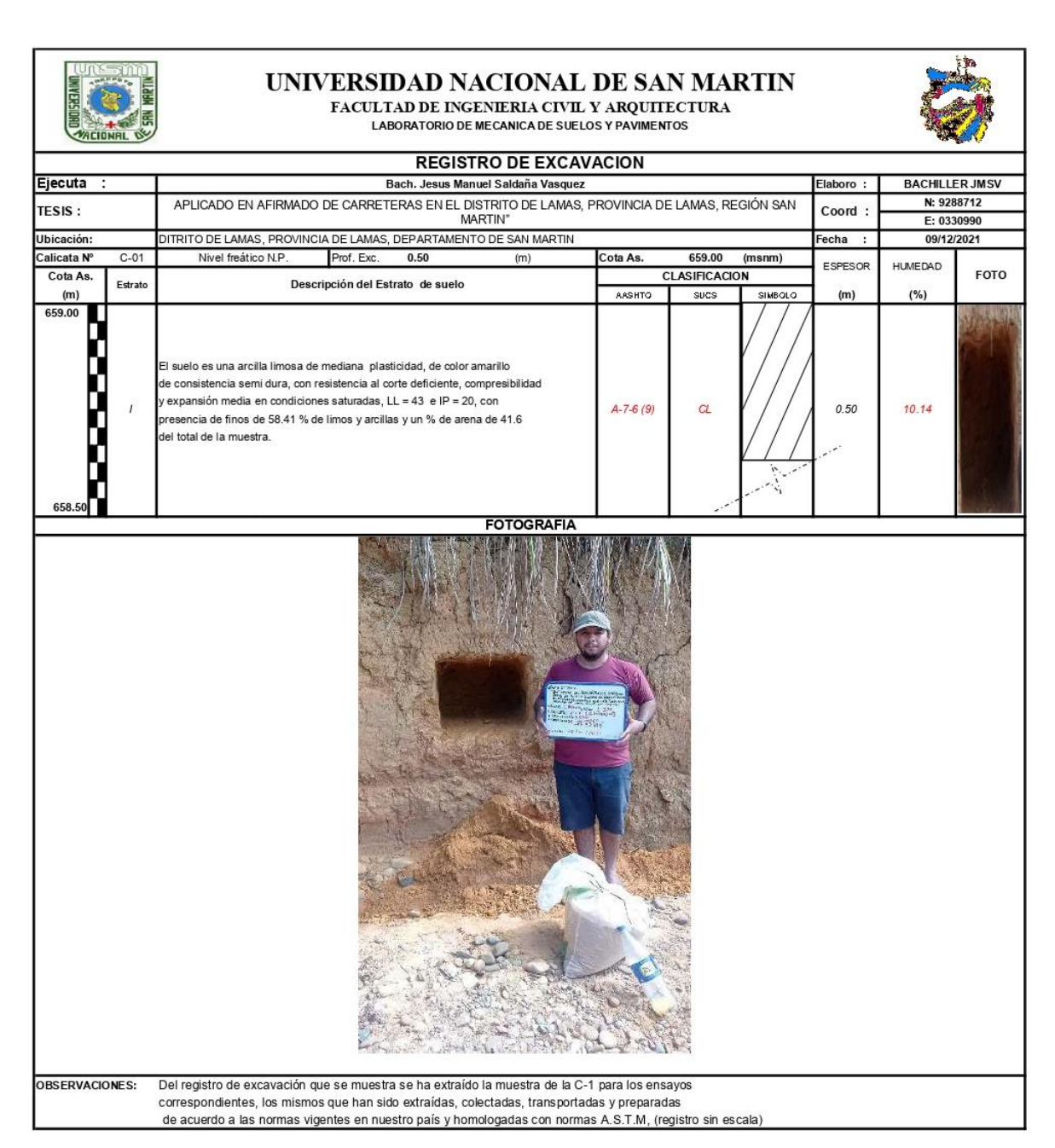
ING. CIVIL: ESP. 0219

Constancia Registrada Nº002

Fotografía Nº 01: Constancia de la ejecución de los ensayos realizados

# ANEXO 2: Resultados de los ensayos realizados

# Calicata N° 01:



Fotografía Nº 02: Registro de excavación de la C-01.

# UNIVERSIDAD PACIDINAL NULL SIN NULL SIN

# UNIVERSIDAD NACIONAL DE SAN MARTIN

FACULTAD DE INGENIERIA CIVIL Y ARQUITECTURA LABORATORIO DE MECANICA DE SUELOS Y PAVIMENTOS



Tesis: "INFLUENCIA DEL ÍNDICE PLÁSTICO EN EL CONTENIDO ÓPTIMO DE HUMEDAD EN SUELOS ARCILLOSOS APLICADO EN AFIRMADO DE CARRETERAS EN EL DISTRITO DE LAMAS, PROVINCIA DE LAMAS, REGIÓN SAN MARTIN"

 Localización del proyecto :
 Distrito de Lamas

 Descripción del Suelo :
 Color Amarillo

 Identificación de la Muestra :
 Talud Lado Izquierdo

 Operador :
 Calicata :

 Calicata :
 C - 1

 Fecha :
 09/12/2021

Tipo de la Muestra: Alterada No alterada X Remoldeada Coordenadas Punto de Muestra:

Extracción de Muestra: Cliente Técnico UNSM Bachiller X N: 9288712 E: 0330990

#### METODO DE ENSAYO PARA DETERMINAR EL CONTENIDO DE HUMEDAD

Determinación del Límite Líquido (N.T.P. 339.127)

Recipiente N°	P - 84	P - 106	P - 205
Peso del recipiente grs.	84.48	92.22	69.09
Peso del suelo húmedo + recipiente grs.	264.43	224.38	186.04
Peso del suelo seco + recipiente grs.	247.71	212.23	175.36
Peso del agua grs.	16.72	12.15	10.68
Peso del suelo seco grs.	163.23	120.01	106.27
Contenido de Humedad %	10.24	10.12	10.05
Promedio de contenido de humedad %		10.14	

Fotografía Nº 03: Ensayo de Contenido de Humedad de la C-01.



FACULTAD DE INGENIERIA CIVIL Y ARQUITECTURA
LABORATORIO DE MECANICA DE SUELOS Y PAVIMENTOS



Tesis: "INFLUENCIA DEL ÍNDICE PLÁSTICO EN EL CONTENIDO ÓPTIMO DE HUMEDAD EN SUELOS ARCILLOSOS APLICADO EN

AFIRMADO DE CARRETERAS EN EL DISTRITO DE LAMAS, PROVINCIA DE LAMAS, REGIÓN SAN MARTIN"

Localización del proyecto : Distrito de Lamas

Descripción del Suelo : Color Amarillo

Identificación de la Muestra : Talud Lado Izquierdo

Profundidad de la Muestra: 0.50 m Calicata: C - 1 Fecha: 09/12/2021

Tipo de la Muestra: Alterada No alterada X Remoldeada Coordenadas Punto de Muestra:

Extracción de Muestra: Cliente Técnico UNSM Bachiller X

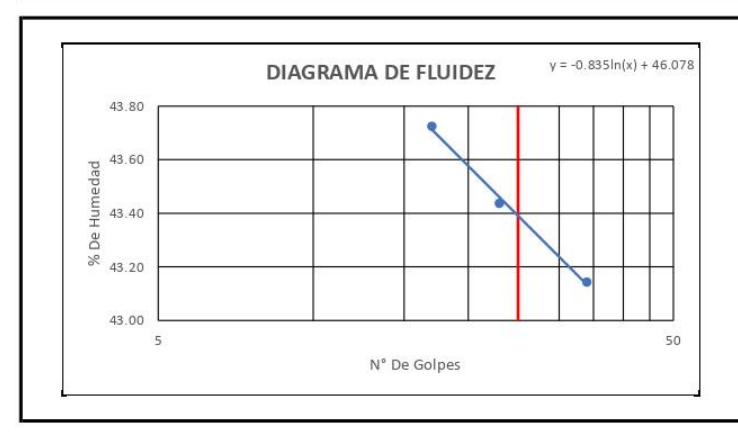
Operador:

N: 9288712 E: 0330990

## METODO DE ENSAYO PARA DETERMINAR EL LIMITE LIQUIDO, LIMITE PLASTICO, E INDICE DE PLASTICIDAD DE SUELOS

### Determinación del Límite Líquido (N.T.P. 339.129)

Recipiente N°	45	78	10
Peso del recipiente grs.	31.05	31.17	31.14
Peso del suelo húmedo + recipiente grs.	48.80	49.20	46.17
Peso del suelo seco + recipiente grs.	43.40	43.74	41.64
Peso del agua grs.	5.40	5.46	4.53
Peso del suelo seco grs.	12.35	12.57	10.50
Contenido de Humedad %	43.72	43.44	43.14
Número de Golpes	17	23	34



Límite Líquido (%)	43
Límite Plástico (%)	23
Índice de Plasticidad Ip (%)	20

#### Determinación del Límite Plástico(N.T.P. 339.131)

Determinacion dei Limite Plastico(N.T.P.	339.131)			
Recipiente N°	13	3	4	
Peso del recipiente grs.	15.47	15.39	15.53	
Peso del suelo húmedo + recipiente grs.	16.85	17.13	17.57	
Peso del suelo seco + recipiente grs.	16.59	16.80	17.19	
Peso del agua grs.	0.26	0.330	0.38	
Peso del suelo seco grs.	1.12	1.41	1.66	
Contenido de Humedad %	23.21	23.40	22.89	
Promedio del contenido de humedad LP		23.17		

Fotografía Nº 04: Ensayo de Límites de Atterberg (Límite Líquido y Plástico) de la C-01.



FACULTAD DE INGENIERIA CIVIL Y ARQUITECTURA



#### LABORATORIO DE MECANICA DE SUELOS Y PAVIMENTOS ANALISIS GRANULOMETRICO POR TAMIZADO - N.T.P. 339.128 A.- DATOS GENERALES Tesis: "INFLUENCIA DEL ÍNDICE PLÁSTICO EN EL CONTENIDO ÓPTIMO DE HUMEDAD EN SUELOS ARCILLOSOS APLICADO EN AFIRMADO DE CARRETERAS EN EL DISTRITO DE LAMAS, PROVINCIA DE LAMAS, REGIÓN SAN MARTIN" Localización del proyecto : Descripción del Suelo : Distrito de Lamas Color Amarillo Profundidad de la Muestra: 0.50 m Identificación de la Muestra: Talud Lado Izquierdo Operador: Calicata: C-1 09/12/2021 X Coordenadas Punto de Muestra: Tipo de la Muestra: Remoldeada Bachiller X N- 9288712 Extracción de Muestra: Cliente Técnico UNSM E: 0330990 **B.- DATOS TECNICOS** ANALISIS GRANULOMETRICO POR TAMIZADO N.T.P.339.128 Error Permitido% = 0.00% DATOS TECNICOS DEL ENSAYO Y RESULTADOS TAMICES % Retenido % Retenido % Que Retenido Número del Recipiente Corregido Parcial Acumulado pasa Tamiz 5' 127.00 Peso del Recipiente: 84.48 Tamiz 4" 101.60 Peso del recipiente + suelo seco: 167.67 Tamiz 3" 76 20 Peso del suelo seco: 83.19 Tamiz 2" 50.80 Peso del suelo seco antes del lavado: 200.00 Tamiz 1 1/2" 38.10 Resultados Obtenidos: 10.14 Tamiz 1" 25.40 Contenido de humedad natural Tamiz 3/4" 19.050 Límite Líquido 23 20 Tamiz 1/2" 12.700 Límite Plástico Tamiz 3/8 9.525 Índice Plástico 6.350 0.00 Tamiz 1/4" Grava 41.60 4.760 Arena 100.00 Limos y Arcillas 2.380 99.98 99.89 N° 10 2.000 Porcentajes que pasan : 1.190 0.840 0.19 0.28 0.19 0.12 N° 16 0.10 % Pasa el Tamiz Nº 4 100.00 % 0.14 % Pasa el Tamiz N° 10 99.98 % 98.81 % 0.590 0.63 0.32 0.57 99.43 % Pasa el Tamiz N° 40 0.63 1.25 2.01 58.41 % N° 40 0.426 1.25 0.63 1.20 2.20 98 81 % Pasa el Tamiz Nº 200 N° 50 N° 60 97.80 99.44 0.297 1.01 D60 3.08 7.28 15.46 96.92 1.76 0.88 97.82 0.250 1.76 N° 80 N° 100 0.177 0.149 8.40 16.36 8.40 16.36 4 20 67.47 1.43 Din 8.18 84.54 Cc (Coeficiente de curvatura) : N° 200 0.074 52.27 52.27 26.14 41.60 58.41 Cu (Coeficiente de Uniformidad): 147 116.81 116.81 58 41 Fondo 0.010 100 0.00 Clasificación S.U.C.S. A-7-6 (9) 200.00 200.00 Clasificación AASHTO Curva Granulométrica 100.00 90.00 80.00 60.00 50.00 40.00 30.00 10.00 100.00 10.00 1.00 0.10 0.01

Fotografía Nº 05: Ensayo de Análisis granulométrico por tamizado de la C-01.



FACULTAD DE INGENIERIA CIVIL Y ARQUITECTURA LABORATORIO DE MECANICA DE SUELOS Y PAVIMENTOS



"INFLUENCIA DEL ÍNDICE PLÁSTICO EN EL CONTENIDO ÓPTIMO DE HUMEDAD EN SUELOS ARCILLOSOS APLICADO EN Tesis: AFIRMADO DE CARRETERAS EN EL DISTRITO DE LAMAS, PROVINCIA DE LAMAS, REGIÓN SAN MARTIN'

Localización del proyecto : Distrito de Lamas Descripción del Suelo: Color Amarillo Identificación de la Muestra: Talud Lado Izquierdo

Operador:

Calicata: C-1 Fecha: 09/12/2021

Profundidad de la Muestra: 0.50 m

Tipo de la Muestra:

Alterada

No alterada X Remoldeada Bachiller

Coordenadas Punto de Muestra:

N: 9288712

Extracción de Muestra:

Cliente

Técnico UNSM

E: 0330990

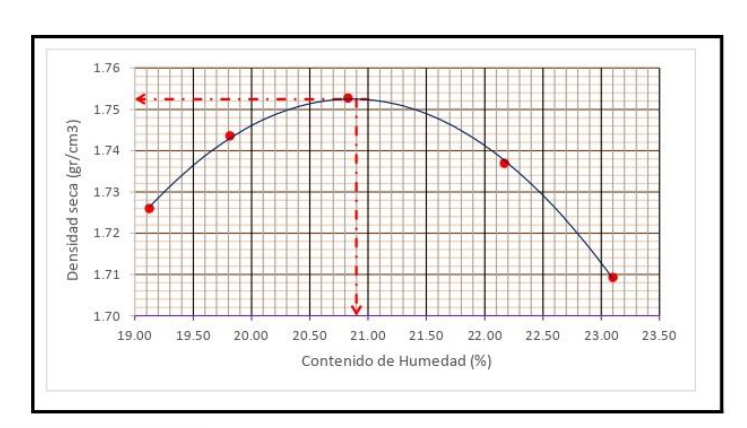
METODO DE ENSAYO PARA DETERMINAR EL PROCTOR MODIFICADO

Determinación del Proctor Modificado (N.T.P. 339.149)

METODO DE COMPACTACIÓN:

2123 Volumen del Molde :

PUNTO	P1	P2	P3	P4	P5
N° Capas	5	5	5	5	5
N° Golpes por capa	25	25	25	25	25
Porcentaje de Agua	4 %	6 %	8 %	10 %	12 %
Peso Suelo + Molde	7135	7205	7266	7275	7237
Peso Del Molde	2770	2770	2770	2770	2770
Peso Suelo Húmedo Compactado	4365	4435	4496	4505	4467
Densidad Húmeda	2.06	2.09	2.12	2.12	2.10
Capsula Nro.	P - 84	P - 106	P - 205	P - 76	P - 77
Peso De La Capsula	84.48	92.22	69.09	108.02	100.59
Peso Suelo Húmedo +Capsula	147.64	175.30	185.63	228.37	279.53
Peso Suelo Seco + Capsula	137.50	161.56	165.54	206.53	245.95
Peso De Agua	10.14	13.74	20.09	21.84	33.58
Peso Del Suelo Seco	53.02	69.34	96.45	98.51	145.36
Contenido Humedad	19.12	19.82	20.83	22.17	23.10
Densidad Seca	1.726	1.744	1.753	1.737	1.709



Densidad Seca Máxima	1.75
Contenido de Humedad Óptima	20.90

Fotografía Nº 06: Ensayo de Proctor Modificado de la C-01.

# Calicata N° 02:



# UNIVERSIDAD NACIONAL DE SAN MARTIN



FACULTAD DE INGENIERIA CIVIL Y ARQUITECTURA LABORATORIO DE MECANICA DE SUELOS Y PAVIMENTOS

				REGIS	TRO DE EXC	AVACION					
Ejecuta :		Bach. Jesus Manuel Saldaña Vasquez								BACHILLER JMSV	
TESIS :		APLICADO EN AFIRMADO DE CARRETERAS EN EL DISTRITO DE LAMAS, PROVINCIA DE LAMAS, REGIÓN SAN							Coord :	N: 92	38781
ILSIS .		Vests (1909) Market Section Accounts of the Control		1	WARTIN"	19-X-0411-19-19-19-19-19-19-19-19-19-19-19-19-1			Coolu .	E: 03	31401
Ubicación:		DITRITO DE LAMAS, PROVIN	ICIA DE LAMAS	, DEPARTAMEI	NTO DE SAN MARTIN	V			Fecha :	09/12	/2021
Calicata Nº	C-02	Nivel freático N.P.	Prof. Exc.	0.50	(m)	Cota As.	662.00	(msnm)	ESPESOR	HUMEDAD	47.000000.0000
Cota As.	Estrato	De	scripción del Es	trato de suelo		(	CLASIFICACI	ON	] Lar Look	HOMEDAD	FOTO
(m)	Locato	DU.	scripcion del La	italo de sucio	<u>'</u>	AASHTO	SUCS	SIMBOLO	(m)	(%)	6
662.00 661.50	Į.	El suelo es una arena pobrem de consistencia semi dura, co y expansión muy baja en con presencia de finos de 4.2 % di del total de la muestra.	n resistencia al d diciones saturad	corte deficiente, as, LL = - e IP :	compresibilidad = NP, con	A-3 (0)	SP		0.50	7.18	
		-			FOTOGRAFIA	A					

NOTA: los resultados correspondientes de las calicatas N° 02, 03, 07 y 11 para la obtención del Contenido Optimo de Humedad y la Densidad Seca Máxima no se efectuaron ya que según el análisis granulométrico realizado no pertenecen a la clasificación de Suelo Arcilloso siendo este el tema de investigación.



OBSERVACIONES: Del registro de excavación que se muestra se ha extraído la muestra de la C-2 para los ensayos correspondientes, los mismos que han sido extraídas, colectadas, transportadas y preparadas de acuerdo a las normas vigentes en nuestro país y homologadas con normas A.S.T.M, (registro sin escala)

Fotografía  $N^{\circ}$  07: Registro de excavación de la C-02.



FACULTAD DE INGENIERIA CIVIL Y ARQUITECTURA LABORATORIO DE MECANICA DE SUELOS Y PAVIMENTOS



Tesis: "INFLUENCIA DEL ÍNDICE PLÁSTICO EN EL CONTENIDO ÓPTIMO DE HUMEDAD EN SUELOS ARCILLOSOS APLICADO EN AFIRMADO DE CARRETERAS EN EL DISTRITO DE LAMAS, PROVINCIA DE LAMAS, REGIÓN SAN MARTIN"

Localización del proyecto : Distrito de Lamas

Descripción del Suelo : Color Cobrizo y Blanco
Identificación de la Muestra : Cantera: "San Cesar"

 Operador:
 Profundidad de la Muestra:
 0.50 m

 Operador:
 Calicata:
 C - 2
 Fecha:
 09/12/2021

Tipo de la Muestra: Alterada No alterada X Remoldeada Coordenadas Punto de Muestra:

Extracción de Muestra: Cliente Técnico UNSM Bachiller X

N: 9288781 E: 0331401

### METODO DE ENSAYO PARA DETERMINAR EL CONTENIDO DE HUMEDAD

## Determinación del Límite Líquido (N.T.P. 339.127)

Recipiente N°	P - 26	P - 44	P-90	
Peso del recipiente grs.	100.04	101.92	84.57	
Peso del suelo húmedo + recipiente grs.	211.68	245.42	197.77	
Peso del suelo seco + recipiente grs.	204.43	235.66	190.08	
Peso del agua grs.	7.25	9.76	7.69	
Peso del suelo seco grs.	104.39	133.74	105.51	
Contenido de Humedad %	6.95	7.30	7.29	
Promedio de contenido de humedad %		7.18		

Fotografía N° 08: Ensayo de Contenido de Humedad de la C-02.



FACULTAD DE INGENIERIA CIVIL Y ARQUITECTURA LABORATORIO DE MECANICA DE SUELOS Y PAVIMENTOS



#### LABORATORIO DE MECANICA DE SUELOS Y PAVIMENTOS ANALISIS GRANULOMETRICO POR TAMIZADO - N.T.P. 339.128 - ASTM D - 423 A.- DATOS GENERALES Tesis: "INFLUENCIA DEL ÍNDICE PLÁSTICO EN EL CONTENIDO ÓPTIMO DE HUMEDAD EN SUELOS ARCILLOSOS APLICADO EN AFIRMADO DE CARRETERAS EN EL DISTRITO DE LAMAS, PROVINCIA DE LAMAS, REGIÓN SAN MARTIN" Localización del proyecto : Descripción del Suelo : Distrito de Lamas Color Cobrizo y Blanco Profundidad de la Muestra: 0.50 m Identificación de la Muestra : Operador: Calicata: C-2 09/12/2021 Tipo de la Muestra: Remoldeada Alterada No alterada X Coordenadas Punto de Muestra: Bachiller X Extracción de Muestra: Técnico UNSM N: 9288781 Cliente E: 0331401 B.- DATOS TECNICOS ANALISIS GRANULOMETRICO POR TAMIZADO N.T.P.339.128 Error Permitido% = 0.00% Permitido % Retenido % Retenido % Que DATOS TECNICOS DEL ENSAYO Y RESULTADOS Peso Peso Ret. Corregido Parcial Acumulado Número del Recipiente Retenido pasa (mm) Tamiz 5" 127.00 Peso del Recipiente: 100.04 Tamiz 4" 101.60 Peso del recipiente + suelo seco: 291.64 Tamiz 3" 76.20 Peso del suelo seco 191.60 Tamiz 2" 50.80 Peso del suelo seco antes del lavado: 200 00 Resultados Obtenidos: Tamiz 1 1/2" 38.10 Contenido de humedad natural 7.18 25.40 Tamiz 1' Tamiz 3/4" Límite Líquido 19.050 NP 12.700 9.525 Tamiz 1/2' Límite Plástico Tamiz 3/8" indice Plástico NP Tamiz 1/4" Grava 0.00 Arena 4.760 Nº 8 2.380 100.00 Limos y Arcillas 4.20 0.64 N° 10 2.000 127 1 27 0.64 99 37 Porcentajes que pasan : 98.25 % Pasa el Tamiz Nº 4 100.00 % N° 16 2.23 2.37 3.95 2.23 1.190 1.12 1.75 N° 20 N° 30 1.19 97.07 95.09 % Pasa el Tamiz N° 10 % Pasa el Tamiz N° 40 99.37 % 92.25 % 3 95 491 0.590 2.85 92.25 % Pasa el Tamiz Nº 200 7.76 4.20 0.426 5.69 5.69 N° 50 N° 60 0.297 15.11 15.11 7.56 5.87 84.69 78.83 95.17 0.250 11.73 11.73 21.18 D30 84.87 30.18 21.66 0.17730.18 N° 100 0.149 21.66 10.83 47.10 52 91 Cc (Coeficiente de curvatura) : 3 59 N° 200 97.41 48.71 0.074 97.41 95.80 4.20 Cu (Coeficiente de Uniformidad): 4.51 Fondo 0.00 Clasificación S.U.C.S. SP 0.010 8.40 100 TOTA 200.00 200.00 Clasificación AASHTO A-3 (0) Curva Granulométrica 100.00 90.00 80.00 70.00 60.00 50.00 40.00 30.00 20.00 10.00 0.00 100.00 10.00 1.00 0.10 0.01

Fotografía N° 09: Ensayo de Análisis granulométrico por tamizado de la C-02.

# Calicata N° 03:



## UNIVERSIDAD NACIONAL DE SAN MARTIN



FACULTAD DE INGENIERIA CIVIL Y ARQUITECTURA LABORATORIO DE MECANICA DE SUELOS Y PAVIMENTOS

				REGI	STRO DE EXC	AVACION			20 10	4	
Ejecuta :	01	Bach. Jesus Manuel Saldaña Vasquez							Elaboro :	BACHILL	ERJMSV
TESIS:		APLICADO EN AFIRMAD	DISTRITO DE LAMA	AS, PROVINCIA D	E LAMAS, F	REGIÓN SAN	Coord :	N: 92	88781		
11233					MARTIN*	30	- 69		Coolu .	E: 03	31411
Ubicación:		DITRITO DE LAMAS, PROVIN	N			Fecha :	09/12	2/2021			
Calicata Nº	C-03	Nivel freático N.P.	Prof. Exc.	0.50	(m)	Cota As.	662.00	(msnm)	ESPESOR	HUMEDAD	
Cota As.	s. Estrato Descripción del Estrato de suelo				lo.		CLASIFICAC	ON	Lui Luon	TIOMEDAD	FOTO
(m)	m)				AASHTO	SUCS	SIMBOLO	(m)	(%)		
662.00	I	El suelo es una arena pobrem de consistencia semi dura, cor y expansión muy baja en conc presencia de finos de 4 % de l del total de la muestra.	n resistencia al o diciones saturada	corte deficiente as, LL = - e IP	e, compresibilidad P = NP, con	A-3 (0)	SP	111111	0.50	4.83	

FOTOGRAFIA

NOTA: los resultados correspondientes de las calicatas N° 02, 03, 07 y 11 para la obtención del Contenido Optimo de Humedad y la Densidad Seca Máxima no se efectuaron ya que según el análisis granulométrico realizado no pertenecen a la clasificación de Suelo Arcilloso siendo este el tema de investigación.



OBSERVACIONES:

Del registro de excavación que se muestra se ha extraído la muestra de la C-3 para los ensayos correspondientes, los mismos que han sido extraídas, colectadas, transportadas y preparadas de acuerdo a las normas vigentes en nuestro país y homologadas con normas A.S.T.M, (registro sin escala)

Fotografía  $N^{\circ}$  10: Registro de excavación de la C-03.



FACULTAD DE INGENIERIA CIVIL Y ARQUITECTURA LABORATORIO DE MECANICA DE SUELOS Y PAVIMENTOS



Tesis: "INFLUENCIA DEL ÍNDICE PLÁSTICO EN EL CONTENIDO ÓPTIMO DE HUMEDAD EN SUELOS ARCILLOSOS APLICADO EN

AFIRMADO DE CARRETERAS EN EL DISTRITO DE LAMAS, PROVINCIA DE LAMAS, REGIÓN SAN MARTIN"

Localización del proyecto : Distrito de Lamas

Descripción del Suelo : Color Blanco

 Descripción del Suelo :
 Color Blanco

 Identificación de la Muestra :
 Cantera: "San Cesar"

 Operador :
 Calicata :

 Calicata :
 C - 3

 Fecha :
 09/12/2021

Tipo de la Muestra: Alterada No alterada X Remoldeada Coordenadas Punto de Muestra:

Extracción de Muestra: Cliente Técnico UNSM Bachiller X N: 9288781

E: 0331411

## METODO DE ENSAYO PARA DETERMINAR EL CONTENIDO DE HUMEDAD

Determinación del Límite Líquido (N.T.P. 339.127)

Recipiente N°	P - 200	P - 208	P - 303
Peso del recipiente grs.	68.21	66.67	64.08
Peso del suelo húmedo + recipiente grs.	193.36	186.05	204.40
Peso del suelo seco + recipiente grs.	187.61	180.59	197.86
Peso del agua grs.	5.75	5.46	6.54
Peso del suelo seco grs.	119.40	113.92	133.78
Contenido de Humedad %	4.82	4.79	4.89
Promedio de contenido de humedad %	333	4.83	

Fotografía Nº 11: Ensayo de Contenido de Humedad de la C-03.



FACULTAD DE INGENIERIA CIVIL Y ARQUITECTURA LABORATORIO DE MECANICA DE SUELOS Y PAVIMENTOS



## ANALISIS GRANULOMETRICO POR TAMIZADO - N.T.P. 339.128 - ASTM D - 423

### A.- DATOS GENERALES

"INFLUENCIA DEL ÍNDICE PLÁSTICO EN EL CONTENIDO ÓPTIMO DE HUMEDAD EN SUELOS ARCILLOSOS APLICADO EN AFIRMADO DE Tesis:

CARRETERAS EN EL DISTRITO DE LAMAS, PROVINCIA DE LAMAS, REGIÓN SAN MARTIN"

Distrito de Lamas Localización del proyecto :

Descripción del Suelo : Color Blanco Profundidad de la Muestra : 0.50 m 09/12/2021 Identificación de la Muestra : Cantera Operador: Calicata: C-3 Fecha:

Tipo de la Muestra: No alterada X Remoldeada Coordenadas Punto de Muestra:

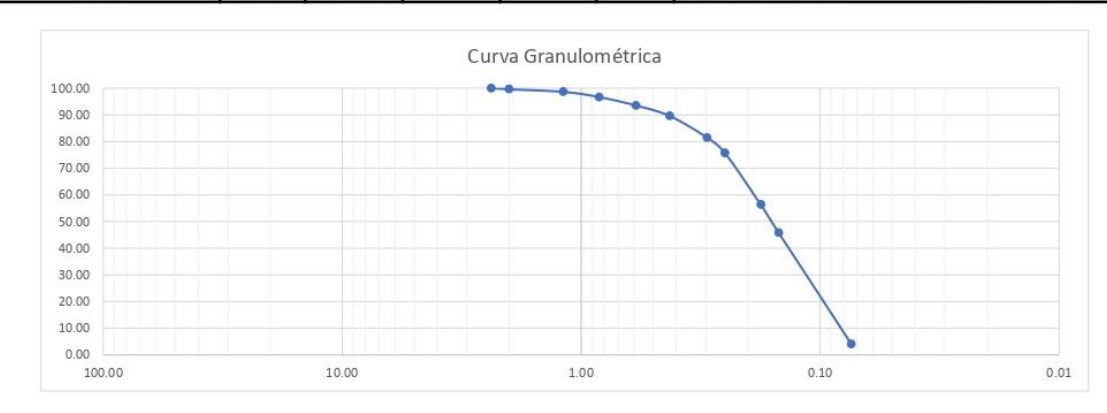
Bachiller X N: 9288781 E: 0331411 Extracción de Muestra: Técnico UNSM Cliente

#### B.- DATOS TECNICOS

ANALISIS GRANULOMETRICO POR TAMIZADO N.T.P.339.128

Error Permitido% =	0.00%	Permitido

TAMI	CES	Peso	Peso Ret.	% Retenido	% Retenido	% Que	DATOS TECNICOS DEL EN	ISAYO Y RE	SULTADOS
Ø	(mm)	Retenido	Corregido	Parcial	Acumulado	pasa	Número del Recipiente:		P-208
Tamiz 5"	127.00						Peso del Recipiente:		66.67
Tamiz 4"	101.60						Peso del recipiente + suelo seco:		258.66
Tamiz 3"	76.20						Peso del suelo seco :		191.99
Tamiz 2"	50.80						Peso del suelo seco antes del lavado	):	200.00
Tamiz 1 1/2"	38.10	98					Resultados O	Obtenidos:	
Tamiz 1"	25.40						Contenido de humedad natural	=	4.83
Tamiz 3/4"	19.050						Límite Líquido	=	11 <del></del>
Tamiz 1/2"	12.700	5 5					Límite Plástico	=	NP
Tamiz 3/8"	9.525	8 8					Índice Plástico	=	NP
Tamiz 1/4"	6.350	11.					Grava	8 =	0.00
N° 4	4.760						Arena	=	96
N° 8	2.380					100.00	Limos y Arcillas	11=	4
N° 10	2.000	0.75	0.75	0.38	0.38	99.63	Porcentajes o	ue pasan :	8
N° 16	1.190	1.89	1.89	0.95	1.32	98.68	% Pasa el Tamiz N° 4	=	100.00 %
N° 20	0.840	4.04	4.04	2.02	3.34	96.66	% Pasa el Tamiz N° 10	=	99.63 %
N° 30	0.590	6.26	6.26	3.13	6.47	93.53	% Pasa el Tamiz N° 40	=	89.62 %
N° 40	0.426	7.82	7.82	3.91	10.38	89.62	% Pasa el Tamiz N° 200	=	4.01 %
N° 50	0.297	16.36	16.36	8.18	18.56	81.44	D60 :	=	93.66
N° 60	0.250	11.53	11.53	5.77	24.33	75.68	D30 :	=	81.63
N° 80	0.177	38.67	38.67	19.34	43.66	56.34	D10:	=	18.51
N° 100	0.149	21.00	21.00	10.50	54.16	45.84	Cc (Coeficiente de curvatura):	=	3.84
N° 200	0.074	83.67	83.67	41.84	96.00	4.01	Cu (Coeficiente de Uniformidad):	S ==	5.06
Fondo	0.010	8.01	8.01	4.01	100	0.00	Clasificación S.U.C.S.	=	SP
TOT	AL	200.00	200.00				Clasificación AASHTO	=	A-3 (0)



Fotografía Nº 12: Ensayo de Análisis granulométrico por tamizado de la C-03.

# Calicata N° 04:





				REGIS	TRO DE EXC.	AVACION					
jecuta :	-	0		Bach, Jesus Ma	nuel Saldaña Vasqu	ıez			Elaboro:	BACHILL	ERJMSV
ESIS:		APLICADO EN AFIRMADO DE CARRETERAS EN EL DISTRITO DE LAMAS, PROVINCIA DE LAMAS, REGIÓN SA							Coord :	N: 9288887	
E313 .				N	MARTIN"	10	100		Coold .	E: 033	31270
bicación:		DITRITO DE LAMAS, PROVIN	ICIA DE LAMAS	, DEPARTAMEN	ITO DE SAN MARTIN	1			Fecha :	09/12	/2021
alicata Nº	C-04	Nivel freático N.P.	Prof. Exc.	0.50	(m)	Cota As.	662.00	(msnm)	ESPESOR	HUMEDAD	
Cota As.	Estrato Descripción del Estrato de suelo					C	LASIFICACI	ION	Lareson	HOWELAD	FOTO
(m)						AASHTO	SUCS	SIMBOLO	(m)	(%)	
661.50	i	El suelo es una arcilla limosa de consistencia semi dura, cor y expansión alta en condicion presencia de finos de 63.785 del total de la muestra.	n resistencia al c es saturadas, LL	orte deficiente, o = 46 e IP = 22,	compresibilidad con	A-7-6 (12)	α		0.50	12.39	
	-				FOTOGRAFIA						



Del registro de excavación que se muestra se ha extraído la muestra de la C-4 para los ensayos correspondientes, los mismos que han sido extraídas, colectadas, transportadas y preparadas de acuerdo a las normas vigentes en nuestro país y homologadas con normas A.S.T.M, (registro sin escala)

Fotografía Nº 13: Registro de excavación de la C-04.





FACULTAD DE INGENIERIA CIVIL Y ARQUITECTURA LABORATORIO DE MECANICA DE SUELOS Y PAVIMENTOS

Tesis: "INFLUENCIA DEL ÍNDICE PLÁSTICO EN EL CONTENIDO ÓPTIMO DE HUMEDAD EN SUELOS ARCILLOSOS APLICADO EN AFIRMADO DE CARRETERAS EN EL DISTRITO DE LAMAS, PROVINCIA DE LAMAS, REGIÓN SAN MARTIN"

Localización del proyecto : Distrito de Lamas

Descripción del Suelo : Color Amarillo

Identificación de la Muestra : Cantera: "San Cesar"

 Operador :
 Profundidad de la Muestra :
 0.50 m

 Calicata :
 C - 4
 Fecha :
 09/12/2021

Tipo de la Muestra:

Alterada No alterada X Remoldeada Coordenadas Punto de Muestra:

Extracción de Muestra: Cliente Técnico UNSM Bachiller X

N: 9288887 E: 0331270

## METODO DE ENSAYO PARA DETERMINAR EL CONTENIDO DE HUMEDAD

Determinación del Límite Líquido (N.T.P. 339.127)

Recipiente N°	P - 83	P - 87	P - 116
Peso del recipiente grs.	92.88	86.69	89.04
Peso del suelo húmedo + recipiente grs.	246.57	231.88	255.50
Peso del suelo seco + recipiente grs.	229.56	215.87	237.23
Peso del agua grs.	17.01	16.01	18.27
Peso del suelo seco grs.	136.68	129.18	148.19
Contenido de Humedad %	12.45	12.39	12.33
Promedio de contenido de humedad %		12.39	

Fotografía Nº 14: Ensayo de Contenido de Humedad de la C-04.



FACULTAD DE INGENIERIA CIVIL Y ARQUITECTURA LABORATORIO DE MECANICA DE SUELOS Y PAVIMENTOS



Tesis : "INFLUENCIA DEL ÍNDICE PLÁSTICO EN EL CONTENIDO ÓPTIMO DE HUMEDAD EN SUELOS ARCILLOSOS APLICADO EN

AFIRMADO DE CARRETERAS EN EL DISTRITO DE LAMAS, PROVINCIA DE LAMAS, REGIÓN SAN MARTIN"

Localización del proyecto : Distrito de Lamas Descripción del Suelo : Color Amarillo Identificación de la Muestra: Talud Lado Izquierdo

Operador:

Profundidad de la Muestra: 0.50 m Calicata: C-5

09/12/2021 Fecha:

Tipo de la Muestra: Alterada No alterada X Remoldeada Coordenadas Punto de Muestra:

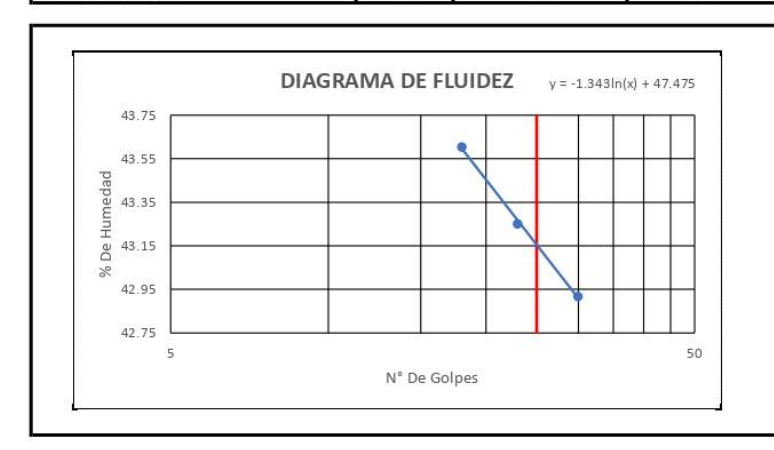
Extracción de Muestra: Cliente Técnico UNSM Bachiller

N:9288712 E: 0330990

## METODO DE ENSAYO PARA DETERMINAR EL LIMITE LIQUIDO, LIMITE PLASTICO, E INDICE DE PLASTICIDAD DE SUELOS

### Determinación del Límite Líquido (N.T.P. 339.129)

Recipiente N°	P-5	G-2	P-6
Peso del recipiente grs.	31.17	31.29	31.00
Peso del suelo húmedo + recipiente grs.	48.78	44.34	51.88
Peso del suelo seco + recipiente grs.	43.44	40.40	45.61
Peso del agua grs.	5.35	3.94	6.27
Peso del suelo seco grs.	12.27	9.11	14.61
Contenido de Humedad %	43.60	43.25	42.92
Número de Golpes	18	23	30



Límite Líquido (%)	43
Límite Plástico (%)	22
Índice de Plasticidad Ip (%)	21

#### Determinación del Límite Plástico(N.T.P. 339.131)

Recipiente N°	T - 6	T - 12A	T - 154
Peso del recipiente grs.	31.24	31.35	41.57
Peso del suelo húmedo + recipiente grs.	32.85	33.32	43.95
Peso del suelo seco + recipiente grs.	32.56	32.96	43.54
Peso del agua grs.	0.29	0.360	0.41
Peso del suelo seco grs.	1.32	1.61	1.97
Contenido de Humedad %	21.97	22.36	20.81
Promedio del contenido de humedad LP		21.71	

Fotografía N° 15: Ensayo de Límites de Consistencia de la C-04.

MATCH MAT		U	FAC	SIDAD N CULTAD DE IN ABORATORIO DE	IGENIERIA C	IVIL Y ARG		
			ANALISIS G	RANULOME	TRICO POF	TAMIZA	DO - N.T.P. 339.128	
A DATOS GEN	ERALES							
Tesis :	"INFLUENCI						MEDAD EN SUELOS ARCILLOSOS APLICADO EN AFI NCIA DE LAMAS, REGIÓN SAN MARTIN''	IRMADO DE
Localización de		Distrito de L						
Descripción del Identificación d		Color Amari Cantera	illo		Operador :		Profundidad de la Muestra: 0.5 Calicata: C - 4 Fecha:	50 m 09/12/2021
Tipo de la Mues	tra:		Alterada	☐ No a	alterada	X Re	moldeada Coordenadas Punto de Muestra:	
Extracción de N	luestra:		Cliente	Técni	co UNSM		Bachiller X	N: 9288887
B DATOS TEC	NICOS							E: 0331270
ANALISIS GRANU		R TAMIZADO	N.T.P.339.128				Error Permitido% = 0.00% Pe	rmitido
TAM		Peso	Peso Ret.	% Retenido	% Retenido	% Que	DATOS TECNICOS DEL ENSAYO Y RESUL	TADOS
Ø	(mm)	Retenido	Corregido	Parcial	Acumulado	pasa	Número del Recipiente:	P 116
Tamiz 5"	127.00				0		Peso del Recipiente:	89.04
Tamiz 4"	101.60						Peso del recipiente + suelo seco:	289.04
Tamiz 3"	76.20	-					Peso del suelo seco :	72.43
Tamiz 2" Tamiz 1 1/2"	50.80 38.10	-					Peso del suelo seco antes del lavado:  Resultados Obtenidos:	200.00
Tamiz 1"	25.40						Contenido de humedad natural =	12.39
Tamiz 3/4"	19.050	_					Límite Líquido =	46
Tamiz 1/2"	12.700						Límite Plástico =	24
Tamiz 3/8"	9.525						Índice Plástico =	22
Tamiz 1/4" N° 4	6.350 4.760	-		-		100 00	Grava = Arena =	0.00 36.22
N° 8	2.380	0.03	0.03	0.02	0.02	99.99	Limos y Arcillas =	63.79
N° 10	2.000	0.03	0.03	0.02	0.03	99.97	Porcentajes que pasan :	
N° 16	1.190	0.19	0.19	0.10	0.13	99.88		00.00 %
N° 20	0.840	0.43	0.43	0.22	0.34	99.66		9.97 %
N° 30	0.590	0.94	0.94	0.47	0.81	99.19		98.38 %
N° 40 N° 50	0.426 0.297	1.63 3.23	1.63 3.23	0.82 1.62	1.63 3.24	98.38 96.76	% Pasa el Tamiz N° 200 = 6 D <sub>60</sub> : =	99.21
N° 60	0.250	2.75	2.75	1.38	4.62	95.39	D <sub>30</sub> : = —	96.80
N° 80	0.177	9.98	9.98	4.99	9.61	90.40	D10: =	71.01
N° 100	0.149	11.55	11.55	5.78	15.38	84.62	Cc (Coeficiente de curvatura) : =	1.33
N° 200	0.074	41.67	41.67	20.84	36.22	63.79	Cu (Coeficiente de Uniformidad):	1.40
Fondo TO	0.010	127.57 200.00	127.57 200.00	63.79	100	0.00	Clasificación S.U.C.S. =	CL A-7-6 (12)
	IAL	200.00	200.00				Clasificación AASHTO = P	4-7-6 (12)
100.00				Cur	va Granulo	métrica		
90.00								
80.00								
70.00								
60.00							<b>&gt;</b>	
50.00								
40.00								
30.00								
20.00								
10.00								
0.00								4
100	0.00		10.00		1.00		0.10	0.01

Fotografía N° 16: Ensayo de Análisis granulométrico por tamizado de la C-04.



FACULTAD DE INGENIERIA CIVIL Y ARQUITECTURA LABORATORIO DE MECANICA DE SUELOS Y PAVIMENTOS



"INFLUENCIA DEL ÍNDICE PLÁSTICO EN EL CONTENIDO ÓPTIMO DE HUMEDAD EN SUELOS ARCILLOSOS APLICADO EN AFIRMADO DE CARRETERAS EN EL DISTRITO DE LAMAS, PROVINCIA DE LAMAS, REGIÓN SAN MARTIN" Tesis:

Localización del proyecto : Distrito de Lamas Descripción del Suelo : Color Amarillo

Profundidad de la Muestra: 0.50 m Identificación de la Muestra: Cantera Operador : Calicata: C-4 Fecha: 09/12/2021

Tipo de la Muestra: X Remoldeada Coordenadas Punto de Muestra: Alterada No alterada

Técnico UNSM Bachiller X Extracción de Muestra: Cliente

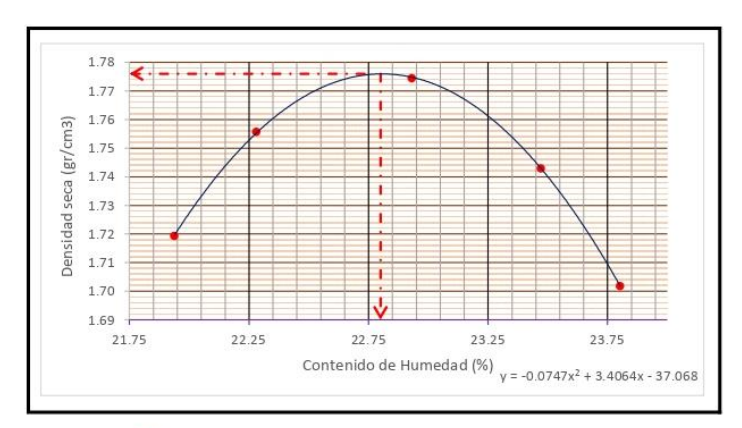
N: 9288887 E: 0331270

### METODO DE ENSAYO PARA DETERMINAR EL PROCTOR MODIFICADO

Determinación del Proctor Modificado (N.T.P. 339.149)

METODO DE COMPACTACIÓN: Volumen del Molde :

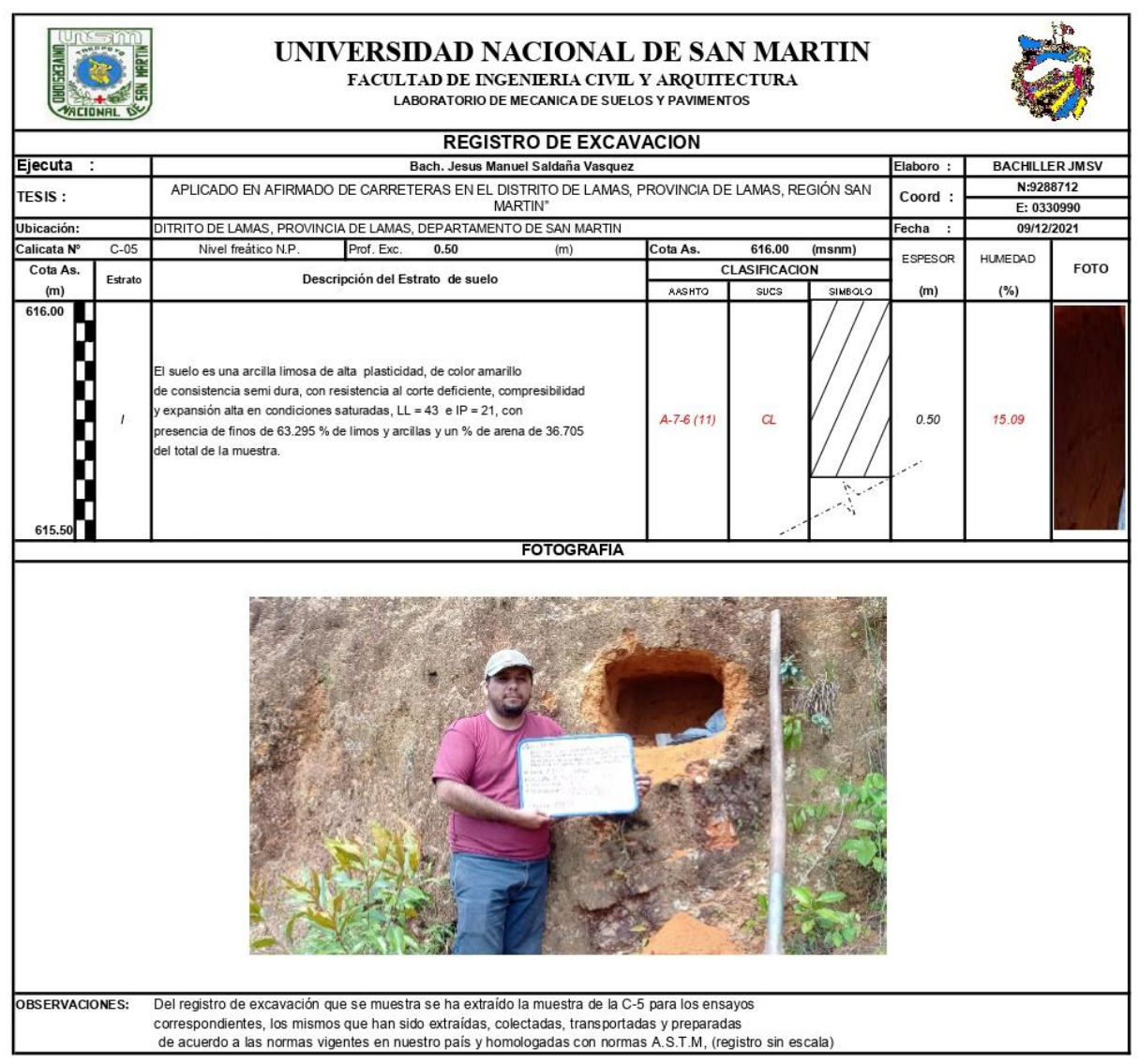
PUNTO	P1	P2	P3	P4	P5
N° Capas	5	5	5	5	5
N° Golpes por capa	25	25	25	25	25
Porcentaje de Agua	4 %	6 %	8 %	10 %	12 %
Peso Suelo + Molde	7221	7328	7401	7339	7243
Peso Del Molde	2770	2770	2770	2770	2770
Peso Suelo Húmedo Compactado	4451	4558	4631	4569	4473
Densidad Húmeda	2.10	2.15	2.18	2.15	2.11
Capsula Nro.	P - 83	P - 87	P - 116	P - 26	P - 44
Peso De La Capsula	92.88	86.69	89.04	100.04	84.57
Peso Suelo Húmedo +Capsula	153.41	184.38	207.30	252.44	264.48
Peso Suelo Seco + Capsula	142.52	166.58	185.24	223.47	229.89
Peso De Agua	10.89	17.80	22.06	28.97	34.59
Peso Del Suelo Seco	49.64	79.89	96.20	123.43	145.32
Contenido Humedad	21.94	22.28	22.93	23.47	23.80
Densidad Seca	1.7194	1.7558	1.7744	1.7430	1.7018



Densidad Seca Máxima	1.78
Contenido de Humedad Óptima	22.80

Fotografía Nº 17: Ensayo de Proctor Modificado de la C-04.

# Calicata N° 05:



Fotografía N° 18: Registro de excavación de la C-05.



FACULTAD DE INGENIERIA CIVIL Y ARQUITECTURA LABORATORIO DE MECANICA DE SUELOS Y PAVIMENTOS



Tesis: "INFLUENCIA DEL ÍNDICE PLÁSTICO EN EL CONTENIDO ÓPTIMO DE HUMEDAD EN SUELOS ARCILLOSOS APLICADO EN AFIRMADO DE CARRETERAS EN EL DISTRITO DE LAMAS, PROVINCIA DE LAMAS, REGIÓN SAN MARTIN"

 Localización del proyecto:
 Distrito de Lamas

 Descripción del Suelo:
 Color Amarillo

 Identificación de la Muestra:
 Talud Lado Izquierdo

 Operador:
 Calicata:

 Color Amarillo
 Calicata:

 Color Amarillo
 09/12/2021

Tipo de la Muestra: Alterada No alterada X Remoldeada Coordenadas Punto de Muestra:

Extracción de Muestra: Cliente Técnico UNSM Bachiller X

N:9288712 E: 0330990

## METODO DE ENSAYO PARA DETERMINAR EL CONTENIDO DE HUMEDAD

## Determinación del Límite Líquido (N.T.P. 339.127)

Recipiente N°	P - 8	P - 24	P - 123
Peso del recipiente grs.	91.72	108.03	75.31
Peso del suelo húmedo + recipiente grs.	217.21	242.54	189.35
Peso del suelo seco + recipiente grs.	202.03	226.33	175.49
Peso del agua grs.	15.18	16.21	13.86
Peso del suelo seco grs.	110.31	118.30	100.18
Contenido de Humedad %	13.76	13.70	13.84
Promedio de contenido de humedad %		13.77	

Fotografía Nº 19: Ensayo de Contenido de Humedad de la C-05.



FACULTAD DE INGENIERIA CIVIL Y ARQUITECTURA
LABORATORIO DE MECANICA DE SUELOS Y PAVIMENTOS



Tesis: "INFLUENCIA DEL ÍNDICE PLÁSTICO EN EL CONTENIDO ÓPTIMO DE HUMEDAD EN SUELOS ARCILLOSOS APLICADO EN AFIRMADO DE CARRETERAS EN EL DISTRITO DE LAMAS, PROVINCIA DE LAMAS, REGIÓN SAN MARTIN"

Localización del proyecto : Distrito de Lamas

Descripción del Suelo : Color Amarillo

Identificación de la Muestra : Talud Lado Izquierdo

 Profundidad de la Muestra :
 0.50 m

 Operador :
 Calicata :
 C - 5
 Fecha :
 09/12/2021

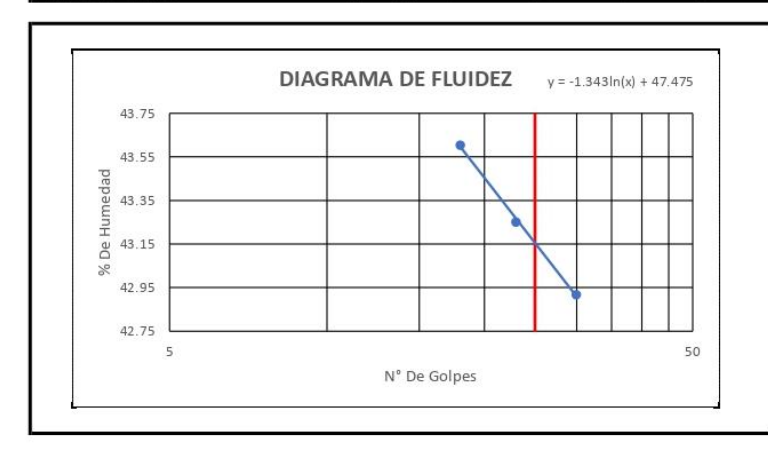
Tipo de la Muestra: Alterada No alterada X Remoldeada Coordenadas Punto de Muestra:

Extracción de Muestra: Cliente Técnico UNSM Bachiller X N:9288712 E: 0330990

## METODO DE ENSAYO PARA DETERMINAR EL LIMITE LIQUIDO, LIMITE PLASTICO, E INDICE DE PLASTICIDAD DE SUELOS

#### Determinación del Límite Líquido (N.T.P. 339.129)

Recipiente N°	P - 5	G-2	P-6
Peso del recipiente grs.	31.17	31.29	31.00
Peso del suelo húmedo + recipiente grs.	48.78	44.34	51.88
Peso del suelo seco + recipiente grs.	43.44	40.40	45.61
Peso del agua grs.	5.35	3.94	6.27
Peso del suelo seco grs.	12.27	9.11	14.61
Contenido de Humedad %	43.60	43.25	42.92
Número de Golpes	18	23	30



Límite Líquido (%)	43
Límite Plástico (%)	22
Indice de Plasticidad Ip (%)	21

#### Determinación del Límite Plástico(N.T.P. 339.131)

Recipiente N°	T - 6	T - 12A	T - 154
Peso del recipiente grs.	31.24	31.35	41.57
Peso del suelo húmedo + recipiente grs.	32.85	33.32	43.95
Peso del suelo seco + recipiente grs.	32.56	32.96	43.54
Peso del agua grs.	0.29	0.360	0.41
Peso del suelo seco grs.	1.32	1.61	1.97
Contenido de Humedad %	21.97	22.36	20.81
Promedio del contenido de humedad LP		21.71	

Fotografía N° 20: Ensayo de Límites de Consistencia de la C-05.



FACULTAD DE INGENIERIA CIVIL Y ARQUITECTURA LABORATORIO DE MECANICA DE SUELOS Y PAVIMENTOS



#### ANALISIS GRANULOMETRICO POR TAMIZADO - N.T.P. 339.128 A.- DATOS GENERALES "INFLUENCIA DEL ÍNDICE PLÁSTICO EN EL CONTENIDO ÓPTIMO DE HUMEDAD EN SUELOS ARCILLOSOS APLICADO EN AFIRMADO DE CARRETERAS EN EL DISTRITO DE LAMAS, PROVINCIA DE LAMAS, REGIÓN SAN MARTIN" Localización del proyecto : Descripción del Suelo : Profundidad de la Muestra : 0.50 m Identificación de la Muestra: Operador: Calicata: C-5 09/12/2021 Tipo de la Muestra: Alterada No alterada X Remoldeada Coordenadas Punto de Muestra: Extracción de Muestra: Técnico UNSM Bachiller X N:9288712 Cliente E: 0330990 B.- DATOS TECNICOS ANALISIS GRANULOMETRICO POR TAMIZADO N.T.P.339.128 Error Permitido% = 0.00% TAMICES % Retenido % Retenido % Que DATOS TECNICOS DEL ENSAYO Y RESULTADOS Peso Ret. Peso Parcial Número del Recipiente Acumulado Retenido Corregido pasa (mm) Tamiz 5" Peso del Recipiente: 87.72 127.00 Tamiz 4" Peso del recipiente + suelo seco: 101.60 161.13 Tamiz 3" 76.20 Peso del suelo seco : Tamiz 2" 50.80 Peso del suelo seco antes del lavado: 200.00 Tamiz 1 1/2" 38.10 Resultados Obtenidos: 15 09 Tamiz 1" 25.40 Contenido de humedad natural Tamiz 3/4" 43 Límite Líquido 19.050 Tamiz 1/2" ímite Plástico Índice Plástico Tamiz 3/8 9.525 Tamiz 1/4" Grava 0.00 100.00 36.71 4.760 Arena 2.380 0.42 0.42 0.21 99.79 Limos y Arcillas 63.30 N° 10 2.000 0.13 0.07 0.28 99 73 Porcentajes que pasan : 100.00 % 99.73 % N° 16 % Pasa el Tamiz N° 4 0.64 0.93 0.64 0.32 0.60 1.06 99.41 1.190 99.73 % 96.44 % 98.94 % Pasa el Tamiz Nº 10 0.840 N° 30 0.590 1.85 1.85 1.99 98.02 % Pasa el Tamiz Nº 40 N° 40 % Pasa el Tamiz Nº 200 0.426 3.15 3.15 1.58 3.56 96.44 63.30 3.06 2.43 N° 50 6.11 93.39 98.05 0.297 6.62 6.11 N° 60 0.250 0.177 4.85 4.85 90.96 D30 93.46 N° 80 12.43 10.19 12.43 15.26 D10: N° 100 0.149 10.19 5 10 20.35 79.65 Cc (Coeficiente de curvatura) 1.29 1.42 N° 200 0.074 32.71 32.71 16.36 36.71 63.30 Cu (Coeficiente de Uniformidad) : Fondo 126.59 63.30 0.00 Clasificación S.U.C.S. 0.010 100.00 Clasificación AASHTO A-7-6 (11) Curva Granulométrica 100.00 90.00 80.00 70.00 60.00 50.00 40.00 30.00 20.00 10.00 0.00

Fotografía N° 21: Ensayo de Análisis granulométrico por tamizado de la C-05.



FACULTAD DE INGENIERIA CIVIL Y ARQUITECTURA
LABORATORIO DE MECANICA DE SUELOS Y PAVIMENTOS



Tesis: "INFLUENCIA DEL ÍNDICE PLÁSTICO EN EL CONTENIDO ÓPTIMO DE HUMEDAD EN SUELOS ARCILLOSOS APLICADO EN AFIRMADO DE CARRETERAS EN EL DISTRITO DE LAMAS, PROVINCIA DE LAMAS, REGIÓN SAN MARTIN"

Distrito de Lamas Localización del proyecto : Descripción del Suelo : Color Amarillo Profundidad de la Muestra: 0.50 m Identificación de la Muestra: Talud Lado Izquierdo Operador: Calicata: C-5 Fecha: 09/12/2021 Coordenadas Punto de Muestra: Tipo de la Muestra: No alterada X Remoldeada Alterada Extracción de Muestra: Técnico UNSM Bachiller X N:9288712 Cliente E: 0330990

#### METODO DE ENSAYO PARA DETERMINAR EL PROCTOR MODIFICADO

Determinación del Proctor Modificado (N.T.P. 339.149)

METODO DE COMPACTACIÓN : A Volumen del Molde : 2123

PUNTO	P1	P2	P3	P4	P5
N° Capas	5	5	5	5	5
N° Golpes por capa	25	25	25	25	25
Porcentaje de Agua	6 %	8 %	10 %	12 %	14 %
Peso Suelo + Molde	7141.00	7228.00	7323.00	7199.00	7157.00
Peso Del Molde	2770.00	2770.00	2770.00	2770.00	2770.00
Peso Suelo Húmedo Compactado	4371.00	4458.00	4553.00	4429.00	4387.00
Densidad Húmeda	2.06	2.10	2.14	2.09	2.07
Capsula Nro.	P-90	P - 200	P - 8	P - 24	P - 123
Peso De La Capsula	84.57	68.21	91.72	108.03	75.31
Peso Suelo Húmedo +Capsula	242.02	229.19	263.17	282.94	251.84
Peso Suelo Seco + Capsula	217.41	203.80	235.48	254.01	222.53
Peso De Agua	24.61	25.39	27.69	28.93	29.31
Peso Del Suelo Seco	132.84	135.59	143.76	145.98	147.22
Contenido Humedad	18.53	18.73	19.26	19.82	19.91
Densidad Seca	1.7371	1.7687	1.7982	1.7411	1.7233

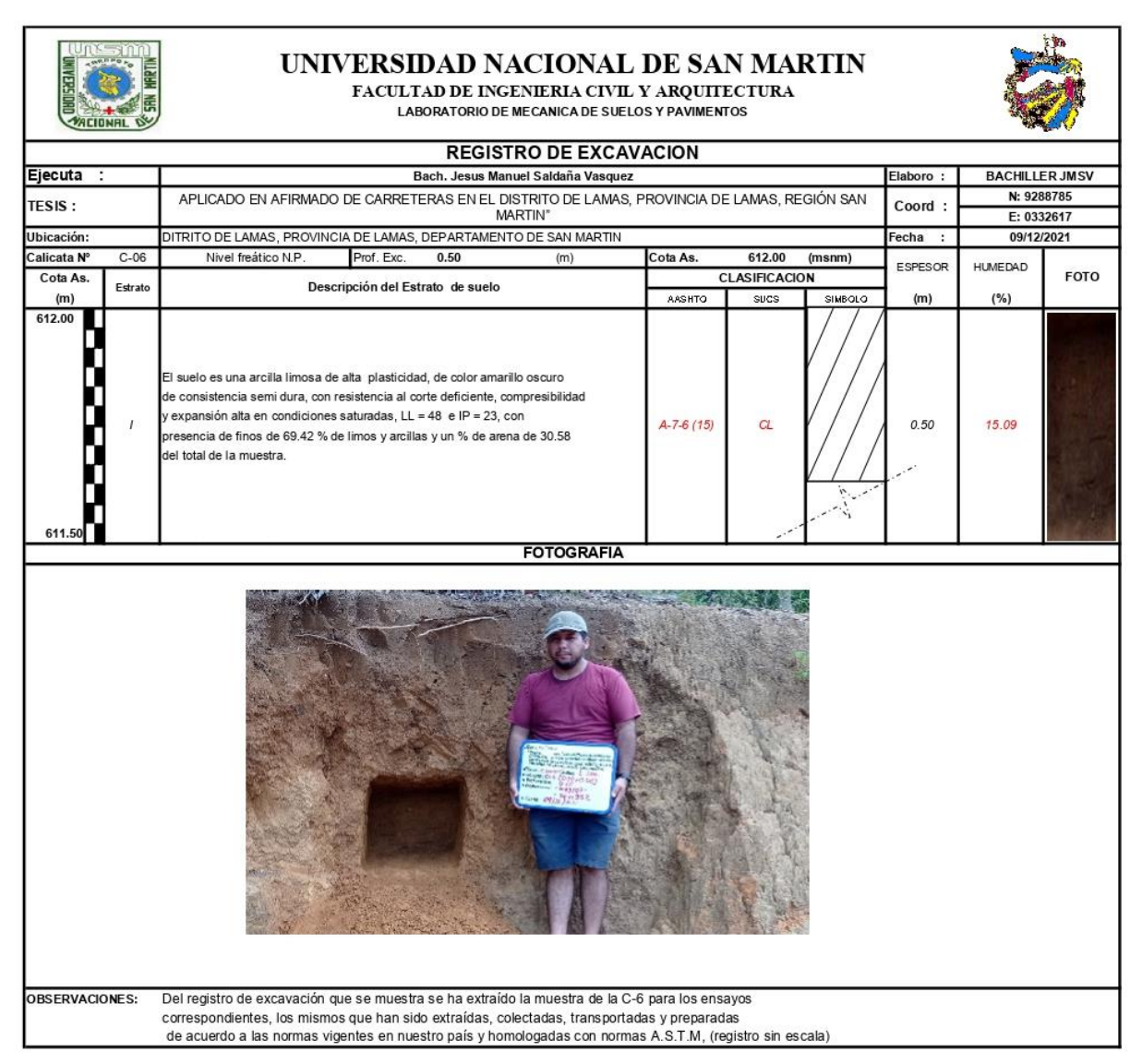
1.81 1.80 1.79 1.78 1.77 1.76 1.79 1.75 1.76 1.79 1.75 1.74 1.73 1.72 1.71 1.850 18.70 18.90 19.10 19.30 19.50 19.70 19.90 20.10 Contenido de Humedad (%)

Densidad Seca Máxima	1.80
Contenido de Humedad Óptima	19 18

Fotografía N° 22: Ensayo de Proctor Modificado de la C-05.

9

# Calicata N° 06:



Fotografía N° 23: Registro de excavación de la C-06.



FACULTAD DE INGENIERIA CIVIL Y ARQUITECTURA LABORATORIO DE MECANICA DE SUELOS Y PAVIMENTOS



"INFLUENCIA DEL ÍNDICE PLÁSTICO EN EL CONTENIDO ÓPTIMO DE HUMEDAD EN SUELOS ARCILLOSOS APLICADO EN AFIRMADO DE CARRETERAS EN EL DISTRITO DE LAMAS, PROVINCIA DE LAMAS, REGIÓN SAN MARTIN" Tesis:

Localización del proyecto : Distrito de Lamas Descripción del Suelo : Color Amarillo Identificación de la Muestra: Talud Lado Izquierdo

Operador : Calicata: C-6 Fecha: 09/12/2021

Profundidad de la Muestra: 0.50 m

Tipo de la Muestra: No alterada X Remoldeada Coordenadas Punto de Muestra: Alterada Cliente Técnico UNSM Bachiller X Extracción de Muestra:

N: 9288785 E: 0332617

METODO DE ENSAYO PARA DETERMINAR EL CONTENIDO DE HUMEDAD

## Determinación del Límite Líquido (N.T.P. 339.127)

Recipiente N°	P - 21	P - 25	P - 115		
Peso del recipiente grs.	87.72	88.49	92.76		
Peso del suelo húmedo + recipiente grs.	234.73	211.32	220.83		
Peso del suelo seco + recipiente grs.	215.48	195.18	204.07		
Peso del agua grs.	19.25	16.14	16.76		
Peso del suelo seco grs.	127.76	106.69	111.31		
Contenido de Humedad %	15.07	15.13	15.06		
Promedio de contenido de humedad %	dad % 15.08				

Fotografía Nº 24: Ensayo de Contenido de Humedad de la C-06.



FACULTAD DE INGENIERIA CIVIL Y ARQUITECTURA LABORATORIO DE MECANICA DE SUELOS Y PAVIMENTOS



Tesis: "INFLUENCIA DEL ÍNDICE PLÁSTICO EN EL CONTENIDO ÓPTIMO DE HUMEDAD EN SUELOS ARCILLOSOS APLICADO EN AFIRMADO DE CARRETERAS EN EL DISTRITO DE LAMAS, PROVINCIA DE LAMAS, REGIÓN SAN MARTIN"

 Localización del proyecto :
 Distrito de Lamas

 Descripción del Suelo :
 Color Amarillo

 Identificación de la Muestra :
 Talud Lado Izquierdo

**Operador**: **Calicata**: C - 6 **Fecha**: 09/12/2021

Tipo de la Muestra: Alterada No

No alterada X Remoldeada Coordenadas Punto de Muestra:

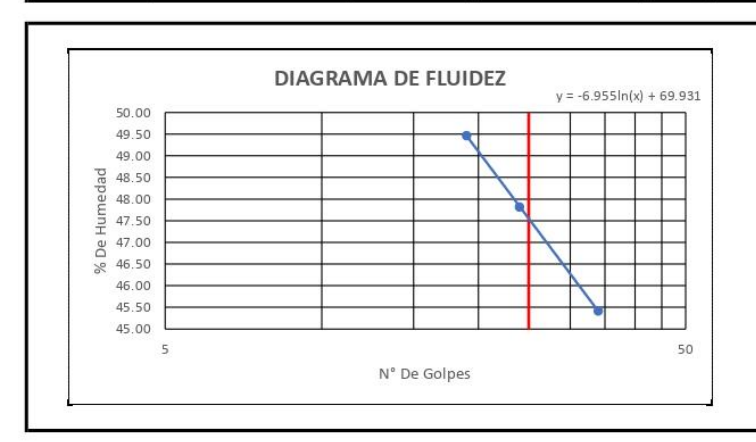
Extracción de Muestra: Cliente Técnico UNSM Bachiller X

N: 9288785 E: 0332617

## METODO DE ENSAYO PARA DETERMINAR EL LIMITE LIQUIDO, LIMITE PLASTICO, E INDICE DE PLASTICIDAD DE SUELOS

### Determinación del Límite Líquido (N.T.P. 339.129)

Recipiente N°	07	09	17
Peso del recipiente grs.	15.83	15.71	15.97
Peso del suelo húmedo + recipiente grs.	32.45	33.30	34.03
Peso del suelo seco + recipiente grs.	26.95	27.61	28.39
Peso del agua grs.	5.50	5.69	5.64
Peso del suelo seco grs.	11.12	11.90	12.42
Contenido de Humedad %	49.46	47.82	45.41
Número de Golpes	19	24	34



Límite Líquido (%)	48
Límite Plástico (%)	25
Índice de Plasticidad Ip (%)	23

Profundidad de la Muestra: 0.50 m

#### Determinación del Límite Plástico(N.T.P. 339.131)

Recipiente N°	11	10	8	
Peso del recipiente grs.	15.81	15.78	15.83	
Peso del suelo húmedo + recipiente grs.	18.28	17.64	17.95	
Peso del suelo seco + recipiente grs.	17.78	17.27	17.51	
Peso del agua grs.	0.50	0.370	0.44	
Peso del suelo seco grs.	1.97	1.49	1.68	
Contenido de Humedad %	25.38	24.83	26.19	
Promedio del contenido de humedad LP	25.47			

Fotografía N° 25: Ensayo de Límites de Consistencia de la C-06.



FACULTAD DE INGENIERIA CIVIL Y ARQUITECTURA



#### LABORATORIO DE MECANICA DE SUELOS Y PAVIMENTOS ANALISIS GRANULOMETRICO POR TAMIZADO - N.T.P. 339.128 A.- DATOS GENERALES "INFLUENCIA DEL ÍNDICE PLÁSTICO EN EL CONTENIDO ÓPTIMO DE HUMEDAD EN SUELOS ARCILLOSOS APLICADO EN AFIRMADO DE Tesis: CARRETERAS EN EL DISTRITO DE LAMAS, PROVINCIA DE LAMAS, REGIÓN SAN MARTIN" Localización del proyecto: Distrito de Lamas Descripción del Suelo: Color Amarillo Profundidad de la Muestra: 0.50 m Identificación de la Muestra : Talud Lado Izquierdo Operador: Calicata: C-6 09/12/2021 Fecha: Tipo de la Muestra: X Remoldeada Coordenadas Punto de Muestra: No alterada Alterada N: 9288785 E: 0332617 Extracción de Muestra: Técnico UNSM Bachiller X **B.- DATOS TECNICOS** ANALISIS GRANULOMETRICO POR TAMIZADO N.T.P.339.128 Error Permitido% = 0.00% Permitido % Retenido DATOS TECNICOS DEL ENSAYO Y RESULTADOS Peso Peso Ret. Número del Recipiente Retenido Corregido Parcial Acumulado pasa (mm) Tamiz 5" 127.00 Peso del Recipiente: 87.72 Tamiz 4" 101.60 Peso del recipiente + suelo seco: 148.88 Tamiz 3" 76.20 Peso del suelo seco 61.16 Tamiz 2" 50.80 Peso del suelo seco antes del lavado: 200.00 Tamiz 1 1/2" 38.10 Resultados Obtenidos: 15.09 Contenido de humedad natural Tamiz 1" 25.40 48 25 23 Tamiz 3/4" Límite Líquido 19.050 Tamiz 1/2" 12.700 9.525 Límite Plástico Tamiz 3/8" Índice Plástico Tamiz 1/4" 6.350 Grava 0.00 100.00 4.760 Arena Nº 8 99 92 Limos y Arcillas 69.42 99.88 N° 10 2.000 0.09 0.09 0.13 Porcentajes que pasan : 99.50 % Pasa el Tamiz N° 4 100.00 % N° 16 0.38 1.190 0.76 1.11 0.76 0.51 98.94 97.64 99.88 % 95.62 % N° 20 0.56 1.06 % Pasa el Tamiz N° 10 N° 30 1.30 % Pasa el Tamiz Nº 40 0.590 2.60 2.60 2.36 N° 40 2.03 95.62 % Pasa el Tamiz N° 200 69.42 0.426 4.05 4.05 4.39 97.69 3.41 N° 50 92.21 0.297 6.82 6.82 7.80 4.86 11.62 4.86 11.62 89 78 92 28 N° 60 0.250 D30 83.97 0.177 16.04 N° 100 0.149 7.83 7.83 3 92 19.95 80.05 Cc (Coeficiente de curvatura) : 1.19 N° 200 10.63 1.34 21 26 21 26 69.42 0.074 30.58 Cu (Coeficiente de Uniformidad) 138.84 138.84 69.42 0.00 Clasificación S.U.C.S. Fondo 0.010 100 A-7-6 (15) Clasificación AASHTO Curva Granulométrica 100.00 90.00 80.00 70.00 60.00 50.00 40.00 30.00 20.00 10.00 0.00

Fotografía N° 26: Ensayo de Análisis granulométrico por tamizado de la C-06.



FACULTAD DE INGENIERIA CIVIL Y ARQUITECTURA LABORATORIO DE MECANICA DE SUELOS Y PAVIMENTOS



"INFLUENCIA DEL ÍNDICE PLÁSTICO EN EL CONTENIDO ÓPTIMO DE HUMEDAD EN SUELOS ARCILLOSOS APLICADO EN

AFIRMADO DE CARRETERAS EN EL DISTRITO DE LAMAS, PROVINCIA DE LAMAS, REGIÓN SAN MARTIN"

Localización del proyecto: Distrito de Lamas

Descripción del Suelo: Color Amarillo Profundidad de la Muestra: 0.50 m Identificación de la Muestra : Talud Lado Izquierdo Fecha: 09/12/2021 Operador: Calicata: C-6

Tipo de la Muestra: No alterada X Remoldeada Coordenadas Punto de Muestra: Alterada

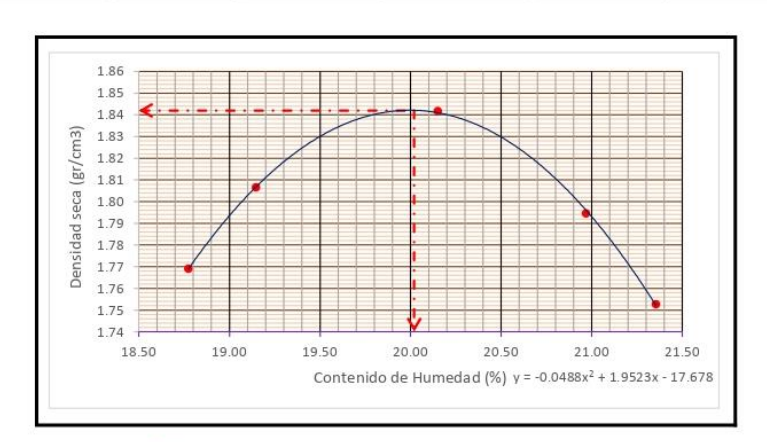
Extracción de Muestra: Técnico UNSM Bachiller X N: 9288785 E: 0332617

METODO DE ENSAYO PARA DETERMINAR EL PROCTOR MODIFICADO

Determinación del Proctor Modificado (N.T.P. 339.149)

METODO DE COMPACTACIÓN: Volumen del Molde : 2123

PUNTO	P1	P2	P3	P4	P5
N° Capas	5	5	5	5	5
N° Golpes por capa	25	25	25	25	25
Porcentaje de Agua	6 %	8 %	10 %	12 %	14 %
Peso Suelo + Molde	7231.00	7340.00	7468.00	7379.00	7286.00
Peso Del Molde	2770.00	2770.00	2770.00	2770.00	2770.00
Peso Suelo Húmedo Compactado	4461.00	4570.00	4698.00	4609.00	4516.00
Densidad Húmeda	2.10	2.15	2.21	2.17	2.13
Capsula Nro.	P - 21	P - 25	P - 115	P - 208	P - 303
Peso De La Capsula	87.72	88.49	92.76	66.67	64.08
Peso Suelo Húmedo +Capsula	161.17	188.86	263.17	257.51	272.01
Peso Suelo Seco + Capsula	149.56	172.73	234.59	224.43	235.42
Peso De Agua	11.61	16.13	28.58	33.08	36.59
Peso Del Suelo Seco	61.84	84.24	141.83	157.76	171.34
Contenido Humedad	18.77	19.15	20.15	20.97	21.36
Densidad Seca	1.7691	1.8067	1.8418	1.7947	1.7529



Densidad Seca Máxima	1.84
Contenido de Humedad Óptima	20.02

Fotografía N° 27: Ensayo de Proctor Modificado de la C-06.

# Calicata N° 07:



# UNIVERSIDAD NACIONAL DE SAN MARTIN





				REGIS	STRO DE EXC	AVACION					
Ejecuta :			30	Bach. Jesus M	anuel Saldaña Vasqu	ıez			Elaboro:	BACHILL	ERJMSV
TESIS:		APLICADO EN AFIRMAD	O DE CARRET	ERAS EN EL	DISTRITO DE LAMA	AS, PROVINCIA DE	LAMAS, R	EGIÓN SAN	Coord :	N: 92	90999
ESIS.					MARTIN"			220120000000000000000000000000000000000	Coold .	E: 03	32060
Jbicación:		DITRITO DE LAMAS, PROVIN	ICIA DE LAMAS	, DEPARTAME	NTO DE SAN MARTIN	V			Fecha :	09/12	2/2021
Calicata №	C-07	Nivel freático N.P.	Prof. Exc.	0.50	(m)	Cota As.	763.00	(msnm)	ESPESOR	HUMEDAD	
Cota As.	Estrato	Do	scripción del Es	trato de auelo		(	LASIFICAC	ON	ESPESOR	HUMEDAD	FOTO
(m)	Estrato	De	scripcion dei Es	itiato de suelo		AASHTO	SUCS	SIMBOLO	(m)	(%)	
762.50	I	El suelo es una arena pobrem de consistencia semi dura, co y expansión muy baja en con presencia de finos de 4.895 % del total de la muestra.	n resistencia al c diciones saturada	orte deficiente, as, LL = - e IP	compresibilidad = NP, con	A-3 (0)	SP		0.50	10.70	

FOTOGRAFIA

NOTA: los resultados correspondientes de las calicatas N° 02, 03, 07 y 11 para la obtención del Contenido Optimo de Humedad y la Densidad Seca Máxima no se efectuaron ya que según el análisis granulométrico realizado no pertenecen a la clasificación de Suelo Arcilloso siendo este el tema de investigación.



OBSERVACIONES:

Del registro de excavación que se muestra se ha extraído la muestra de la C-7 para los ensayos correspondientes, los mismos que han sido extraídas, colectadas, transportadas y preparadas de acuerdo a las normas vigentes en nuestro país y homologadas con normas A.S.T.M. (registro sin escala)

Fotografía  $N^{\circ}$  28: Registro de excavación de la C-07.



FACULTAD DE INGENIERIA CIVIL Y ARQUITECTURA
LABORATORIO DE MECANICA DE SUELOS Y PAVIMENTOS



Tesis: "INFLUENCIA DEL ÍNDICE PLÁSTICO EN EL CONTENIDO ÓPTIMO DE HUMEDAD EN SUELOS ARCILLOSOS APLICADO EN AFIRMADO DE CARRETERAS EN EL DISTRITO DE LAMAS, PROVINCIA DE LAMAS, REGIÓN SAN MARTIN"

Localización del proyecto : Distrito de Lamas

Descripción del Suelo : Color Blanco

Identificación de la Muestra : Talud Lado Izquierdo

Profundidad de la Muestra: 0.50 m Calicata: C - 7 Fecha: 09/12/2021

Tipo de la Muestra: Alterada No alterada X Remoldeada Coordenadas Punto de Muestra:

Operador:

Extracción de Muestra: Cliente Técnico UNSM Bachiller X N: 9290999

E: 0332060

#### METODO DE ENSAYO PARA DETERMINAR EL CONTENIDO DE HUMEDAD

Determinación del Límite Líquido (N.T.P. 339.127)

Recipiente N°	P - 1	P - 07	P - 103
Peso del recipiente grs.	100.10	97.06	81.67
Peso del suelo húmedo + recipiente grs.	275.74	218.21	224.73
Peso del suelo seco + recipiente grs.	259.29	206.18	210.84
Peso del agua grs.	16.45	12.03	13.89
Peso del suelo seco grs.	159.19	109.12	129.17
Contenido de Humedad %	10.33	11.02	10.75
Promedio de contenido de humedad %		10.70	

Fotografía N° 29: Ensayo de Contenido de Humedad de la C-07.



FACULTAD DE INGENIERIA CIVIL Y ARQUITECTURA LABORATORIO DE MECANICA DE SUELOS Y PAVIMENTOS



### ANALISIS GRANULOMETRICO POR TAMIZADO - N.T.P. 339.128

### A.- DATOS GENERALES

"INFLUENCIA DEL ÍNDICE PLÁSTICO EN EL CONTENIDO ÓPTIMO DE HUMEDAD EN SUELOS ARCILLOSOS APLICADO EN AFIRMADO DE CARRETERAS EN EL DISTRITO DE LAMAS, PROVINCIA DE LAMAS, REGIÓN SAN MARTIN" Tesis:

Distrito de Lamas Localización del proyecto:

Profundidad de la Muestra : Calicata : C - 7 Fecha Descripción del Suelo : Color Blanco 09/12/2021 Identificación de la Muestra : Talud Lado Izquierdo Operador: Fecha:

Tipo de la Muestra: No alterada X Remoldeada Coordenadas Punto de Muestra:

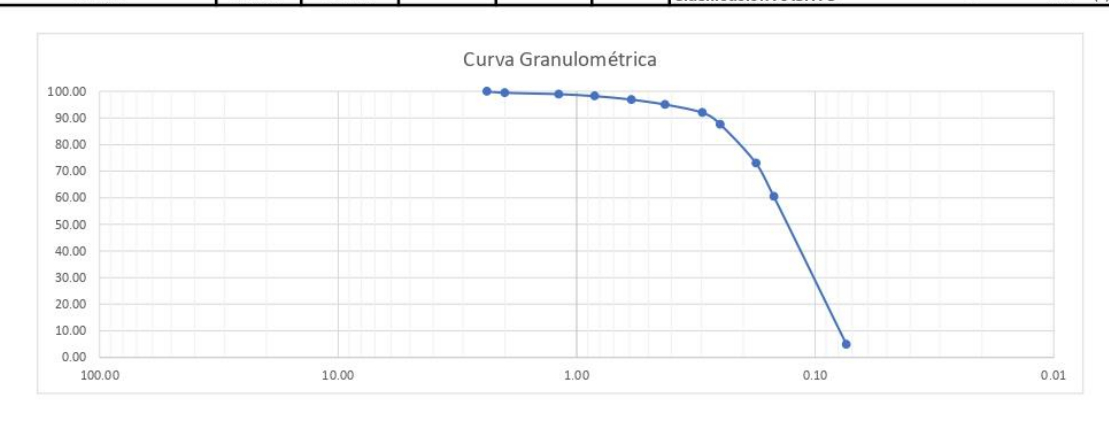
Técnico UNSM Extracción de Muestra: Bachiller X N: 9290999 Cliente E: 0332060

### B.- DATOS TECNICOS

ANALISIS GRANULOMETRICO POR TAMIZADO N.T.P.339.128

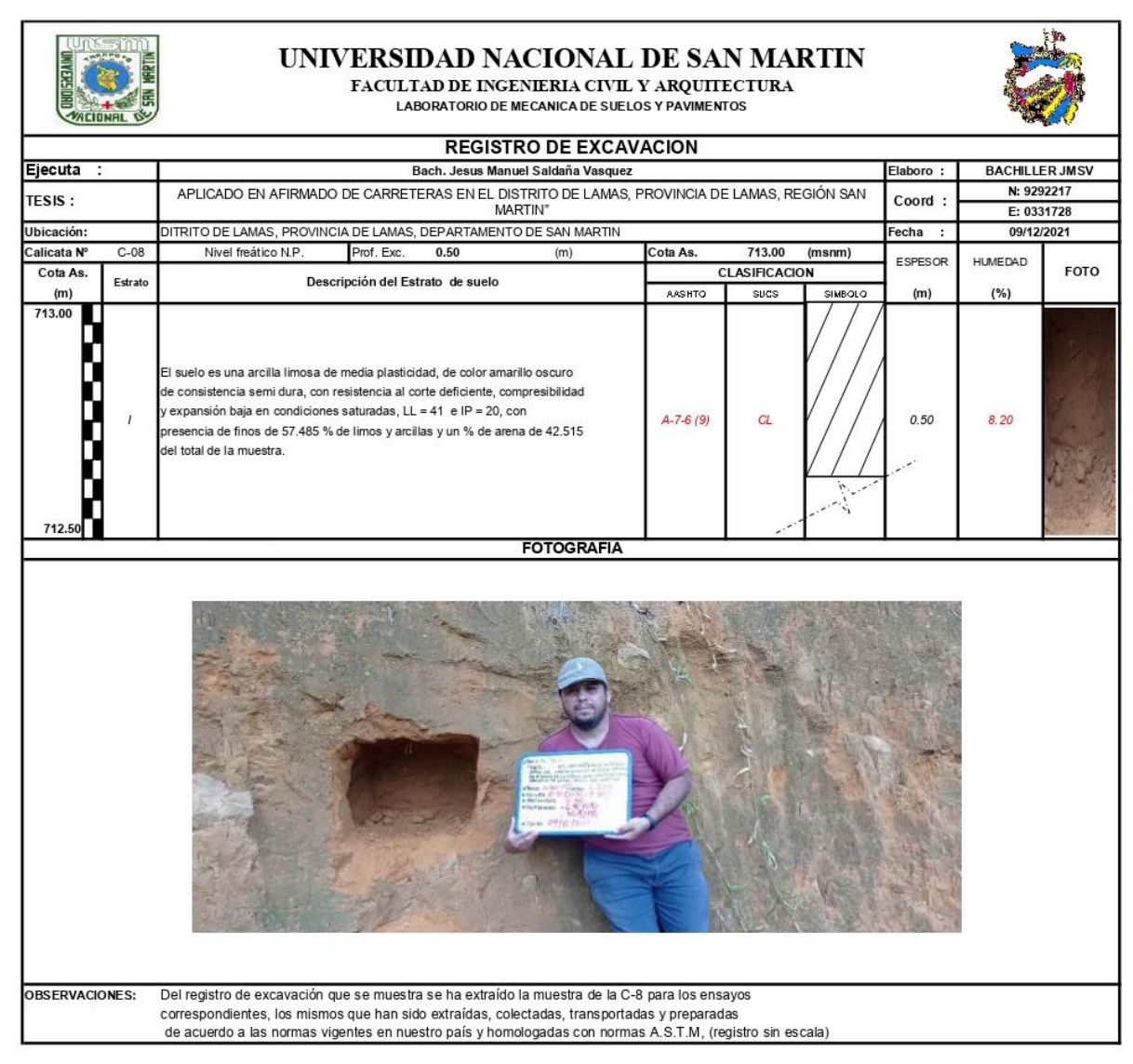
Error Permitido% =	0.00%	Permitido

TAMI	CES	Peso	Peso Ret.	% Retenido	% Retenido	% Que	IE DATOS TECNICOS DEL ENSAYO Y RESULTAD		SULTADOS
Ø	(mm)	Retenido	Corregido	Parcial	Acumulado	pasa	Número del Recipiente:		P-7
Tamiz 5"	127.00				0		Peso del Recipiente:		97.06
Tamiz 4"	101.60						Peso del recipiente + suelo seco:		297.06
Tamiz 3"	76.20	1					Peso del suelo seco :		200.00
Tamiz 2"	50.80						Peso del suelo seco antes del lavado	E .	200.00
Tamiz 1 1/2"	38.10						Resultados C	btenidos:	
Tamiz 1"	25.40						Contenido de humedad natural	=	10.70
Tamiz 3/4"	19.050						Límite Líquido	=	100
Tamiz 1/2"	12.700				0		Límite Plástico	=	NP
Tamiz 3/8"	9.525						Índice Plástico	=	NP
Tamiz 1/4"	6.350						Grava	=	0.00
N° 4	4.760						Arena	=	95.11
N° 8	2.380					100.00	Limos y Arcillas	8=8	4.90
N° 10	2.000	1.01	1.01	0.51	0.51	99.50	Porcentajes que pasan :		
N° 16	1.190	1.12	1.12	0.56	1.07	98.94	% Pasa el Tamiz N° 4	=	100.00 %
N° 20	0.840	1.43	1.43	0.72	1.78	98.22	% Pasa el Tamiz N° 10	=	99.50 %
N° 30	0.590	2.62	2.62	1.31	3.09	96.91	% Pasa el Tamiz N° 40	=	95.04 %
N° 40	0.426	3.75	3.75	1.88	4.97	95.04	% Pasa el Tamiz N° 200	=	4.90 %
N° 50	0.297	6.09	6.09	3.05	8.01	91.99	D60 :	=	96.96
N° 60	0.250	8.78	8.78	4.39	12.40	87.60	D <sub>30</sub> :	=	92.06
N° 80	0.177	29.14	29.14	14.57	26.97	73.03	D10:	=	24.18
N° 100	0.149	25.03	25.03	12.52	39.49	60.52	Cc (Coeficiente de curvatura):	=	3.62
N° 200	0.074	111.24	111.24	55.62	95.11	4.90	Cu (Coeficiente de Uniformidad):	=	4.01
Fondo	0.010	9.79	9.79	4.90	100	0.00	Clasificación S.U.C.S.	=	SP
TOT	AL	200.00	200.00				Clasificación AASHTO	=	A-3 (0)



Fotografía N° 30: Ensayo de Análisis granulométrico por tamizado de la C-07.

# Calicata N° 08:



Fotografía N° 31: Registro de excavación de la C-08.



FACULTAD DE INGENIERIA CIVIL Y ARQUITECTURA LABORATORIO DE MECANICA DE SUELOS Y PAVIMENTOS



"INFLUENCIA DEL ÍNDICE PLÁSTICO EN EL CONTENIDO ÓPTIMO DE HUMEDAD EN SUELOS ARCILLOSOS APLICADO EN AFIRMADO DE CARRETERAS EN EL DISTRITO DE LAMAS, PROVINCIA DE LAMAS, REGIÓN SAN MARTIN" Tesis:

Localización del proyecto : Distrito de Lamas Descripción del Suelo : Color Amarillo

Profundidad de la Muestra: 0.50 m Identificación de la Muestra: Talud Lado Izquierdo Calicata: C-8

Coordenadas Punto de Muestra: No alterada X Remoldeada Tipo de la Muestra: Alterada

Extracción de Muestra: Cliente Técnico UNSM Bachiller X N: 9292217 E: 0331728

#### METODO DE ENSAYO PARA DETERMINAR EL CONTENIDO DE HUMEDAD

Determinación del Límite Líquido (N.T.P. 339.127)

Recipiente N°	P - 72	P - 118	P -107		
Peso del recipiente grs.	86.69	88.03	89.28		
Peso del suelo húmedo + recipiente grs.	234.28	232.28	214.86		
Peso del suelo seco + recipiente grs.	222.80	221.38	205.56		
Peso del agua grs.	11.48	10.90	9.30		
Peso del suelo seco grs.	136.11	133.35	116.28		
Contenido de Humedad %	8.43	8.17	8.00		
Promedio de contenido de humedad %	Promedio de contenido de humedad % 8.20				

Fotografía Nº 32: Ensayo de Contenido de Humedad de la C-08.



FACULTAD DE INGENIERIA CIVIL Y ARQUITECTURA LABORATORIO DE MECANICA DE SUELOS Y PAVIMENTOS



Tesis: "INFLUENCIA DEL ÍNDICE PLÁSTICO EN EL CONTENIDO ÓPTIMO DE HUMEDAD EN SUELOS ARCILLOSOS APLICADO EN AFIRMADO DE CARRETERAS EN EL DISTRITO DE LAMAS, PROVINCIA DE LAMAS, REGIÓN SAN MARTIN"

AFINIMADO DE CANNETENAS EN EL DISTRITO DE LAWAS, PROVINCIA DE LAWAS, REGIÓN SAN MARTI

 Localización del proyecto :
 Distrito de Lamas

 Descripción del Suelo :
 Color Amarillo

 Identificación de la Muestra :
 Talud Lado Izquierdo
 Operador :

Calicata: C - 8 Fecha:

Remoldeada Coordenadas Punto de Muestra:

Profundidad de la Muestra: 0.50 m

Tipo de la Muestra: Alterada Extracción de Muestra: Cliente No alterada X Remoldeada Técnico UNSM Bachiller X

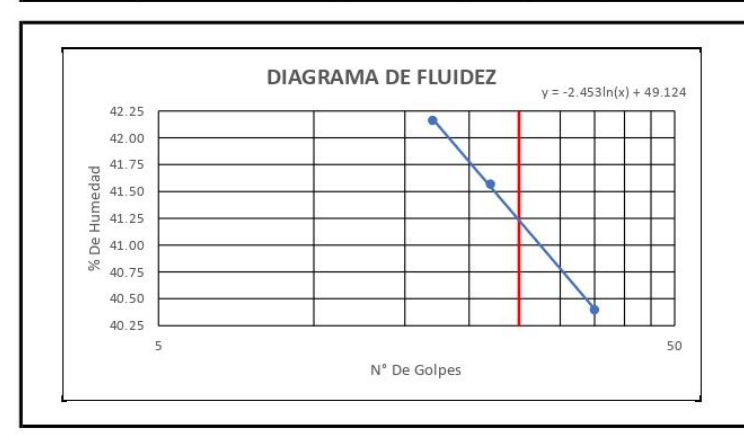
N: 9292217 E: 0331728

09/12/2021

METODO DE ENSAYO PARA DETERMINAR EL LIMITE LIQUIDO, LIMITE PLASTICO, E INDICE DE PLASTICIDAD DE SUELOS

## Determinación del Límite Líquido (N.T.P. 339.129)

Recipiente N°	118 c/T 137	15 C/TAPA 7	137
Peso del recipiente grs.	15.47	15.53	15.39
Peso del suelo húmedo + recipiente grs.	50.10	51.12	51.64
Peso del suelo seco + recipiente grs.	39.83	40.67	41.21
Peso del agua grs.	10.27	10.45	10.43
Peso del suelo seco grs.	24.36	25.14	25.82
Contenido de Humedad %	42.16	41.57	40.40
Número de Golpes	17	22	35



Límite Líquido (%)	41
Límite Plástico (%)	21
Índice de Plasticidad Ip (%)	20

## Determinación del Límite Plástico(N.T.P. 339.131)

Recipiente N°	12 PEQUE 136 C/T72			
Peso del recipiente grs.	36.68	31.00	31.35	
Peso del suelo húmedo + recipiente grs.	39.16	32.54	32.84	
Peso del suelo seco + recipiente grs.	38.73	32.27	32.59	
Peso del agua grs.	0.43	0.270	0.25	
Peso del suelo seco grs.	2.05	1.27	1.24	
Contenido de Humedad %	20.98	21.26	20.16	
Promedio del contenido de humedad LP		20.80		

Fotografía N° 33: Ensayo de Límites de Consistencia de la C-08.



FACULTAD DE INGENIERIA CIVIL Y ARQUITECTURA



#### LABORATORIO DE MECANICA DE SUELOS Y PAVIMENTOS ANALISIS GRANULOMETRICO POR TAMIZADO - N.T.P. 339.128 - ASTM D - 423 A.- DATOS GENERALES Tesis: "INFLUENCIA DEL ÍNDICE PLÁSTICO EN EL CONTENIDO ÓPTIMO DE HUMEDAD EN SUELOS ARCILLOSOS APLICADO EN AFIRMADO DE CARRETERAS EN EL DISTRITO DE LAMAS, PROVINCIA DE LAMAS, REGIÓN SAN MARTIN" Localización del proyecto : Distrito de Lamas Profundidad de la Muestra : Descripción del Suelo: Color Amarillo 0.50 m 09/12/2021 Identificación de la Muestra : Talud Lado Izquierdo Operador: Calicata: C-8 Remoldeada Tipo de la Muestra: No alterada X Coordenadas Punto de Muestra: Alterada Bachiller X N: 9292217 Extracción de Muestra: Cliente Técnico UNSM E: 0331728 **B.- DATOS TECNICOS** ANALISIS GRANULOMETRICO POR TAMIZADO N.T.P.339.128 Error Permitido% = 0.00% DATOS TECNICOS DEL ENSAYO Y RESULTADOS % Retenido % Retenido % Que Peso Ret. Peso Parcial Número del Recipiente Retenido Acumulado pasa Corregido (mm) Tamiz 5' 127.00 Peso del Recipiente: 88.03 Tamiz 4" 101.60 Peso del recipiente + suelo seco: 173.06 Tamiz 3" 76.20 Peso del suelo seco 85.03 Tamiz 2" 50.80 Peso del suelo seco antes del lavado: 200.00 Tamiz 1 1/2' 38.10 Resultados Obtenidos: Tamiz 1" 25.40 Contenido de humedad natural 8 20 Tamiz 3/4" Límite Líquido 19.050 41 Tamiz 1/2" Límite Plástico 21 Tamiz 3/8 9.525 Índice Plástico 0.00 Tamiz 1/4" Grava 6.350 4.760 100.00 Arena 42.52 0.10 99.91 Limos y Arcillas 57.49 2.380 0.19 0.19 0.10 N° 10 0.01 99.90 2.000 0.02 0.02 0.11 Porcentajes que pasan : N° 16 1.190 0.72 0.72 0.36 0.47 99.54 % Pasa el Tamiz N° 4 100.00 % 99.02 % Pasa el Tamiz Nº 10 N° 20 0.840 1.03 1.79 1.03 1.79 0.52 0.98 1.88 99.90 % 96.06 % N° 30 0.90 98.13 % Pasa el Tamiz N° 40 0.590 N° 40 0.426 4.13 4.13 2 07 3.94 96.06 % Pasa el Tamiz Nº 200 57.49 % 3.90 98.16 N° 50 0.297 7.79 7.79 7.84 11.18 92.17 D60 0.250 6.68 6.68 9.57 79.26 N° 80 0.177 19.14 19.14 61.69 N° 100 9.63 69.63 Cc (Coeficiente de curvatura) : 0.149 19.26 19.26 30.38 N° 200 12.14 57.49 1.59 0.074 24.28 24.28 42.52 Cu (Coeficiente de Uniformidad): Fondo 0.010 57.49 0.00 Clasificación S.U.C.S. CL A-7-6 (9) 200.00 200.00 Clasificación AASHTO Curva Granulométrica 100.00 80.00 60.00 50.00 40.00 30.00 20.00 10.00 100.00 10.00 1.00 0.10 0.01

Fotografía N° 34: Ensayo de Análisis granulométrico por tamizado de la C-08.



FACULTAD DE INGENIERIA CIVIL Y ARQUITECTURA LABORATORIO DE MECANICA DE SUELOS Y PAVIMENTOS



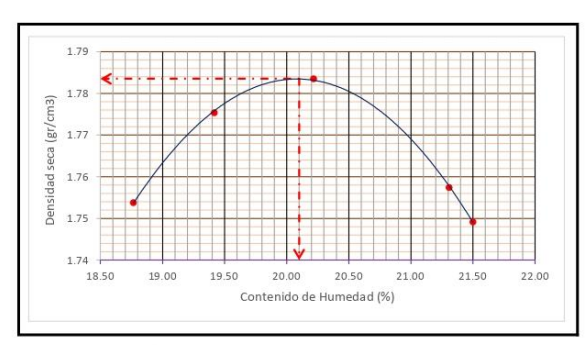
Tesis : "INFLUENCIA DEL ÍNDICE PLÁSTICO EN EL CONTENIDO ÓPTIMO DE HUMEDAD EN SUELOS ARCILLOSOS APLICADO EN AFIRMADO DE CARRETERAS EN EL DISTRITO DE LAMAS, PROVINCIA DE LAMAS, REGIÓN SAN MARTIN"

METODO DE ENSAYO PARA DETERMINAR EL PROCTOR MODIFICADO

Determinación del Proctor Modificado (N.T.P. 339.149)

METODO DE COMPACTACIÓN : A Volumen del Molde : 2123

PUNTO	P1	P2	P3	P4	P5
N° Capas	5	5	5	5	5
N° Golpes por capa	25	25	25	25	25
Porcentaje de Agua	4 %	6 %	8 %	10 %	12 %
Peso Suelo + Molde	7192.00	7271.00	7322.00	7296.00	7282.00
Peso Del Molde	2770.00	2770.00	2770.00	2770.00	2770.00
Peso Suelo Húmedo Compactado	4422.00	4501.00	4552.00	4526.00	4512.00
Densidad Húmeda	2.08	2.12	2.14	2.13	2.13
Capsula Nro.	P - 72	P - 118	P -107	P - 1	P - 7
Peso De La Capsula	86.69	88.03	89.28	100.10	97.06
Peso Suelo Húmedo +Capsula	180.55	197.01	205.23	231.27	242.63
Peso Suelo Seco + Capsula	165.72	179.29	185.73	208.23	216.87
Peso De Agua	14.83	17.72	19.50	23.04	25.76
Peso Del Suelo Seco	79.03	91.26	96.45	108.13	119.81
Contenido Humedad	18.77	19.42	20.22	21.31	21.50
Densidad Seca	1.7538	1 7754	1.7835	1.7574	1.7492



Densidad Seca Máxima	1.78
Contenido de Humedad Óptima	20.10

Fotografía N° 35: Ensayo de Proctor Modificado de la C-08.

# Calicata N° 09:



Fotografía N° 36: Registro de excavación de la C-09.



FACULTAD DE INGENIERIA CIVIL Y ARQUITECTURA LABORATORIO DE MECANICA DE SUELOS Y PAVIMENTOS



Tesis: "INFLUENCIA DEL ÍNDICE PLÁSTICO EN EL CONTENIDO ÓPTIMO DE HUMEDAD EN SUELOS ARCILLOSOS APLICADO EN AFIRMADO DE CARRETERAS EN EL DISTRITO DE LAMAS, PROVINCIA DE LAMAS, REGIÓN SAN MARTIN"

Distrito de Lamas

Localización del proyecto : Descripción del Suelo : Profundidad de la Muestra: 0.50 m Color Marrón Identificación de la Muestra: Talud Lado Derecho Calicata: C-9 Fecha: 09/12/2021 Operador:

Tipo de la Muestra: Alterada [ No alterada X Remoldeada Coordenadas Punto de Muestra:

N: 9292870 E: 0330912 Extracción de Muestra: Cliente Técnico UNSM Bachiller

## METODO DE ENSAYO PARA DETERMINAR EL CONTENIDO DE HUMEDAD

Determinación del Límite Líquido (N.T.P. 339.127)

Recipiente N°	P - 19	P - 51	P - 91
Peso del recipiente grs.	102.21	109.67	85.94
Peso del suelo húmedo + recipiente grs.	280.53	283.26	253.37
Peso del suelo seco + recipiente grs.	250.61	253.98	225.31
Peso del agua grs.	29.92	29.28	28.06
Peso del suelo seco grs.	148.40	144.31	139.37
Contenido de Humedad %	20.16	20.29	20.13
Promedio de contenido de humedad %		20.19	•

Fotografía N° 37: Ensayo de Contenido de Humedad de la C-09.



FACULTAD DE INGENIERIA CIVIL Y ARQUITECTURA LABORATORIO DE MECANICA DE SUELOS Y PAVIMENTOS



Tesis : "INFLUENCIA DEL ÍNDICE PLÁSTICO EN EL CONTENIDO ÓPTIMO DE HUMEDAD EN SUELOS ARCILLOSOS APLICADO EN AFIRMADO DE CARRETERAS EN EL DISTRITO DE LAMAS, PROVINCIA DE LAMAS, REGIÓN SAN MARTIN"

Distrito de Lamas Localización del proyecto : Descripción del Suelo: Color Marrón

Operador:

No alterada

Profundidad de la Muestra: 0.50 m Calicata: C-9

09/12/2021 Fecha:

Identificación de la Muestra: Talud Lado Derecho Tipo de la Muestra:

X Remoldeada

Coordenadas Punto de Muestra:

Extracción de Muestra:

Cliente Técnico UNSM

Bachiller

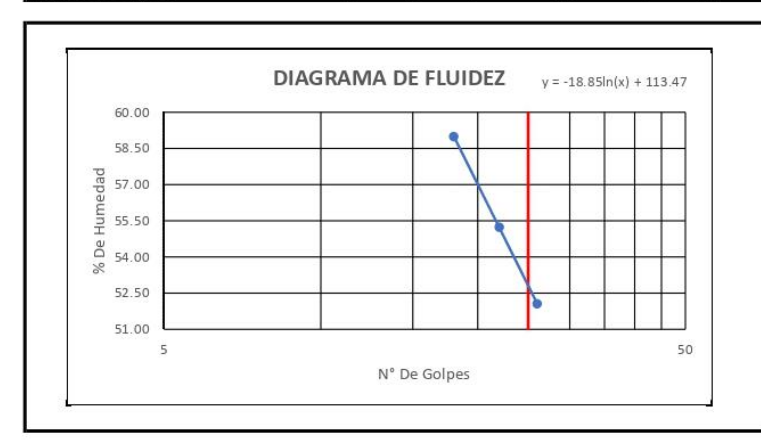
N: 9292870

E: 0330912

# METODO DE ENSAYO PARA DETERMINAR EL LIMITE LIQUIDO, LIMITE PLASTICO, E INDICE DE PLASTICIDAD DE SUELOS

#### Determinación del Límite Líquido (N.T.P. 339.129)

Recipiente N°	150 Ct 155	156 C/T 152	157
Peso del recipiente grs.	36.64	36.75	36.55
Peso del suelo húmedo + recipiente grs.	58.69	56.20	59.63
Peso del suelo seco + recipiente grs.	50.51	49.28	51.73
Peso del agua grs.	8.18	6.92	7.90
Peso del suelo seco grs.	13.87	12.53	15.18
Contenido de Humedad %	58.98	55.23	52.04
Número de Golpes	18	22	26



Límite Líquido (%)	53
Límite Plástico (%)	24
Índice de Plasticidad Ip (%)	29

#### Determinación del Límite Plástico (N.T.P. 339.131)

Recipiente N°	5	20	21
Peso del recipiente grs.	lel recipiente grs. 15.80		15.75
Peso del suelo húmedo + recipiente grs.	16.79	17.02	17.09
Peso del suelo seco + recipiente grs.	16.60	16.78	16.83
Peso del agua grs.	0.19	0.240	0.26
Peso del suelo seco grs.	0.80	1.04	1.08
Contenido de Humedad %	23.75	23.08	24.07
Promedio del contenido de humedad LP	23.63		

Fotografía N° 38: Ensayo de Límites de Consistencia de la C-09.



FACULTAD DE INGENIERIA CIVIL Y ARQUITECTURA LABORATORIO DE MECANICA DE SUELOS Y PAVIMENTOS



#### ANALISIS GRANULOMETRICO POR TAMIZADO - N.T.P. 339.128

A.- DATOS GENERALES

"INFLUENCIA DEL ÍNDICE PLÁSTICO EN EL CONTENIDO ÓPTIMO DE HUMEDAD EN SUELOS ARCILLOSOS APLICADO EN AFIRMADO DE Tesis:

CARRETERAS EN EL DISTRITO DE LAMAS, PROVINCIA DE LAMAS, REGIÓN SAN MARTIN"

Distrito de Lamas

Localización del proyecto : Descripción del Suelo : Identificación de la Muestra : Color Marrón Talud Lado Derecho Profundidad de la Muestra : 0.50 m Calicata: C-9 09/12/2021 Operador: Fecha:

Remoldeada Coordenadas Punto de Muestra: Tipo de la Muestra: No alterada X Alterada

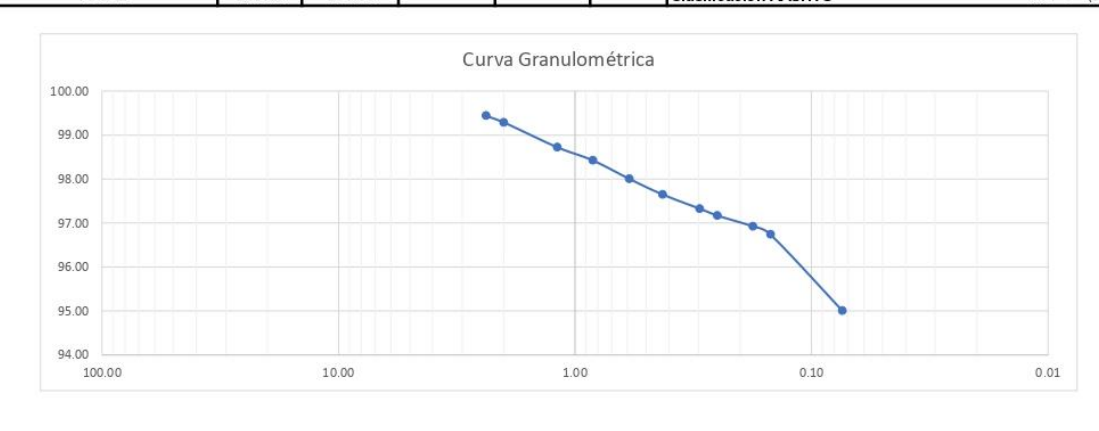
Extracción de Muestra: Técnico UNSM Bachiller X N: 9292870 E: 0330912

B.- DATOS TECNICOS

ANALISIS GRANULOMETRICO POR TAMIZADO N.T.P.339.128

LITOI FEITHIUGO /6	0.0076	Fermina
TOO TECHIOOS DEL	ENCAVO V E	TADOC

TAMI	CES	Peso	Peso Ret.	% Retenido	% Retenido	% Que	DATOS TECNICOS DEL EN	ISAYO Y RE	SULTADOS
Ø	(mm)	Retenido	Corregido	Parcial	Acumulado	pasa	Número del Recipiente:		P - 51
Tamiz 5"	127.00						Peso del Recipiente:		109.67
Tamiz 4"	101.60						Peso del recipiente + suelo seco:		119.35
Tamiz 3"	76.20						Peso del suelo seco :		9.68
Tamiz 2"	50.80						Peso del suelo seco antes del lavado		200.00
Tamiz 1 1/2"	38.10						Resultados C	btenidos:	
Tamiz 1"	25.40						Contenido de humedad natural	=	20.19
Tamiz 3/4"	19.050						Límite Líquido	=	53
Tamiz 1/2"	12.700						Límite Plástico	=	24
Tamiz 3/8"	9.525				- 5		Índice Plástico	=	29
Tamiz 1/4"	6.350				27		Grava	=	0.00
N° 4	4.760	1		1		100.00	Arena	=:	5.00
N° 8	2.380	1.12	1.12	0.56	0.56	99.44	Limos y Arcillas	=	95.01
N° 10	2.000	0.30	0.30	0.15	0.71	99.29	Porcentajes que pasan :		
N° 16	1.190	1.13	1.13	0.57	1.28	98.73	% Pasa el Tamiz N° 4	=	100.00 %
N° 20	0.840	0.60	0.60	0.30	1.58	98.43	% Pasa el Tamiz N° 10	=	99.29 %
N° 30	0.590	0.84	0.84	0.42	2.00	98.01	% Pasa el Tamiz N° 40	=	97.65 %
N° 40	0.426	0.71	0.71	0.36	2.35	97.65	% Pasa el Tamiz N° 200	=:	95.01 %
N° 50	0.297	0.65	0.65	0.33	2.68	97.33	D60 :	= 0	98.02
N° 60	0.250	0.31	0.31	0.16	2.83	97.17	D30 :	=	97.33
N° 80	0.177	0.49	0.49	0.25	3.08	96.93	D10:	=	95.61
N° 100	0.149	0.37	0.37	0.19	3.26	96.74	Cc (Coeficiente de curvatura):	=	1.01
N° 200	0.074	3.47	3.47	1.74	5.00	95.01	Cu (Coeficiente de Uniformidad):	=	1.03
Fondo	0.010	190.01	190.01	95.01	100	0.00	Clasificación S.U.C.S.	=	CH
TOT	AL	200.00	200.00				Clasificación AASHTO	=	A-7-6 (20)



Fotografía N° 39: Ensayo de Análisis granulométrico por tamizado de la C-09.



FACULTAD DE INGENIERIA CIVIL Y ARQUITECTURA LABORATORIO DE MECANICA DE SUELOS Y PAVIMENTOS



"INFLUENCIA DEL ÍNDICE PLÁSTICO EN EL CONTENIDO ÓPTIMO DE HUMEDAD EN SUELOS ARCILLOSOS APLICADO EN AFIRMADO DE CARRETERAS EN EL DISTRITO DE LAMAS, PROVINCIA DE LAMAS, REGIÓN SAN MARTIN" Tesis:

Localización del proyecto : Distrito de Lamas Descripción del Suelo : Color Marrón Identificación de la Muestra: Talud Lado Derecho

Profundidad de la Muestra: 0.50 m Calicata: C-9 Fecha: 09/12/2021

Coordenadas Punto de Muestra: Tipo de la Muestra: No alterada X Remoldeada Alterada

Técnico UNSM Extracción de Muestra: Bachiller X Cliente

N: 9292870 E: 0330912

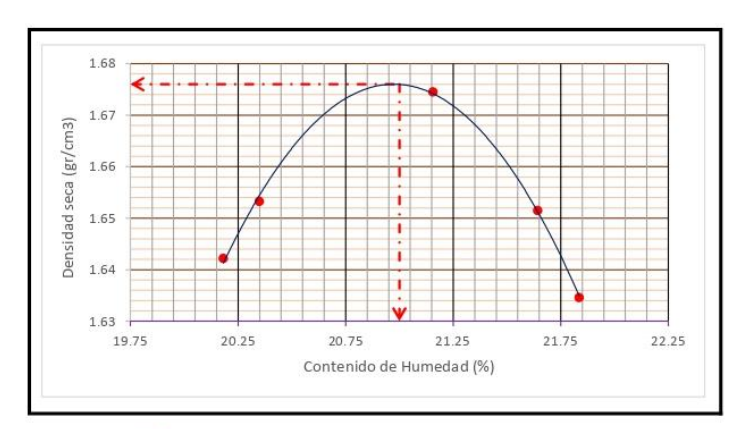
#### METODO DE ENSAYO PARA DETERMINAR EL PROCTOR MODIFICADO

Determinación del Proctor Modificado (N.T.P. 339.149)

METODO DE COMPACTACIÓN:

Volumen del Molde :

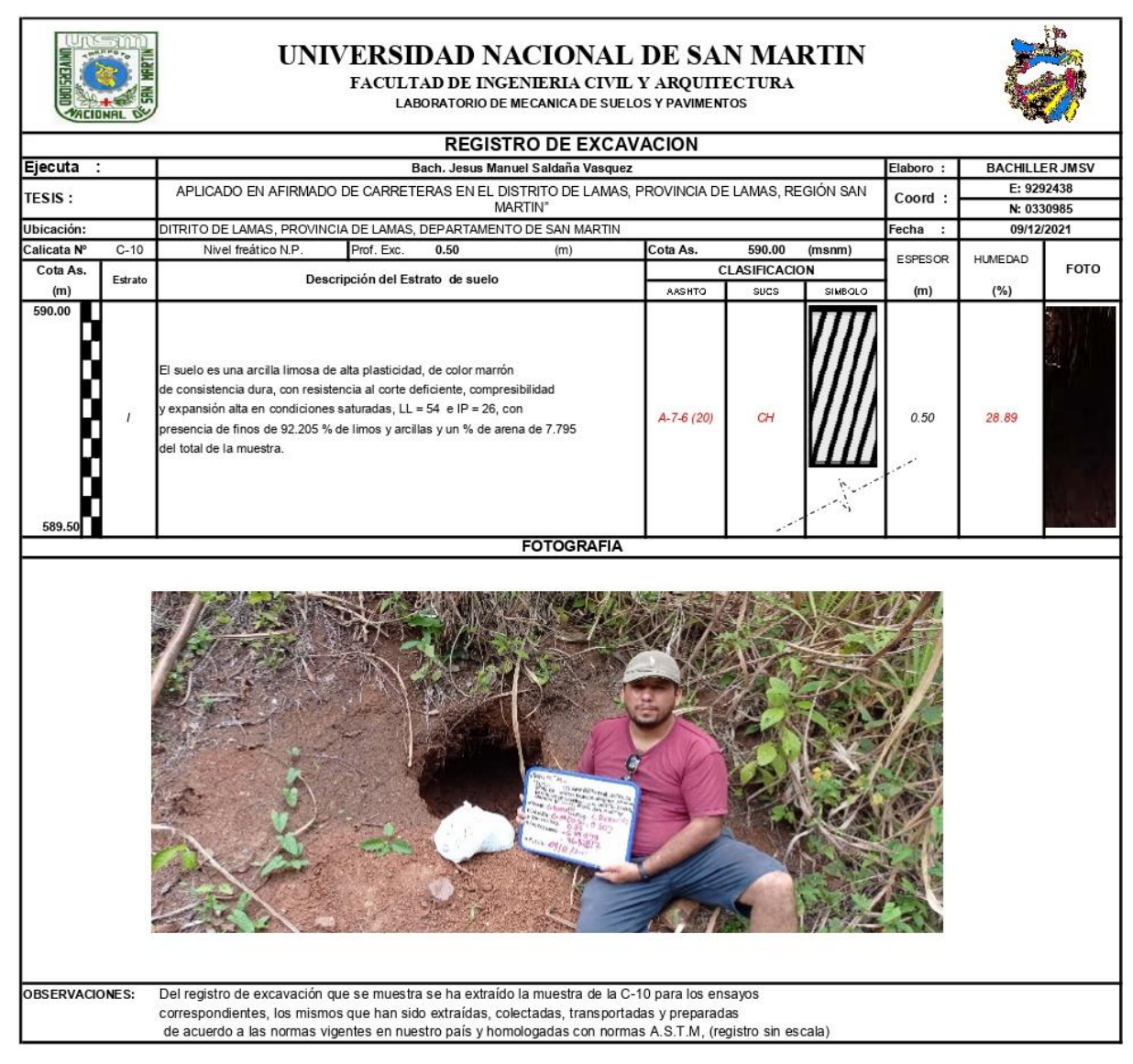
PUNTO	P1	P2	P3	P4	P5
N° Capas	5	5	5	5	5
N° Golpes por capa	25	25	25	25	25
Porcentaje de Agua	6 %	8 %	10 %	12 %	14 %
Peso Suelo + Molde	6960.00	6994.00	7077.00	7035.00	6998.00
Peso Del Molde	2770.00	2770.00	2770.00	2770.00	2770.00
Peso Suelo Húmedo Compactado	4190.00	4224.00	4307.00	4265.00	4228.00
Densidad Húmeda	1.97	1.99	2.03	2.01	1.99
Capsula Nro.	P - 84	P - 106	P - 205	P - 26	P - 44
Peso De La Capsula	84.48	92.22	69.09	100.04	101.92
Peso Suelo Húmedo +Capsula	162.43	190.22	176.52	212.73	221.77
Peso Suelo Seco + Capsula	149.34	173.65	157.76	192.68	200.29
Peso De Agua	13.09	16.57	18.76	20.05	21.48
Peso Del Suelo Seco	64.86	81.43	88.67	92.64	98.37
Contenido Humedad	20.18	20.35	21.16	21.64	21.84
Densidad Seca	1.6422	1.6532	1.6745	1.6515	1.6346



Densidad Seca Máxima	1.68
Contenido de Humedad Óptima	21.00

Fotografía Nº 40: Ensayo de Proctor Modificado de la C-09.

# Calicata N° 10:



Fotografía N° 41: Registro de excavación de la C-10.



FACULTAD DE INGENIERIA CIVIL Y ARQUITECTURA
LABORATORIO DE MECANICA DE SUELOS Y PAVIMENTOS



Profundidad de la Muestra: 0.50 m

Tesis: "INFLUENCIA DEL ÍNDICE PLÁSTICO EN EL CONTENIDO ÓPTIMO DE HUMEDAD EN SUELOS ARCILLOSOS APLICADO EN AFIRMADO DE CARRETERAS EN EL DISTRITO DE LAMAS, PROVINCIA DE LAMAS, REGIÓN SAN MARTIN"

AFINIMADO DE CARRETERAS EN EL DISTRITO DE LAWAS, PROVINCIA DE LAWAS, REGION SAN WARTIN

Localización del proyecto : Distrito de Lamas
Descripción del Suelo : Color Marón
Identificación de la Muestra : Talud Lado Derecho

Operation.

Tipo de la Muestra: Alterada No alterada X Remoldeada Coordenadas Punto de Muestra:

Extracción de Muestra: Cliente Técnico UNSM Bachiller X E: 9292438

N: 0330985

#### METODO DE ENSAYO PARA DETERMINAR EL CONTENIDO DE HUMEDAD

# Determinación del Límite Líquido (N.T.P. 339.127)

Recipiente N°	P - 84	P - 87	P - 25
Peso del recipiente grs.	84.48	86.69	88.49
Peso del suelo húmedo + recipiente grs.	271.27	253.43	280.11
Peso del suelo seco + recipiente grs.	229.56	215.87	237.23
Peso del agua grs.	41.71	37.56	42.88
Peso del suelo seco grs.	145.08	129.18	148.74
Contenido de Humedad %	28.75	29.08	28.83
Promedio de contenido de humedad %		28.88	

Fotografía Nº 42: Ensayo de Contenido de Humedad de la C-10.



FACULTAD DE INGENIERIA CIVIL Y ARQUITECTURA LABORATORIO DE MECANICA DE SUELOS Y PAVIMENTOS



Tesis: "INFLUENCIA DEL ÍNDICE PLÁSTICO EN EL CONTENIDO ÓPTIMO DE HUMEDAD EN SUELOS ARCILLOSOS APLICADO EN AFIRMADO DE CARRETERAS EN EL DISTRITO DE LAMAS, PROVINCIA DE LAMAS, REGIÓN SAN MARTIN"

Localización del proyecto : Distrito de Lamas

Descripción del Suelo : Color Marón Profundidad de la Muestra: 0.50 m Identificación de la Muestra : Talud Lado Derecho 09/12/2021 Operador: Calicata: C - 10 Fecha:

Tipo de la Muestra: Alterada [ No alterada X Remoldeada Coordenadas Punto de Muestra:

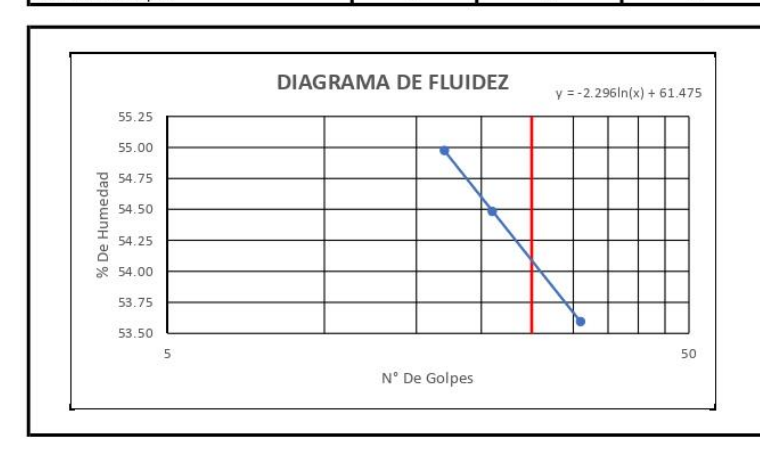
Extracción de Muestra: Cliente Técnico UNSM Bachiller E: 9292438

N: 0330985

## METODO DE ENSAYO PARA DETERMINAR EL LIMITE LIQUIDO, LIMITE PLASTICO, E INDICE DE PLASTICIDAD DE SUELOS

#### Determinación del Límite Líquido (N.T.P. 339.129)

Recipiente N°	T-40	T-39	T-38
Peso del recipiente grs.	26.08	25.22	27.66
Peso del suelo húmedo + recipiente grs.	41.19	42.97	39.84
Peso del suelo seco + recipiente grs.	35.83	36.71	35.59
Peso del agua grs.	5.36	6.26	4.25
Peso del suelo seco grs.	9.75	11.49	7.93
Contenido de Humedad %	54.97	54.48	53.59
Número de Golpes	17	21	31



Límite Líquido (%)	54
Límite Plástico (%)	28
Índice de Plasticidad Ip (%)	26

#### Determinación del Límite Plástico(N.T.P. 339.131)

Determinacion dei Emilite Flastico(14.1.F.			
Recipiente N°	L-21	L-22	L-23
Peso del recipiente grs.	15.56	15.11	15.13
Peso del suelo húmedo + recipiente grs.	17.34	16.85	16.85
Peso del suelo seco + recipiente grs.	16.96	16.47	16.47
Peso del agua grs.	0.38	0.380	0.38
Peso del suelo seco grs.	1.40	1.36	1.34
Contenido de Humedad %	27.14	27.94	28.36
Promedio del contenido de humedad LP		27.81	

Fotografía Nº 43: Ensayo de Límites de Consistencia de la C-10.



FACULTAD DE INGENIERIA CIVIL Y ARQUITECTURA



#### LABORATORIO DE MECANICA DE SUELOS Y PAVIMENTOS ANALISIS GRANULOMETRICO POR TAMIZADO - N.T.P. 339.128 A.- DATOS GENERALES Tesis: "INFLUENCIA DEL ÍNDICE PLÁSTICO EN EL CONTENIDO ÓPTIMO DE HUMEDAD EN SUELOS ARCILLOSOS APLICADO EN AFIRMADO DE CARRETERAS EN EL DISTRITO DE LAMAS, PROVINCIA DE LAMAS, REGIÓN SAN MARTIN" Localización del proyecto : Distrito de Lamas Descripción del Suelo: Color Marón Profundidad de la Muestra: 0.50 m Identificación de la Muestra : Talud Lado Derecho 09/12/2021 Operador: Calicata: C-10 Fecha: Tipo de la Muestra: No alterada X Remoldeada Coordenadas Punto de Muestra: Alterada Extracción de Muestra: Cliente Técnico UNSM Bachiller X F: 9292438 N: 0330985 **B.- DATOS TECNICOS** ANALISIS GRANULOMETRICO POR TAMIZADO N.T.P.339.128 Error Permitido% = 0.00% Permitido DATOS TECNICOS DEL ENSAYO Y RESULTADOS TAMICES % Retenido % Retenido % Que Retenido Corregido Parcial Acumulado pasa Número del Recipiente: P - 87 (mm) Tamiz 5" 127.00 Peso del Recipiente: 86.69 Tamiz 4" 101.60 Peso del recipiente + suelo seco: 102.28 Tamiz 3" 76.20 Peso del suelo seco 15.59 Tamiz 2" 50.80 Peso del suelo seco antes del lavado: 200 00 Tamiz 1 1/2" Resultados Obtenidos: 38.10 28.89 Contenido de humedad natural 25.40 Tamiz 1' 54 28 Tamiz 3/4" Límite Líquido 19.050 Tamiz 1/2" 12.700 Límite Plástico Tamiz 3/8" Índice Plástico 9.525 Tamiz 1/4" Grava 0.00 100.00 Arena 4.760 N° 8 2.380 99.88 Limos y Arcillas 92.21 0.25 0.13 N° 10 2.000 0.02 0.02 0.01 0.14 99.87 Porcentajes que pasan : % Pasa el Tamiz Nº 4 N° 16 99.81 100.00 % 1.190 0.11 0.11 0.06 0.19 N° 20 % Pasa el Tamiz Nº 10 99.87 % 98.85 % 0.840 0.27 0.27 0.33 N° 30 0.590 0.73 0.73 0.37 0.69 99 31 % Pasa el Tamiz Nº 40 N° 40 % Pasa el Tamiz Nº 200 92.21 % 0.47 1.16 1.73 98.85 0.426 0.93 0.93 0.58 0.297 1.15 1.15 N° 60 0.67 0.34 2.07 97 94 98 28 N° 80 1.68 1.68 2.91 3.59 97.10 0.177 0.84 D10 93.66 N° 100 0.149 0.69 96.41 1.04 Cc (Coeficiente de curvatura): N° 200 0.074 8.41 8.41 4 21 7.80 92.21 Cu (Coeficiente de Uniformidad): 1.06 92.21 Fondo 0.010 184 41 184 41 100 0.00 Clasificación S.U.C.S. CH A-7-6 (20) 200.00 200.00 Clasificación AASHTO Curva Granulométrica 100.00 94.00 93.00 92.00 91.00 100.00

Fotografía N° 44: Ensayo de Análisis granulométrico por tamizado de la C-10.



FACULTAD DE INGENIERIA CIVIL Y ARQUITECTURA
LABORATORIO DE MECANICA DE SUELOS Y PAVIMENTOS



Tesis: "INFLUENCIA DEL ÍNDICE PLÁSTICO EN EL CONTENIDO ÓPTIMO DE HUMEDAD EN SUELOS ARCILLOSOS APLICADO EN AFIRMADO DE CARRETERAS EN EL DISTRITO DE LAMAS, PROVINCIA DE LAMAS, REGIÓN SAN MARTIN"

Localización del proyecto : Distrito de Lamas

 Descripción del Suelo :
 Color Marón

 Identificación de la Muestra :
 Talud Lado Derecho

 Operador :
 Calicata :

 Calicata :
 C - 10

 Fecha :
 09/12/2021

Tipo de la Muestra: Alterada No alterada X Remoldeada Coordenadas Punto de Muestra:

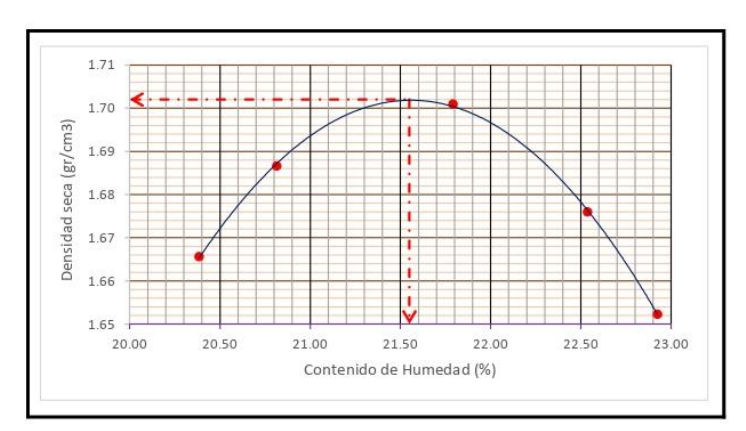
Extracción de Muestra: Cliente Técnico UNSM Bachiller X E: 9292438 N: 0330985

## METODO DE ENSAYO PARA DETERMINAR EL PROCTOR MODIFICADO

Determinación del Proctor Modificado (N.T.P. 339.149)

METODO DE COMPACTACIÓN : A Volumen del Molde : 2123

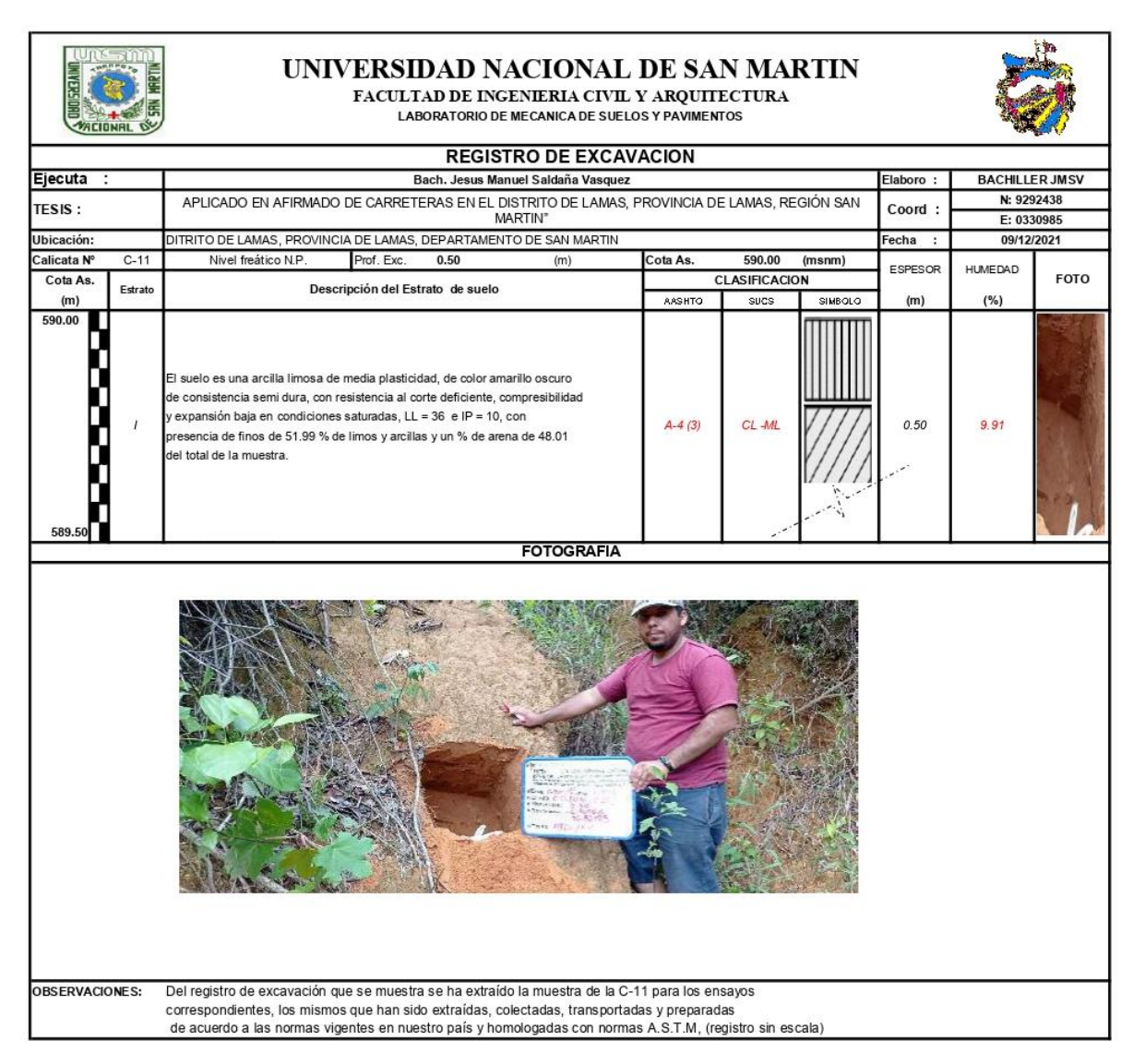
PUNTO	P1	P2	P3	P4	P5
N° Capas	5	5	5	5	5
N° Golpes por capa	25	25	25	25	25
Porcentaje de Agua	6 %	8 %	10 %	12 %	14 %
Peso Suelo + Molde	7027.00	7096.00	7168.00	7130.00	7082.00
Peso Del Molde	2770.00	2770.00	2770.00	2770.00	2770.00
Peso Suelo Húmedo Compactado	4257.00	4326.00	4398.00	4360.00	4312.00
Densidad Húmeda	2.01	2.04	2.07	2.05	2.03
Capsula Nro.	P - 24	P-87	P - 25	P - 90	P - 200
Peso De La Capsula	108.03	86.69	88.49	84.57	68.21
Peso Suelo Húmedo +Capsula	193.78	191.28	199.76	205.49	200.76
Peso Suelo Seco + Capsula	179.26	173.26	179.85	183.25	176.04
Peso De Agua	14.52	18.02	19.91	22.24	24.72
Peso Del Suelo Seco	71.23	86.57	91.36	98.68	107.83
Contenido Humedad	20.38	20.82	21.79	22.54	22.92
Densidad Seca	1.6656	1.6866	1.7009	1.6760	1.6523



	.65
Densidad Seca Máxima	1.70
Contenido de Humedad Óntima	21.55

Fotografía Nº 45: Ensayo de Proctor Modificado de la C-10.

# Calicata N° 11:



Fotografía Nº 46: Registro de excavación de la C-11.



FACULTAD DE INGENIERIA CIVIL Y ARQUITECTURA
LABORATORIO DE MECANICA DE SUELOS Y PAVIMENTOS



Tesis: "INFLUENCIA DEL ÍNDICE PLÁSTICO EN EL CONTENIDO ÓPTIMO DE HUMEDAD EN SUELOS ARCILLOSOS APLICADO EN AFIRMADO DE CARRETERAS EN EL DISTRITO DE LAMAS, PROVINCIA DE LAMAS, REGIÓN SAN MARTIN"

Localización del proyecto : Distrito de Lamas Descripción del Suelo : Color Amarillo Profundidad de la Muestra: 0.50 m Identificación de la Muestra : Talud Lado Izquierdo Operador : Calicata: C - 11 Fecha: 09/12/2021 Tipo de la Muestra: No alterada X Remoldeada Coordenadas Punto de Muestra: Alterada Extracción de Muestra: Cliente Técnico UNSM Bachiller X N: 9292438 E: 0330985

#### METODO DE ENSAYO PARA DETERMINAR EL CONTENIDO DE HUMEDAD

#### Determinación del Límite Líquido (N.T.P. 339.127)

Recipiente N°	P-3	P -29	P - 117
Peso del recipiente grs.	119.08	80.53	98.89
Peso del suelo húmedo + recipiente grs.	287.69	195.72	261.32
Peso del suelo seco + recipiente grs.	272.85	185.07	246.71
Peso del agua grs.	14.84	10.65	14.61
Peso del suelo seco grs.	153.77	104.54	147.82
Contenido de Humedad %	9.65	10.19	9.88
Promedio de contenido de humedad %		9.91	

Fotografía Nº 47: Ensayo de Contenido de Humedad de la C-11.



FACULTAD DE INGENIERIA CIVIL Y ARQUITECTURA LABORATORIO DE MECANICA DE SUELOS Y PAVIMENTOS



Tesis: "INFLUENCIA DEL ÍNDICE PLÁSTICO EN EL CONTENIDO ÓPTIMO DE HUMEDAD EN SUELOS ARCILLOSOS APLICADO EN AFIRMADO DE CARRETERAS EN EL DISTRITO DE LAMAS, PROVINCIA DE LAMAS, REGIÓN SAN MARTIN"

Localización del proyecto : Distrito de Lamas

Descripción del Suelo : Color Amarillo Profundidad de la Muestra: 0.50 m

Identificación de la Muestra: Talud Lado Izquierdo 09/12/2021 Operador: Calicata: C - 11 Fecha:

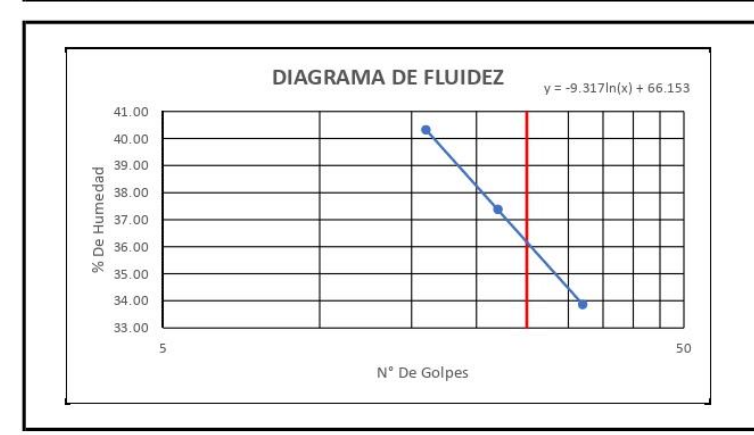
Tipo de la Muestra: Alterada [ No alterada X Remoldeada Coordenadas Punto de Muestra:

N: 9292438 E: 0330985 Técnico UNSM Bachiller X Extracción de Muestra: Cliente

## METODO DE ENSAYO PARA DETERMINAR EL LIMITE LIQUIDO, LIMITE PLASTICO, E INDICE DE PLASTICIDAD DE SUELOS.

#### Determinación del Límite Líquido (N.T.P. 339.129)

Recipiente N°	21 C/T 103	140	68 C/T 104
Peso del recipiente grs.	32.21	31.60	31.60
Peso del suelo húmedo + recipiente grs.	51.98	53.25	63.19
Peso del suelo seco + recipiente grs.	46.30	47.36	55.20
Peso del agua grs.	5.68	5.89	7.99
Peso del suelo seco grs.	14.09	15.76	23.60
Contenido de Humedad %	40.31	37.37	33.86
Número de Golpes	16	22	32



Límite Líquido (%)	36
Límite Plástico (%)	26
Indice de Plasticidad Ip (%)	10

#### Determinación del Límite Plástico(N.T.P. 339.131)

Recipiente N°	110	53 C/T 96	98 TAPA
Peso del recipiente grs.	31.17	31.07	31.31
Peso del suelo húmedo + recipiente grs.	33.97	33.16	33.11
Peso del suelo seco + recipiente grs.	33.40	32.73	32.73
Peso del agua grs.	0.57	0.430	0.38
Peso del suelo seco grs.	2.23	1.66	1.42
Contenido de Humedad %	25.56	25.90	26.76
Promedio del contenido de humedad LP		26.07	

Fotografía Nº 48: Ensayo de Límites de Consistencia de la C-11.

N: 9292438 E: 0330985



# UNIVERSIDAD NACIONAL DE SAN MARTIN

FACULTAD DE INGENIERIA CIVIL Y ARQUITECTURA LABORATORIO DE MECANICA DE SUELOS Y PAVIMENTOS



#### ANALISIS GRANULOMETRICO POR TAMIZADO - N.T.P. 339.128

#### A.- DATOS GENERALES

"INFLUENCIA DEL ÍNDICE PLÁSTICO EN EL CONTENIDO ÓPTIMO DE HUMEDAD EN SUELOS ARCILLOSOS APLICADO EN AFIRMADO DE Tesis:

CARRETERAS EN EL DISTRITO DE LAMAS, PROVINCIA DE LAMAS, REGIÓN SAN MARTIN"

Localización del proyecto : Distrito de Lamas

Descripción del Suelo : Identificación de la Muestra : Color Amarillo Talud Lado Izquierdo Profundidad de la Muestra : Calicata : C - 11 Fech 0.50 m Operador: 09/12/2021 Fecha:

Remoldeada X Coordenadas Punto de Muestra: Tipo de la Muestra: Alterada No alterada

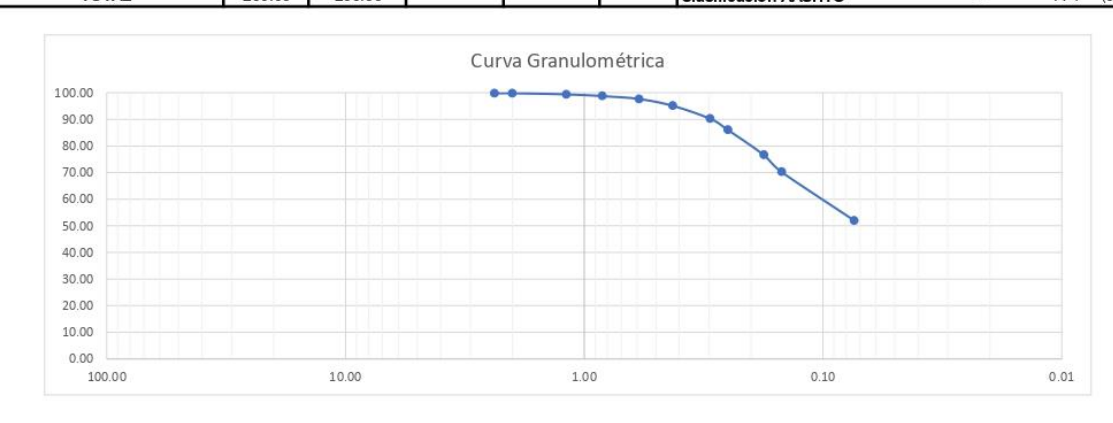
Extracción de Muestra: Técnico UNSM Bachiller X Cliente

#### **B.- DATOS TECNICOS**

ANALISIS GRANULOMETRICO POR TAMIZADO N.T.P.339.128

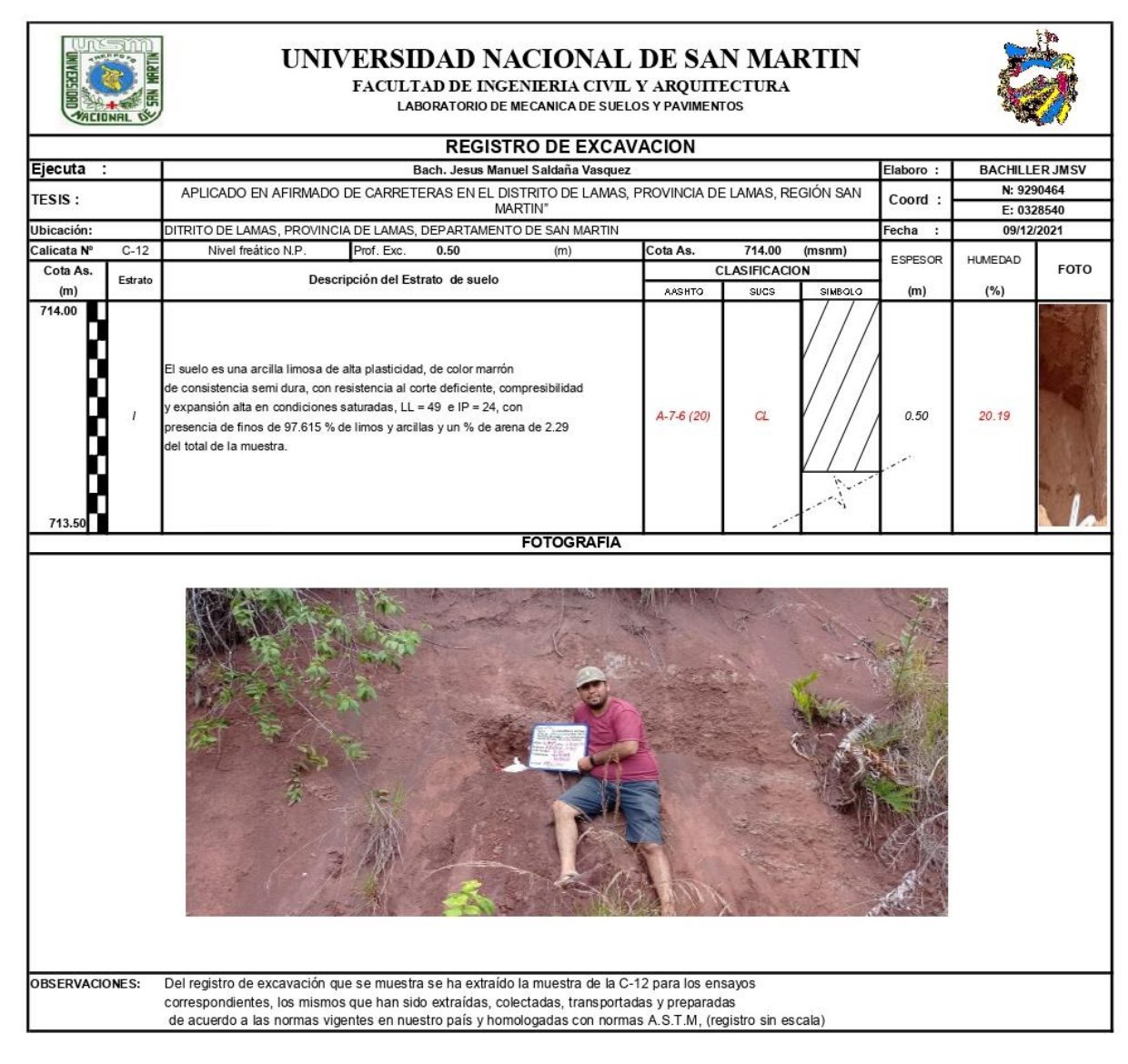
Permitido Error Permitido% = 0.00%

TAMI	CES	Peso	Peso Ret.	% Retenido	% Retenido	% Que	DATOS TECNICOS DEL EN	ISAYO Y RE	SULTADOS
Ø	(mm)	Retenido	Corregido	Parcial	Acumulado	pasa	Número del Recipiente:		P 84
Tamiz 5"	127.00						Peso del Recipiente:		84.48
Tamiz 4"	101.60				*		Peso del recipiente + suelo seco:		180.50
Tamiz 3"	76.20						Peso del suelo seco :		96.02
Tamiz 2"	50.80						Peso del suelo seco antes del lavado	6	200.00
Tamiz 1 1/2"	38.10						Resultados C	btenidos:	dis-
Tamiz 1"	25.40						Contenido de humedad natural	=	9.91
Tamiz 3/4"	19.050	-					Límite Líquido	=	36
Tamiz 1/2"	12.700	4	2		-		Límite Plástico	=	26
Tamiz 3/8"	9.525			i i			Índice Plástico	=	10
Tamiz 1/4"	6.350						Grava	=	0.00
N° 4	4.760					100.00	Arena	(=)	48.01
N° 8	2.380	0.36	0.36	0.18	0.18	99.82	Limos y Arcillas	8=	51.99
N° 10	2.000	0.08	0.08	0.04	0.22	99.78	Porcentajes o	ue pasan :	
N° 16	1.190	0.77	0.77	0.39	0.61	99.40	% Pasa el Tamiz N° 4	=	100.00 %
N° 20	0.840	1.26	1.26	0.63	1.24	98.77	% Pasa el Tamiz N° 10	=	99.78 %
N° 30	0.590	2.19	2.19	1.10	2.33	97.67	% Pasa el Tamiz N° 40	=	95.12 %
N° 40	0.426	5.11	5.11	2.56	4.89	95.12	% Pasa el Tamiz N° 200	=	51.99 %
N° 50	0.297	9.74	9.74	4.87	9.76	90.25	D60 :	=	97.71
N° 60	0.250	8.42	8.42	4.21	13.97	86.04	D30 :	=	90.36
N° 80	0.177	18.76	18.76	9.38	23.35	76.66	D10:	=	58.33
N° 100	0.149	12.75	12.75	6.38	29.72	70.28	Cc (Coeficiente de curvatura):	=	1.43
N° 200	0.074	36.58	36.58	18.29	48.01	51.99	Cu (Coeficiente de Uniformidad):	=	1.68
Fondo	0.010	103.98	103.98	51.99	100	0.00	Clasificación S.U.C.S.	=	CL-ML
TOT	AL	200.00	200.00				Clasificación AASHTO	=	A-4 (3)



Fotografía N° 49: Ensayo de Análisis granulométrico por tamizado de la C-11.

# Calicata N° 12:



Fotografía N° 50: Registro de excavación de la C-12.



FACULTAD DE INGENIERIA CIVIL Y ARQUITECTURA
LABORATORIO DE MECANICA DE SUELOS Y PAVIMENTOS



Tesis: "INFLUENCIA DEL ÍNDICE PLÁSTICO EN EL CONTENIDO ÓPTIMO DE HUMEDAD EN SUELOS ARCILLOSOS APLICADO EN AFIRMADO DE CARRETERAS EN EL DISTRITO DE LAMAS, PROVINCIA DE LAMAS, REGIÓN SAN MARTIN"

 Localización del proyecto :
 Distrito de Lamas

 Descripción del Suelo :
 Color Marrón

 Identificación de la Muestra :
 Talud Lado Derecho

 Operador :

Profundidad de la Muestra: 0.50 m Calicata: C - 12 Fecha: 09/12/2021

Tipo de la Muestra:

Alterada No alterada X Remoldeada Coordenadas Punto de Muestra:

Extracción de Muestra: Cliente Técnico UNSM Bachiller X

N: 9290464 E: 0328540

## METODO DE ENSAYO PARA DETERMINAR EL CONTENIDO DE HUMEDAD

Determinación del Límite Líquido (N.T.P. 339.127)

Recipiente N°	P - 97	P - 109	P - 112
Peso del recipiente grs.	84.15	90.11	88.66
Peso del suelo húmedo + recipiente grs.	264.44	203.84	204.59
Peso del suelo seco + recipiente grs.	248.20	193.82	194.41
Peso del agua grs.	16.24	10.02	10.18
Peso del suelo seco grs.	164.05	103.71	105.75
Contenido de Humedad %	9.90	9.66	9.63
Promedio de contenido de humedad %		9.73	

Fotografía Nº 51: Ensayo de Contenido de Humedad de la C-12.



FACULTAD DE INGENIERIA CIVIL Y ARQUITECTURA
LABORATORIO DE MECANICA DE SUELOS Y PAVIMENTOS



Tesis: "INFLUENCIA DEL ÍNDICE PLÁSTICO EN EL CONTENIDO ÓPTIMO DE HUMEDAD EN SUELOS ARCILLOSOS APLICADO EN AFIRMADO DE CARRETERAS EN EL DISTRITO DE LAMAS, PROVINCIA DE LAMAS, REGIÓN SAN MARTIN"

Localización del proyecto : Distrito de Lamas

Descripción del Suelo : Color Marrón

Identificación de la Muestra : Talud Lado Derecho Operador :

Profundidad de la Muestra: 0.50 m

Calicata: C - 12 Fecha: 09/12/2021

Tipo de la Muestra: Alterada No alterada X Remoldeada Coordenadas Punto de Muestra:

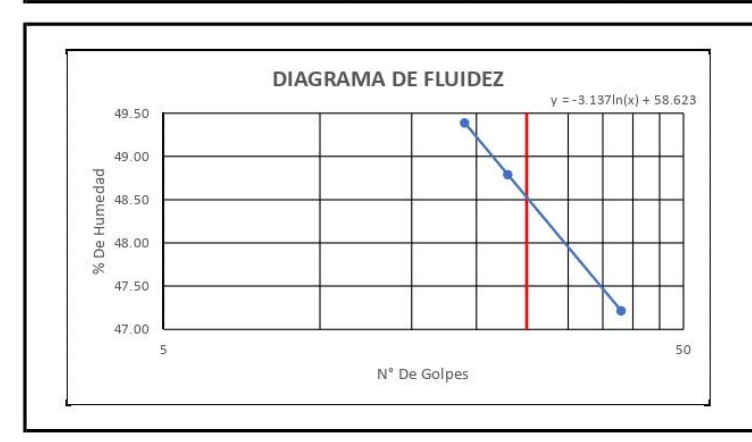
Extracción de Muestra: Cliente Técnico UNSM Bachiller X

N: 9290464 E: 0328540

## METODO DE ENSAYO PARA DETERMINAR EL LIMITE LIQUIDO, LIMITE PLASTICO, E INDICE DE PLASTICIDAD DE SUELOS

#### Determinación del Límite Líquido (N.T.P. 339.129)

Recipiente N°	15 C/T 14	01	22 C/T 2
Peso del recipiente grs.	15.55	15.66	15.59
Peso del suelo húmedo + recipiente grs.	39.87	44.48	38.29
Peso del suelo seco + recipiente grs.	31.83	35.03	31.01
Peso del agua grs.	8.04	9.45	7.28
Peso del suelo seco grs.	16.28	19.37	15.42
Contenido de Humedad %	49.39	48.79	47.21
Número de Golpes	19	23	38



Límite Líquido (%)	49
Límite Plástico (%)	25
Índice de Plasticidad Ip (%)	24

#### Determinación del Límite Plástico(N.T.P. 339.131)

Recipiente N°	155 C/T156	562 C/T 11	79 C/T 86	
Peso del recipiente grs.	36.59	31.22	31.34	
Peso del suelo húmedo + recipiente grs.	38.56	33.84	33.22	
Peso del suelo seco + recipiente grs.	38.17	33.31	32.83	
Peso del agua grs.	0.39	0.530	0.39	
Peso del suelo seco grs.	1.58	2.09	1.49	
Contenido de Humedad %	24.68	25.36	26.17	
Promedio del contenido de humedad LP		25.41		

Fotografía N° 52: Ensayo de Límites de Consistencia de la C-12.



FACULTAD DE INGENIERIA CIVIL Y ARQUITECTURA



#### LABORATORIO DE MECANICA DE SUELOS Y PAVIMENTOS ANALISIS GRANULOMETRICO POR TAMIZADO - N.T.P. 339.128 A.- DATOS GENERALES "INFLUENCIA DEL ÍNDICE PLÁSTICO EN EL CONTENIDO ÓPTIMO DE HUMEDAD EN SUELOS ARCILLOSOS APLICADO EN AFIRMADO DE Tesis: CARRETERAS EN EL DISTRITO DE LAMAS, PROVINCIA DE LAMAS, REGIÓN SAN MARTIN' Localización del proyecto: Distrito de Lamas Descripción del Suelo: Color Marrón Profundidad de la Muestra: 0.50 m 09/12/2021 Identificación de la Muestra : Talud Lado Derecho Operador: Calicata: C-12 Fecha: Tipo de la Muestra: Alterada No alterada Х Remoldeada Coordenadas Punto de Muestra: Extracción de Muestra: Cliente Técnico UNSM Bachiller X N: 9290464 E: 0328540 **B.- DATOS TECNICOS** ANALISIS GRANULOMETRICO POR TAMIZADO N.T.P.339.128 Error Permitido% = 0.00% Permitido % Retenido % Retenido % Que DATOS TECNICOS DEL ENSAYO Y RESULTADOS Número del Recipiente: Parcial Acumulado P-109 Retenido Corregido pasa (mm) Tamiz 5" Peso del Recipiente: 90.11 Tamiz 4" 101.60 Peso del recipiente + suelo seco: 94.69 Tamiz 3" 76.20 Peso del suelo seco 4.58 Tamiz 2" 50.80 Peso del suelo seco antes del lavado: 200.00 Tamiz 1 1/2" 38.10 Resultados Obtenidos: Tamiz 1" 25.40 Contenido de humedad natural 20.19 Tamiz 3/4" Límite Líquido 19.050 Tamiz 1/2" 12.700 Límite Plástico 25 Índice Plástico Tamiz 3/8 9.525 Tamiz 1/4" 0.09 6.350 Grava 4.760 0.19 0.19 0.10 99 91 Arena 0.53 99.38 97.62 Limos y Arcillas 2.380 1.06 1.06 0.63 N° 10 0.05 99.33 2.000 0.10 0.10 0.68 Porcentajes que pasan : N° 16 1.190 0.59 0.59 0.30 99.03 % Pasa el Tamiz Nº 4 99.91 % % Pasa el Tamiz Nº 10 N° 20 0.840 0.29 0.38 0.29 0.38 0.15 1.12 1.31 98.89 99.33 % 98.56 % N° 30 98.70 % Pasa el Tamiz N° 40 0.590 N° 40 0.426 0.27 0.27 0.14 1.44 98 56 % Pasa el Tamiz Nº 200 97.62 % 98.70 N° 50 0.297 0.250 0.31 0.16 1.60 98.41 N° 60 98.41 0.08 0.16 0.16 1.68 N° 80 0.31 0.31 0.16 1.83 98 17 D10 97 77 98.06 N° 100 0.149 0.22 0.11 1.94 Cc (Coeficiente de curvatura) 1.00 2.39 100 97.62 N° 200 0.074 0.89 0.89 0.45 Cu (Coeficiente de Uniformidad): 1.01 Fondo 0.010 97.62 0.00 Clasificación S.U.C.S. CL A-7-6 (20) TOTAL 200.00 200.00 Clasificación AASHTO Curva Granulométrica 100.00 99.50 99.00 98.50 98.00 97.50 100.00 10.00 1.00 0.10 0.01

Fotografía N° 53: Ensayo de Análisis granulométrico por tamizado de la C-12.



FACULTAD DE INGENIERIA CIVIL Y ARQUITECTURA LABORATORIO DE MECANICA DE SUELOS Y PAVIMENTOS



"INFLUENCIA DEL ÍNDICE PLÁSTICO EN EL CONTENIDO ÓPTIMO DE HUMEDAD EN SUELOS ARCILLOSOS APLICADO EN AFIRMADO DE CARRETERAS EN EL DISTRITO DE LAMAS, PROVINCIA DE LAMAS, REGIÓN SAN MARTIN" Tesis:

Distrito de Lamas Localización del proyecto : Descripción del Suelo : Color Marrón

Profundidad de la Muestra: 0.50 m Identificación de la Muestra: Talud Lado Derecho Operador: Calicata: C - 12 Fecha: 09/12/2021

Tipo de la Muestra: Alterada No alterada X Remoldeada Coordenadas Punto de Muestra:

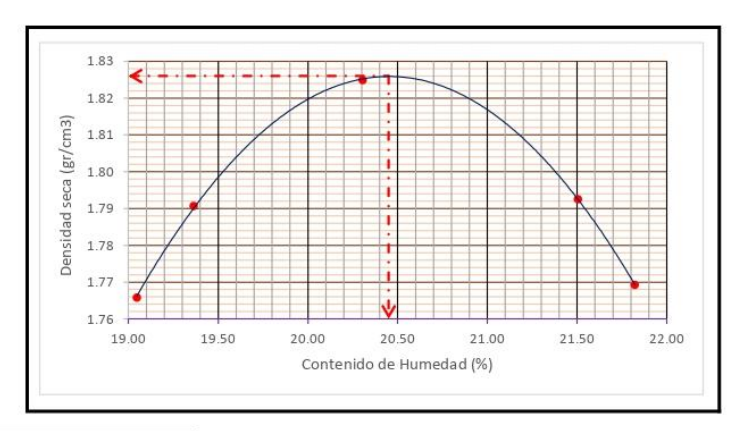
Bachiller X Cliente Técnico UNSM Extracción de Muestra: N: 9290464 E: 0328540

#### METODO DE ENSAYO PARA DETERMINAR EL PROCTOR MODIFICADO

Determinación del Proctor Modificado (N.T.P. 339.149)

METODO DE COMPACTACIÓN : Volumen del Molde : 2123

PUNTO	P1	P2	P3	P4	P5
N° Capas	5	5	5	5	5
N° Golpes por capa	25	25	25	25	25
Porcentaje de Agua	6 %	8 %	10 %	12 %	14 %
Peso Suelo + Molde	7233.00	7308.00	7431.00	7394.00	7346.00
Peso Del Molde	2770.00	2770.00	2770.00	2770.00	2770.00
Peso Suelo Húmedo Compactado	4463.00	4538.00	4661.00	4624.00	4576.00
Densidad Húmeda	2.10	2.14	2.20	2.18	2.16
Capsula Nro.	P - 103	P - 97	P - 109	P - 112	P - 19
Peso De La Capsula	81.67	84.15	90.11	88.66	102.21
Peso Suelo Húmedo +Capsula	175.61	188.14	209.02	222.96	248.14
Peso Suelo Seco + Capsula	160.58	171.27	188.95	199.19	222.00
Peso De Agua	15.03	16.87	20.07	23.77	26.14
Peso Del Suelo Seco	78.91	87.12	98.84	110.53	119.79
Contenido Humedad	19.05	19.36	20.31	21.51	21.82
Densidad Seca	1.7659	1.7908	1.8249	1,7926	1.7693



Densidad Seca Máxima	1.826
Contenido de Humedad Óptima	20.45

Fotografía N° 54: Ensayo de Proctor Modificado de la C-12.

# Calicata N° 13:



Fotografía N° 55: Registro de excavación de la C-13.



FACULTAD DE INGENIERIA CIVIL Y ARQUITECTURA LABORATORIO DE MECANICA DE SUELOS Y PAVIMENTOS



Tesis: "INFLUENCIA DEL ÍNDICE PLÁSTICO EN EL CONTENIDO ÓPTIMO DE HUMEDAD EN SUELOS ARCILLOSOS APLICADO EN AFIRMADO DE CARRETERAS EN EL DISTRITO DE LAMAS, PROVINCIA DE LAMAS, REGIÓN SAN MARTIN"

Localización del proyecto : Distrito de Lamas

Descripción del Suelo : Color Marón

 Descripción del Suelo :
 Color Marón

 Identificación de la Muestra :
 Talud Lado Derecho
 Operador :
 Calicata :
 C - 13
 Fecha :
 09/12/2021

Tipo de la Muestra:

Alterada No alterada X Remoldeada Coordenadas Punto de Muestra:

Extracción de Muestra: Cliente Técnico UNSM Bachiller X N: 9290892

E: 0329147

## METODO DE ENSAYO PARA DETERMINAR EL CONTENIDO DE HUMEDAD

Determinación del Límite Líquido (N.T.P. 339.127)

Recipiente N°	P - 2	P - 36	P-39
Peso del recipiente grs.	95.43	113.49	107.62
Peso del suelo húmedo + recipiente grs.	247.70	286.01	241.31
Peso del suelo seco + recipiente grs.	232.61	268.69	228.06
Peso del agua grs.	15.09	17.32	13.25
Peso del suelo seco grs.	137.18	155.20	120.44
Contenido de Humedad %	11.00	11.16	11.00
Promedio de contenido de humedad %		11.05	•

Fotografía N° 56: Ensayo de Contenido de Humedad de la C-13.





FACULTAD DE INGENIERIA CIVIL Y ARQUITECTURA LABORATORIO DE MECANICA DE SUELOS Y PAVIMENTOS

"INFLUENCIA DEL ÍNDICE PLÁSTICO EN EL CONTENIDO ÓPTIMO DE HUMEDAD EN SUELOS ARCILLOSOS APLICADO EN Tesis:

AFIRMADO DE CARRETERAS EN EL DISTRITO DE LAMAS, PROVINCIA DE LAMAS, REGIÓN SAN MARTIN"

Distrito de Lamas Localización del proyecto : Descripción del Suelo : Color Marón Identificación de la Muestra: Talud Lado Derecho

Operador : Calicata: C - 13 Fecha: Coordenadas Punto de Muestra:

Tipo de la Muestra: Alterada Extracción de Muestra: Cliente

X Remoldeada No alterada Técnico UNSM Bachiller

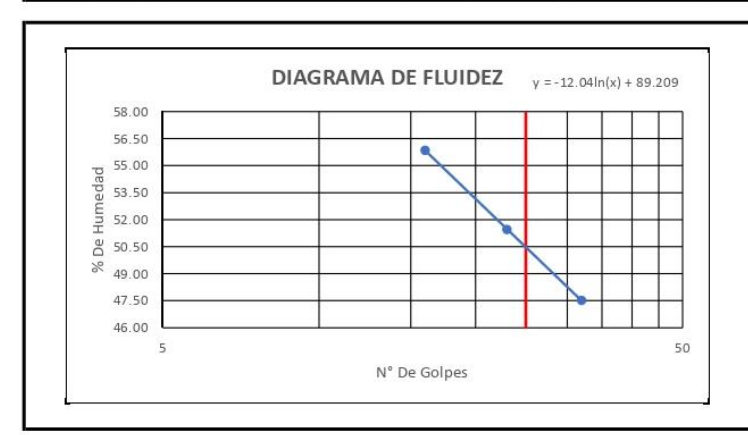
N: 9290892 E: 0329147

09/12/2021

#### METODO DE ENSAYO PARA DETERMINAR EL LIMITE LIQUIDO, LIMITE PLASTICO, E INDICE DE PLASTICIDAD DE SUELOS

#### Determinación del Límite Líquido (N.T.P. 339.129)

Recipiente N°	77 C/T 35	102 C/T 20	TAPA 100
Peso del recipiente grs.	31.32	31.57	31.55
Peso del suelo húmedo + recipiente grs.	58.92	61.45	58.41
Peso del suelo seco + recipiente grs.	49.03	51.30	49.76
Peso del agua grs.	9.89	10.15	8.65
Peso del suelo seco grs.	17.71	19.73	18.21
Contenido de Humedad %	55.84	51.44	47.50
Número de Golpes	16	23	32



Límite Líquido (%)	50
Límite Plástico (%)	24
Índice de Plasticidad Ip (%)	26

Profundidad de la Muestra: 0.50 m

#### Determinación del Límite Plástico(N.T.P. 339.131)

Recipiente N°	113 C/T 126	561 C/T 144	6 C/T 76	
Peso del recipiente grs.	29.73	31.26	31.32	
Peso del suelo húmedo + recipiente grs.	31.75	33.02	33.18	
Peso del suelo seco + recipiente grs.	31.36	32.69	32.81	
Peso del agua grs.	0.39	0.33	0.37	
Peso del suelo seco grs.	1.63	1.43	1.49	
Contenido de Humedad %	23.93	23.08	24.83	
Promedio del contenido de humedad LP		23.95		

Fotografía N° 57: Ensayo de Límites de Atterberg (Límite Líquido y Plástico) de la C-13.



FACULTAD DE INGENIERIA CIVIL Y ARQUITECTURA

LABORATORIO DE MECANICA DE SUELOS Y PAVIMENTOS



#### ANALISIS GRANULOMETRICO POR TAMIZADO - N.T.P. 339.128

A.- DATOS GENERALES

Tesis: "INFLUENCIA DEL ÍNDICE PLÁSTICO EN EL CONTENIDO ÓPTIMO DE HUMEDAD EN SUELOS ARCILLOSOS APLICADO EN AFIRMADO DE

CARRETERAS EN EL DISTRITO DE LAMAS, PROVINCIA DE LAMAS, REGIÓN SAN MARTIN"

Error Permitido% =

0.00%

Permitido

Localización del proyecto : Distrito de Lamas

 Descripción del Suelo:
 Color Marón
 Profundidad de la Muestra:
 0.50 m

 Identificación de la Muestra:
 Talud Lado Derecho
 Operador:
 Calicata:
 C - 13
 Fecha:
 0.9/12/2021

Tipo de la Muestra: Alterada No alterada X Remoldeada Coordenadas Punto de Muestra:

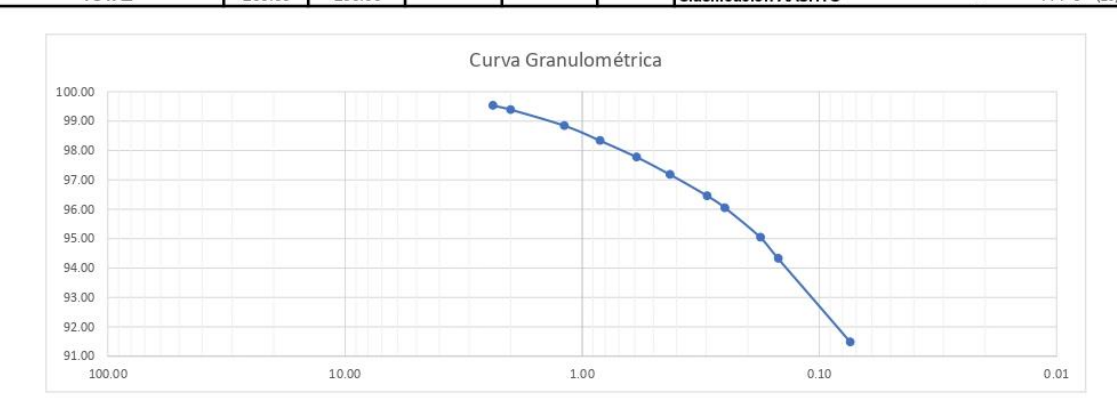
Extracción de Muestra: Cliente Técnico UNSM Bachiller X N: 9290892
E: 0329147

B.- DATOS TECNICOS

ANALISIS GRANULOMETRICO POR TAMIZADO N.T.P.339.128

TAMI	CES	Peso	Peso Ret.	% Retenido	% Retenido	% Que	DATOS TECNICOS DEL E	NSAYO Y RESI	JLTADOS
Ø	(mm)	Retenido	Corregido	Parcial	Acumulado	pasa	Número del Recipiente:		P - 39
Tamiz 5"	127.00				8		Peso del Recipiente:		107.62
Tamiz 4"	101.60				2		Peso del recipiente + suelo seco:		124.67
Tamiz 3"	76.20						Peso del suelo seco :	i <del>.</del>	17.05
Tamiz 2"	50.80						Peso del suelo seco antes del lavado	o: -	200.00
Tamiz 1 1/2"	38.10						Resultados (		
Tamiz 1"	25.40						Contenido de humedad natural	=	11.05
Tamiz 3/4"	19.050				8		Límite Líquido		50
Tamiz 1/2"	12.700				2		Límite Plástico	= -	24
Tamiz 3/8"	9.525	1					Índice Plástico	= -	26
Tamiz 1/4"	6.350				Ü		Grava	= "	0.00
N° 4	4.760					100.00	Arena	= -	8.53
N° 8	2.380	0.94	0.94	0.47	0.47	99.53	Limos y Arcillas	= "	91.48

Porcentajes que pasan : 1.190 % Pasa el Tamiz N° 4 100.00 % 1.09 1.09 1.16 % Pasa el Tamiz N° 10 % Pasa el Tamiz N° 40 N° 20 0.840 0.51 98.34 99.39 % 97.18 % 1.12 1.12 2.23 N° 40 0.426 1.19 1.19 0.60 2.82 97.18 % Pasa el Tamiz N° 200 91.48 % N° 50 0.297 1.45 1.45 0.73 96 46 97.80 0.82 2.01 0.82 2.01 0.41 3.96 4.96 96.05 96.47 0.250 D30 1.01 N° 80 0.177 95.04 92.46 N° 100 0.149 1.44 1.44 5.68 94.32 Cc (Coeficiente de curvatura) : 1.03 N° 200 91.48 0.074 5.69 5.69 2.85 8.53 Cu (Coeficiente de Uniformidad) : 1.06 Fondo 0.010 91.48 100 0.00 Clasificación S.U.C.S. СН A-7-6 (20) TOTAL 200.00 200.00 Clasificación AASHTO



Fotografía N° 59: Ensayo de Análisis granulométrico por tamizado de la C-13.



FACULTAD DE INGENIERIA CIVIL Y ARQUITECTURA LABORATORIO DE MECANICA DE SUELOS Y PAVIMENTOS



"INFLUENCIA DEL ÍNDICE PLÁSTICO EN EL CONTENIDO ÓPTIMO DE HUMEDAD EN SUELOS ARCILLOSOS APLICADO EN AFIRMADO DE CARRETERAS EN EL DISTRITO DE LAMAS, PROVINCIA DE LAMAS, REGIÓN SAN MARTIN" Tesis:

Localización del proyecto : Distrito de Lamas Descripción del Suelo : Color Marón Identificación de la Muestra: Talud Lado Derecho

Operador:

Profundidad de la Muestra: 0.50 m Calicata: C - 13 Fecha: 09/12/2021

Tipo de la Muestra: Alterada Extracción de Muestra: Cliente

No alterada X Remoldeada Coordenadas Punto de Muestra: Técnico UNSM Bachiller X

N: 9290892 E: 0329147

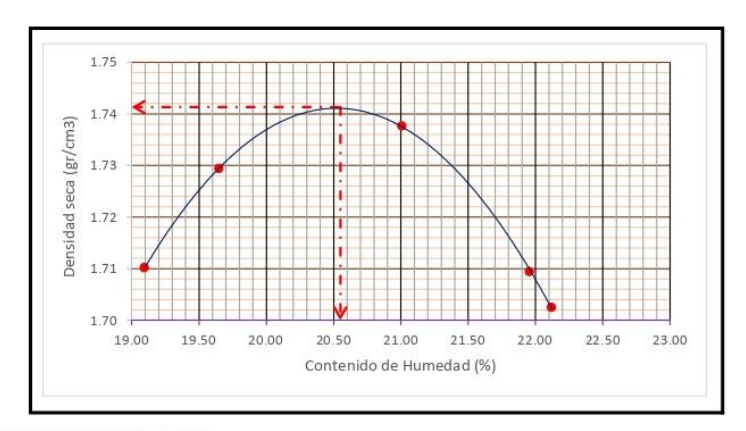
#### METODO DE ENSAYO PARA DETERMINAR EL PROCTOR MODIFICADO

Determinación del Proctor Modificado (N.T.P. 339.149)

METODO DE COMPACTACIÓN:

Volumen del Molde : 2123

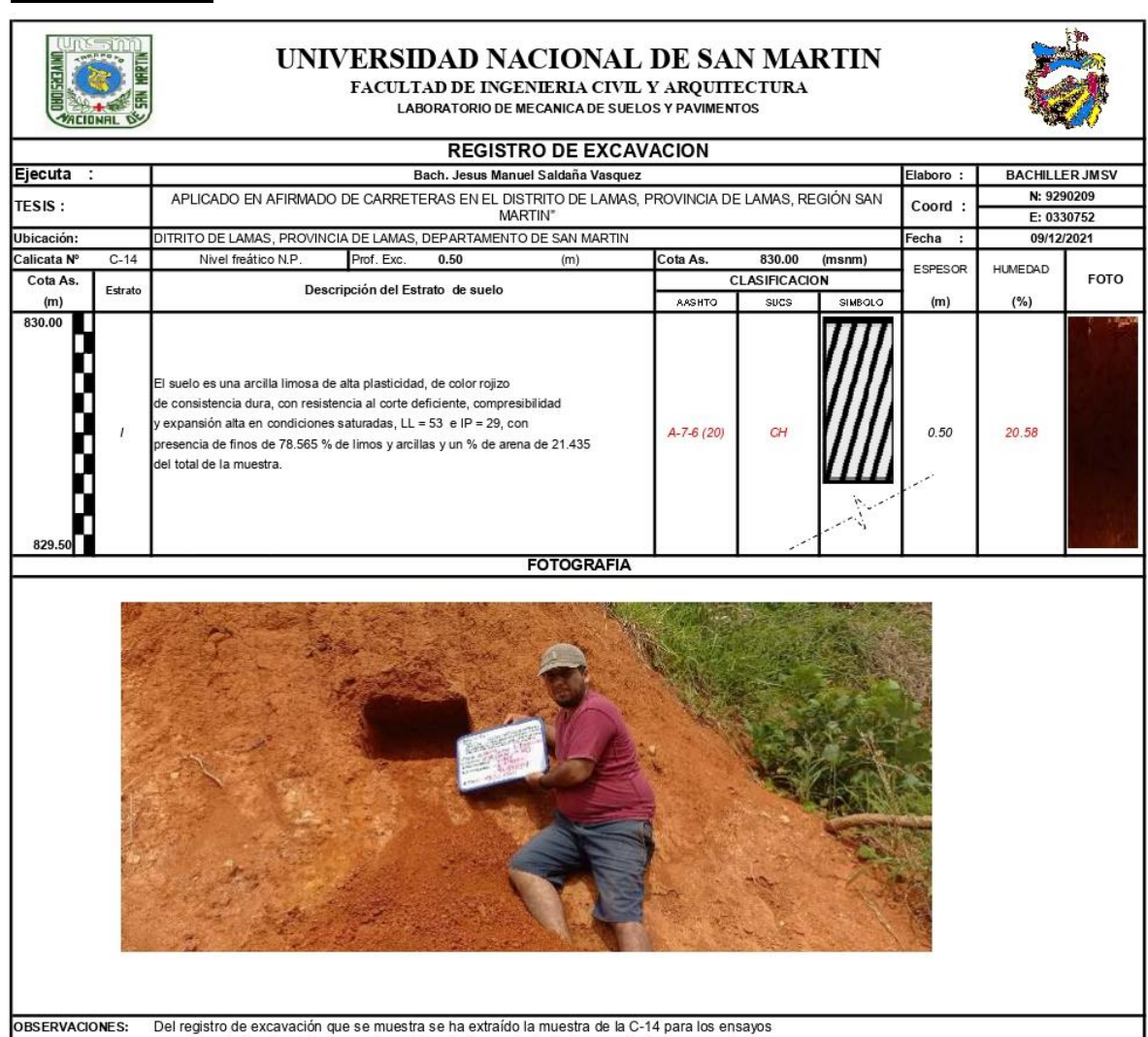
PUNTO	P1	P2	P3	P4	P5
N° Capas	5	5	5	5	5
N° Golpes por capa	25	25	25	25	25
Porcentaje de Agua	6 %	8 %	10 %	12 %	14 %
Peso Suelo + Molde	7094.00	7163.00	7234.00	7196.00	7184.00
Peso Del Molde	2770.00	2770.00	2770.00	2770.00	2770.00
Peso Suelo Húmedo Compactado	4324.00	4393.00	4464.00	4426.00	4414.00
Densidad Húmeda	2.04	2.07	2.10	2.08	2.08
Capsula Nro.	P - 2	P - 36	P - 39	P-3	P -29
Peso De La Capsula	95.43	113.49	107.62	95.43	80.53
Peso Suelo Húmedo +Capsula	168.59	200.81	199.90	199.91	210.32
Peso Suelo Seco + Capsula	156.86	186.47	183.88	181.10	186.81
Peso De Agua	11.73	14.34	16.02	18.81	23.51
Peso Del Suelo Seco	61.43	72.98	76.26	85.67	106.28
Contenido Humedad	19.09	19.65	21.01	21.96	22.12
Densidad Seca	1.7102	1.7294	1.7377	1.7095	1.7025



Densidad Seca Máxima	1.74
Contenido de Humedad Óptima	20.55

Fotografía Nº 60: Ensayo de Proctor Modificado de la C-13.

# Calicata N° 14:



Fotografía Nº 61: Registro de excavación de la C-14.

correspondientes, los mismos que han sido extraídas, colectadas, transportadas y preparadas

de acuerdo a las normas vigentes en nuestro país y homologadas con normas A.S.T.M, (registro sin escala)



FACULTAD DE INGENIERIA CIVIL Y ARQUITECTURA LABORATORIO DE MECANICA DE SUELOS Y PAVIMENTOS



Tesis: "INFLUENCIA DEL ÍNDICE PLÁSTICO EN EL CONTENIDO ÓPTIMO DE HUMEDAD EN SUELOS ARCILLOSOS APLICADO EN AFIRMADO DE CARRETERAS EN EL DISTRITO DE LAMAS, PROVINCIA DE LAMAS, REGIÓN SAN MARTIN"

Localización del proyecto : Distrito de Lamas

 Descripción del Suelo :
 Color Rojizo

 Identificación de la Muestra :
 Talud Lado Derecho
 Operador :
 Calicata :
 C - 14
 Fecha :
 09/12/2021

Tipo de la Muestra: Alterada No alterada X Remoldeada Coordenadas Punto de Muestra:

Extracción de Muestra: Cliente Técnico UNSM Bachiller X

N: 9290209 E: 0330752

## METODO DE ENSAYO PARA DETERMINAR EL CONTENIDO DE HUMEDAD

Determinación del Límite Líquido (N.T.P. 339.127)

Recipiente N°	P - 6	P - 79	P - 201
Peso del recipiente grs.	111.43	82.05	68.80
Peso del suelo húmedo + recipiente grs.	268.50	230.35	237.95
Peso del suelo seco + recipiente grs.	241.89	204.98	208.92
Peso del agua grs.	26.61	25.37	29.03
Peso del suelo seco grs.	130.46	122.93	140.12
Contenido de Humedad %	20.40	20.64	20.72
Promedio de contenido de humedad %		20.58	

Fotografía Nº 62: Ensayo de Contenido de Humedad de la C-14.

Tipo de la Muestra:

# UNIVERSIDAD NACIONAL DE SAN MARTIN





Tesis: "INFLUENCIA DEL ÍNDICE PLÁSTICO EN EL CONTENIDO ÓPTIMO DE HUMEDAD EN SUELOS ARCILLOSOS APLICADO EN AFIRMADO DE CARRETERAS EN EL DISTRITO DE LAMAS, PROVINCIA DE LAMAS, REGIÓN SAN MARTIN"

Distrito de Lamas Localización del proyecto : Descripción del Suelo:

Color Rojizo Identificación de la Muestra: Talud Lado Derecho

Operador:

Profundidad de la Muestra: 0.50 m Calicata: C - 14 Fecha:

09/12/2021

Alterada

No alterada X Remoldeada

METODO DE ENSAYO PARA DETERMINAR EL LIMITE LIQUIDO, LIMITE PLASTICO, E INDICE DE PLASTICIDAD DE SUELOS

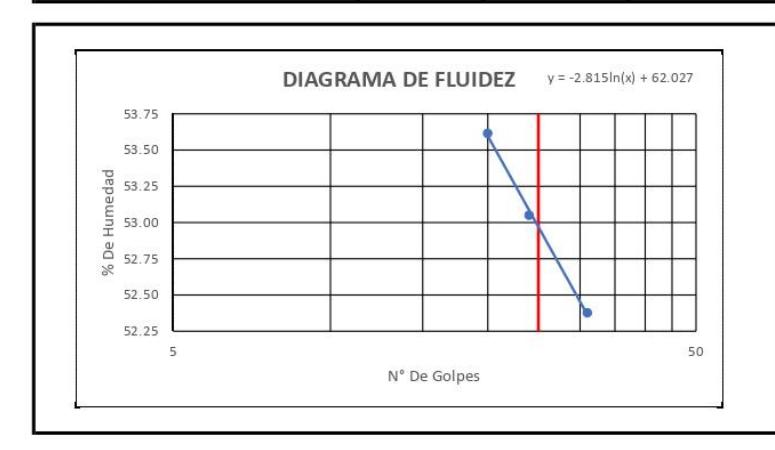
Coordenadas Punto de Muestra:

N: 9290209 E: 0330752

Técnico UNSM Extracción de Muestra: Bachiller

#### Determinación del Límite Líquido (N.T.P. 339.129)

Recipiente N°	T - 30	T - 20	T - 1
Peso del recipiente grs.	31.35	31.19	31.39
Peso del suelo húmedo + recipiente grs.	46.65	44.49	44.54
Peso del suelo seco + recipiente grs.	41.31	39.88	40.02
Peso del agua grs.	5.34	4.61	4.52
Peso del suelo seco grs.	9.96	8.69	8.63
Contenido de Humedad %	53.61	53.05	52.38
Número de Golpes	20	24	31



Límite Líquido (%)	53
Límite Plástico (%)	24
Indice de Plasticidad Ip (%)	29

#### Determinación del Límite Plástico (N.T.P. 339.131)

Recipiente N°	T - 16	T - 100	T - M4
Peso del recipiente grs.	31.38	31.30	31.08
Peso del suelo húmedo + recipiente grs.	32.96	32.91	32.96
Peso del suelo seco + recipiente grs.	32.66	32.60	32.59
Peso del agua grs.	0.30	0.310	0.37
Peso del suelo seco grs.	1.28	1.30	1.51
Contenido de Humedad %	23.44	23.85	24.50
Promedio del contenido de humedad LP	23.93		

Fotografía Nº 63: Ensayo de Límites de Consistencia de la C-14.



FACULTAD DE INGENIERIA CIVIL Y ARQUITECTURA LABORATORIO DE MECANICA DE SUELOS Y PAVIMENTOS



N: 9290209

E: 0330752

#### ANALISIS GRANULOMETRICO POR TAMIZADO - N.T.P. 339.128

#### A.- DATOS GENERALES

"INFLUENCIA DEL ÍNDICE PLÁSTICO EN EL CONTENIDO ÓPTIMO DE HUMEDAD EN SUELOS ARCILLOSOS APLICADO EN AFIRMADO DE CARRETERAS EN EL DISTRITO DE LAMAS, PROVINCIA DE LAMAS, REGIÓN SAN MARTIN" Tesis:

Localización del proyecto : Descripción del Suelo : Distrito de Lamas

Color Rojizo Profundidad de la Muestra: 0.50 m Identificación de la Muestra : Talud Lado Derecho Operador: Calicata: C-14 09/12/2021

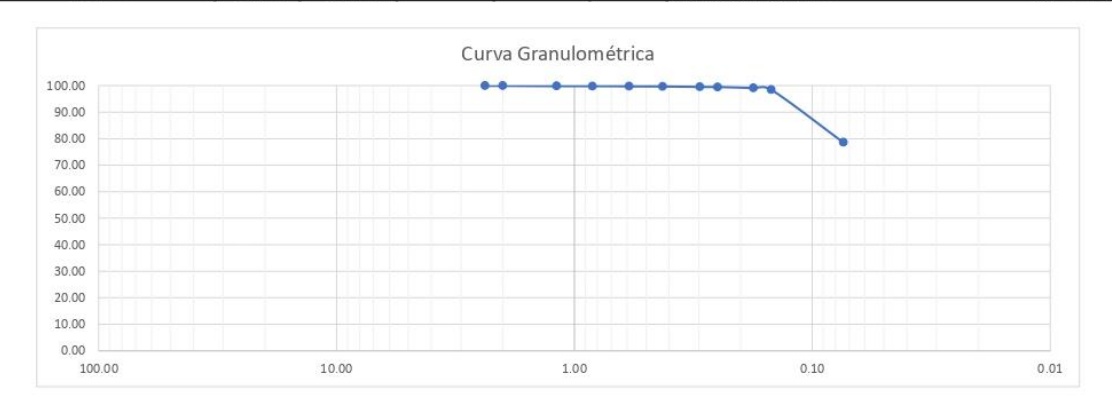
Tipo de la Muestra: No alterada X Remoldeada Coordenadas Punto de Muestra: Alterada [

Extracción de Muestra: Bachiller X Cliente Técnico UNSM

B.- DATOS TECNICOS

ANALISIS GRANULOMETRICO POR TAMIZADO N.T.P.339.128 Error Permitido% = 0.00% Permitido

TAMI	CES	Peso	Peso Ret.	% Retenido	% Retenido	% Que	DATOS TECNICOS DEL EN	SAYO Y RES	SULTADOS
Ø	(mm)	Retenido	Corregido	Parcial	Acumulado	pasa	Número del Recipiente:		P-6
Tamiz 5"	127.00			)			Peso del Recipiente:		111.43
Tamiz 4"	101.60						Peso del recipiente + suelo seco:		154.30
Tamiz 3"	76.20	200					Peso del suelo seco :		42.87
Tamiz 2"	50.80			j .			Peso del suelo seco antes del lavado	:	200.00
Tamiz 1 1/2"	38.10						Resultados O	btenidos:	
Tamiz 1"	25.40						Contenido de humedad natural	=	20.58
Tamiz 3/4"	19.050			1	i i		Límite Líquido	=	53
Tamiz 1/2"	12.700	0.15		Į.			Límite Plástico	=	24
Tamiz 3/8"	9.525			Ċ.			Índice Plástico	=	29
Tamiz 1/4"	6.350	5	,			55	Grava	=	0.00
N° 4	4.760	20		7		100.00	Arena	=	21.44
N° 8	2.380	0.06	0.06	0.03	0.03	99.97	Limos y Arcillas	=	78.57
N° 10	2.000	0.03	0.03	0.02	0.05	99.96	Porcentajes que pasan :		
N° 16	1.190	0.20	0.20	0.10	0.15	99.86	% Pasa el Tamiz N° 4	=	100.00 %
N° 20	0.840	0.09	0.09	0.05	0.19	99.81	% Pasa el Tamiz N° 10	=	99.96 %
N° 30	0.590	0.11	0.11	0.06	0.25	99.76	% Pasa el Tamiz N° 40	=	99.68 %
N° 40	0.426	0.15	0.15	0.08	0.32	99.68	% Pasa el Tamiz N° 200	=	78.57 %
N° 50	0.297	0.25	0.25	0.13	0.45	99.56	D60 :	=	99.76
N° 60	0.250	0.20	0.20	0.10	0.55	99.46	D30 :	=	99.56
N° 80	0.177	0.69	0.69	0.35	0.89	99.11	D10:	=	85.48
N° 100	0.149	1.17	1.17	0.59	1.48	98.53	Cc (Coeficiente de curvatura):	=	1.16
N° 200	0.074	39.92	39.92	19.96	21.44	78.57	Cu (Coeficiente de Uniformidad):	=	1.17
Fondo	0.010	157.13	157.13	78.57	100	0.00	Clasificación S.U.C.S.	=	CH
TOT	AL	200.00	200.00				Clasificación AASHTO	=	A-7-6 (20)



Fotografía Nº 64: Ensayo de Análisis granulométrico por tamizado de la C-14.

# MILANA MARTIN

# UNIVERSIDAD NACIONAL DE SAN MARTIN

FACULTAD DE INGENIERIA CIVIL Y ARQUITECTURA LABORATORIO DE MECANICA DE SUELOS Y PAVIMENTOS



Tesis: "INFLUENCIA DEL ÍNDICE PLÁSTICO EN EL CONTENIDO ÓPTIMO DE HUMEDAD EN SUELOS ARCILLOSOS APLICADO EN

AFIRMADO DE CARRETERAS EN EL DISTRITO DE LAMAS, PROVINCIA DE LAMAS, REGIÓN SAN MARTIN"

Localización del proyecto : Distrito de Lamas

 Descripción del Suelo :
 Color Rojizo

 Identificación de la Muestra :
 Talud Lado Derecho

 Operador :
 Calicata :

 Calicata :
 C - 14

 Fecha :
 09/12/2021

Tipo de la Muestra: Alterada No alterada X Remoldeada Coordenadas Punto de Muestra:

Extracción de Muestra: Cliente Técnico UNSM Bachiller X

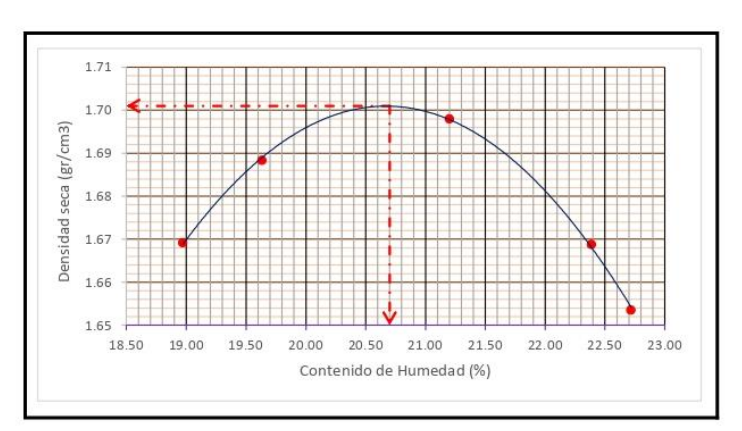
N: 9290209 E: 0330752

#### METODO DE ENSAYO PARA DETERMINAR EL PROCTOR MODIFICADO

Determinación del Proctor Modificado (N.T.P. 339.149)

METODO DE COMPACTACIÓN : A Volumen del Molde : 2123

PUNTO	P1	P2	P3	P4	P5
N° Capas	5	5	5	5	5
N° Golpes por capa	25	25	25	25	25
Porcentaje de Agua	6 %	8 %	10 %	12 %	14 %
Peso Suelo + Molde	6986.00	7058.00	7139.00	7106.00	7078.00
Peso Del Molde	2770.00	2770.00	2770.00	2770.00	2770.00
Peso Suelo Húmedo Compactado	4216.00	4288.00	4369.00	4336.00	4308.00
Densidad Húmeda	1.99	2.02	2.06	2.04	2.03
Capsula Nro.	P-6	P - 79	P - 201	P - 117	P - 109
Peso De La Capsula	111.43	82.05	68.80	98.89	90.11
Peso Suelo Húmedo +Capsula	192.77	170.83	170.79	213.36	223.64
Peso Suelo Seco + Capsula	179.80	156.26	152.95	192.42	198.92
Peso De Agua	12.97	14.57	17.84	20.94	24.72
Peso Del Suelo Seco	68.37	74.21	84.15	93.53	108.81
Contenido Humedad	18.97	19.63	21.20	22.39	22.72
Densidad Seca	1.6692	1.6883	1.6980	1.6688	1.6535



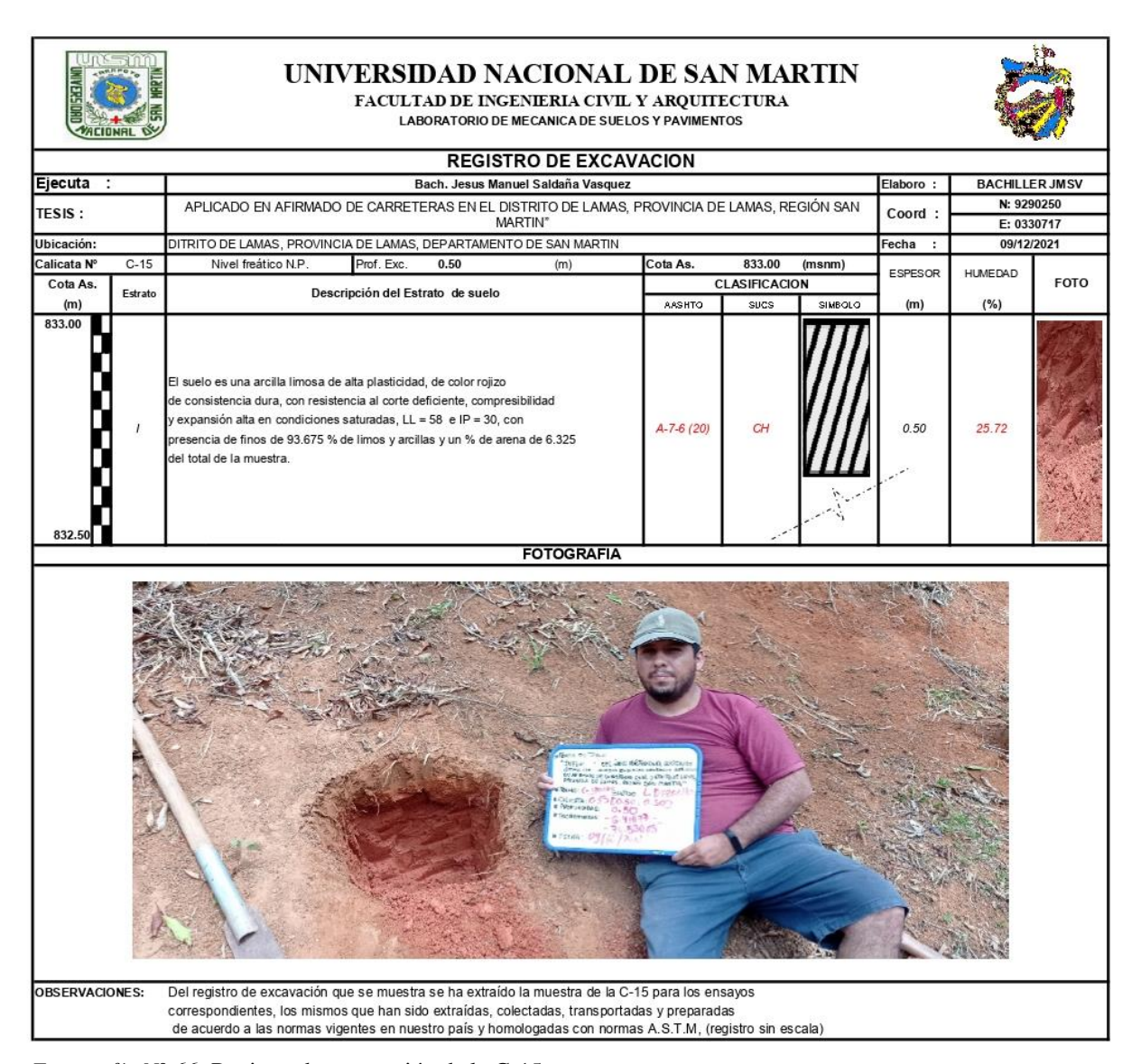
	10.0
Densidad Seca Máxima	1.70
Contenido de Humedad Óntima	20.70

Fotografía  $N^{\circ}$  65: Ensayo de Proctor Modificado de la C-14.

X

×

# Calicata N° 15:



Fotografía N° 66: Registro de excavación de la C-15.



FACULTAD DE INGENIERIA CIVIL Y ARQUITECTURA LABORATORIO DE MECANICA DE SUELOS Y PAVIMENTOS



Tesis: "INFLUENCIA DEL ÍNDICE PLÁSTICO EN EL CONTENIDO ÓPTIMO DE HUMEDAD EN SUELOS ARCILLOSOS APLICADO EN AFIRMADO DE CARRETERAS EN EL DISTRITO DE LAMAS, PROVINCIA DE LAMAS, REGIÓN SAN MARTIN"

Localización del proyecto : Descripción del Suelo : Distrito de Lamas Color rojizo

Profundidad de la Muestra: 0.50 m Identificación de la Muestra: Talud Lado Derecho Operador : Calicata: C - 15 Fecha: 09/12/2021

Tipo de la Muestra: No alterada X Remoldeada Coordenadas Punto de Muestra:

Bachiller Extracción de Muestra: Cliente Técnico UNSM

N: 9290250 E: 0330717

## METODO DE ENSAYO PARA DETERMINAR EL CONTENIDO DE HUMEDAD

Determinación del Límite Líquido (N.T.P. 339.127)

Recipiente N°	P - 300	P - 304	P -114
Peso del recipiente grs.	70.92	65.46	86.61
Peso del suelo húmedo + recipiente grs.	178.13	173.37	187.99
Peso del suelo seco + recipiente grs.	156.09	151.14	167.49
Peso del agua grs.	22.04	22.23	20.50
Peso del suelo seco grs.	85.17	85.68	80.88
Contenido de Humedad %	25.88	25.95	25.35
Promedio de contenido de humedad %	el.	25.72	19)

Fotografía Nº 67: Ensayo de Contenido de Humedad de la C-15.





FACULTAD DE INGENIERIA CIVIL Y ARQUITECTURA LABORATORIO DE MECANICA DE SUELOS Y PAVIMENTOS

"INFLUENCIA DEL ÍNDICE PLÁSTICO EN EL CONTENIDO ÓPTIMO DE HUMEDAD EN SUELOS ARCILLOSOS APLICADO EN Tesis:

AFIRMADO DE CARRETERAS EN EL DISTRITO DE LAMAS, PROVINCIA DE LAMAS, REGIÓN SAN MARTIN"

Localización del proyecto : Distrito de Lamas

Profundidad de la Muestra: 0.50 m Descripción del Suelo: Color rojizo 09/12/2021 Identificación de la Muestra: Talud Lado Derecho Operador: Calicata: C - 15 Fecha:

No alterada X Remoldeada Coordenadas Punto de Muestra: Tipo de la Muestra: Alterada

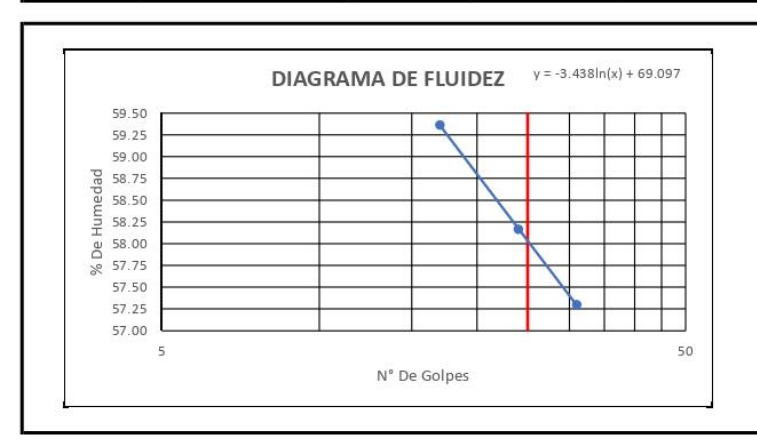
Extracción de Muestra: Cliente Técnico UNSM Bachiller X

N: 9290250 E: 0330717

#### METODO DE ENSAYO PARA DETERMINAR EL LIMITE LIQUIDO, LIMITE PLASTICO, E INDICE DE PLASTICIDAD DE SUELOS

#### Determinación del Límite Líquido (N.T.P. 339.129)

Recipiente N°	61 C/T19	T 119	501 C/T 17
Peso del recipiente grs.	31.29	31.00	31.42
Peso del suelo húmedo + recipiente grs.	45.25	48.73	44.57
Peso del suelo seco + recipiente grs.	40.05	42.21	39.78
Peso del agua grs.	5.20	6.52	4.79
Peso del suelo seco grs.	8.76	11.21	8.36
Contenido de Humedad %	59.36	58.16	57.30
Número de Golpes	17	24	31



Límite Líquido (%)	58
Límite Plástico (%)	28
Indice de Plasticidad Ip (%)	30

#### Determinación del Límite Diáctico (N.T. D. 339 131)

Determination der Emilie Flastico(N.T.F. 339.131)						
Recipiente N°	2 C/T 22	14 C/T 6	23 C/T 4			
Peso del recipiente grs.	15.96	15.51	15.53			
Peso del suelo húmedo + recipiente grs.	17.74	17.35	17.25			
Peso del suelo seco + recipiente grs.	17.36	16.95	16.87			
Peso del agua grs.	0.38	0.400	0.38			
Peso del suelo seco grs.	1.40	1.44	1.34			
Contenido de Humedad %	27.14	27.78	28.36			
Promedio del contenido de humedad LP		27.76				

Fotografía N° 68: Ensayo de Límites de Consistencia de la C-15.





#### FACULTAD DE INGENIERIA CIVIL Y ARQUITECTURA LABORATORIO DE MECANICA DE SUELOS Y PAVIMENTOS ANALISIS GRANULOMETRICO POR TAMIZADO - N.T.P. 339.128 A.- DATOS GENERALES "INFLUENCIA DEL ÍNDICE PLÁSTICO EN EL CONTENIDO ÓPTIMO DE HUMEDAD EN SUELOS ARCILLOSOS APLICADO EN AFIRMADO DE Tesis: CARRETERAS EN EL DISTRITO DE LAMAS, PROVINCIA DE LAMAS, REGIÓN SAN MARTIN" Localización del proyecto : Distrito de Lamas Descripción del Suelo : Color rojizo Profundidad de la Muestra: 0.50 m Identificación de la Muestra: Talud Lado Derecho Operador: 09/12/2021 Calicata: C-15 Fecha: Remoldeada Tipo de la Muestra: Alterada No alterada X Coordenadas Punto de Muestra: Extracción de Muestra: Cliente Técnico UNSM Bachiller X N: 9290250 E: 0330717 B.- DATOS TECNICOS ANALISIS GRANULOMETRICO POR TAMIZADO N.T.P.339.128 Error Permitido% = 0.00% Permitido % Retenido DATOS TECNICOS DEL ENSAYO Y RESULTADOS TAMICES Peso Peso Ret. % Retenido Retenido Corregido Parcial Acumulado pasa (mm) Tamiz 5" Peso del Recipiente: 86.61 127.00 Peso del recipiente + suelo seco: Tamiz 4" 101.60 99.26 Tamiz 3" Peso del suelo seco 12.65 76.20 Tamiz 2" 50.80 Peso del suelo seco antes del lavado: 200.00 Tamiz 1 1/2" 38.10 Resultados Obtenidos: 25.72 77 Tamiz 1" 25.40 Contenido de humedad natural Tamiz 3/4" 19.050 Límite Líquido Tamiz 1/2" Límite Plástico 28 12.700 Tamiz 3/8" 9.525 Índice Plástico 49 Grava Tamiz 1/4" 0.00 6.350 4.760 100.00 Arena 6.33 93.68 N° 8 0.13 2.380 0.25 0.25 0.13 Limos y Arcillas 99.87 N° 10 0.01 Porcentajes que pasan : 2.000 0.02 0.02 0.14 N° 16 0.09 0.23 99.78 % Pasa el Tamiz N° 4 100.00 % 1.190 0.18 0.18 N° 20 0.840 0.18 0.09 99 69 % Pasa el Tamiz Nº 10 99.87 % 99.58 % Pasa el Tamiz N° 40 99.46 % 0.11 0.43 0.590 0.22 0.22 N° 40 0.12 99.46 % Pasa el Tamiz N° 200 93.68 % 0.426 0.24 0.24 0.55 N° 50 0.297 0.20 0.74 99.26 D60 99.58 0.39 0.39 N° 60 99.10 0.17 0.91 1.34 0.250 0.33 0.33 D30 98.66 95.25 0.177 0.87 0.87 N° 100 0.149 0.91 0.91 0.46 1.80 98 21 Cc (Coeficiente de curvatura) : 1 04 93.68 1.05 N° 200 4.53 0.074 9 06 9 06 6.33 Cu (Coeficiente de Uniformidad): 93.68 0.00 Clasificación S.U.C.S. СН Fondo 187.35 187.35 0.010 100 A-7-6 (20) TOTAL 200.00 200.00 Clasificación AASHTO Curva Granulométrica 98.00 97.00 96.00 95.00 94.00 93.00 100.00

Fotografía N° 69: Ensayo de Análisis granulométrico por tamizado de la C-15.





Tesis : "INFLUENCIA DEL ÍNDICE PLÁSTICO EN EL CONTENIDO ÓPTIMO DE HUMEDAD EN SUELOS ARCILLOSOS APLICADO EN

AFIRMADO DE CARRETERAS EN EL DISTRITO DE LAMAS, PROVINCIA DE LAMAS, REGIÓN SAN MARTIN"

Distrito de Lamas Localización del proyecto :

Color rojizo Profundidad de la Muestra: 0.50 m Descripción del Suelo: Identificación de la Muestra: Talud Lado Derecho Calicata: C - 15 Fecha: 09/12/2021 Operador:

Tipo de la Muestra: Alterada No alterada X Remoldeada Coordenadas Punto de Muestra:

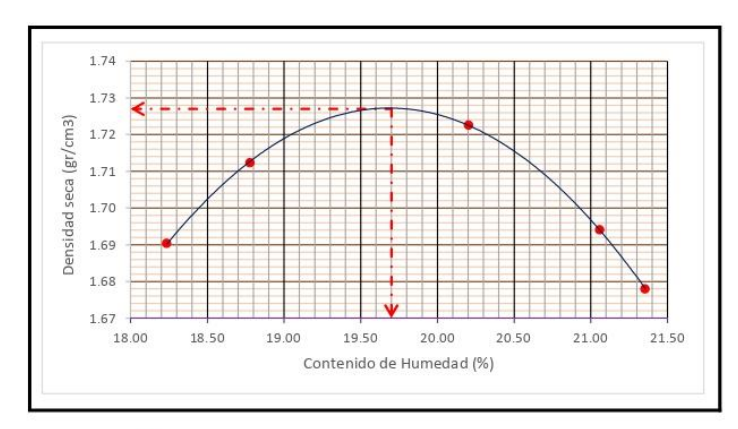
N: 9290250 E: 0330717 Extracción de Muestra: Técnico UNSM Bachiller

# METODO DE ENSAYO PARA DETERMINAR EL PROCTOR MODIFICADO

Determinación del Proctor Modificado (N.T.P. 339.149)

METODO DE COMPACTACIÓN : Volumen del Molde : 2123

PUNTO	P1	P2	P3	P4	P5
N° Capas	5	5	5	5	5
N° Golpes por capa	25	25	25	25	25
Porcentaje de Agua	6 %	8 %	10 %	12 %	14 %
Peso Suelo + Molde	7013.00	7088.00	7166.00	7124.00	7093.00
Peso Del Molde	2770.00	2770.00	2770.00	2770.00	2770.00
Peso Suelo Húmedo Compactado	4243.00	4318.00	4396.00	4354.00	4323.00
Densidad Húmeda	2.00	2.03	2.07	2.05	2.04
Capsula Nro.	P - 300	P - 304	P -114	P - 1	P - 7
Peso De La Capsula	70.92	65.46	86.61	100.10	97.06
Peso Suelo Húmedo +Capsula	181.21	189.31	217.20	238.81	252.55
Peso Suelo Seco + Capsula	164.20	169.73	195.25	214.68	225.19
Peso De Agua	17.01	19.58	21.95	24.13	27.36
Peso Del Suelo Seco	93.28	104.27	108.64	114.58	128.13
Contenido Humedad	18.24	18.78	20.20	21.06	21.35
Densidad Seca	1.6903	1 7124	1.7226	1.6941	1.6780



Densidad Seca Máxima	1.73
Contenido de Humedad Óptima	19.70

Fotografía N° 70: Ensayo de Proctor Modificado de la C-15.

X X

# Calicata N° 16:



Fotografía N° 70: Registro de excavación de la C-16.



FACULTAD DE INGENIERIA CIVIL Y ARQUITECTURA LABORATORIO DE MECANICA DE SUELOS Y PAVIMENTOS



"INFLUENCIA DEL ÍNDICE PLÁSTICO EN EL CONTENIDO ÓPTIMO DE HUMEDAD EN SUELOS ARCILLOSOS APLICADO EN AFIRMADO DE CARRETERAS EN EL DISTRITO DE LAMAS, PROVINCIA DE LAMAS, REGIÓN SAN MARTIN" Tesis:

Localización del proyecto : Distrito de Lamas Descripción del Suelo : Color Amarillo

Profundidad de la Muestra: 0.50 m Identificación de la Muestra: Talud Lado Derecho Operador: Calicata: C - 16 Fecha: 09/12/2021

Tipo de la Muestra: X Remoldeada Coordenadas Punto de Muestra: Alterada [ No alterada

Técnico UNSM Bachiller Χ Extracción de Muestra: Cliente

N: 9288811 E: 0333121

#### METODO DE ENSAYO PARA DETERMINAR EL CONTENIDO DE HUMEDAD

Determinación del Límite Líquido (N.T.P. 339.127)

Recipiente N°	P - 76	P - 77	P - 104	
Peso del recipiente grs.	108.02	100.59	89.55	
Peso del suelo húmedo + recipiente grs.	229.78	221.04	209.04	
Peso del suelo seco + recipiente grs.	216.63	208.22	196.09	
Peso del agua grs.	13.15	12.82	12.95	
Peso del suelo seco grs.	108.61	107.63	106.54	
Contenido de Humedad %	12.11	11.91	12.16	
Promedio de contenido de humedad %		12.06		

Fotografía N° 71: Ensayo de Contenido de Humedad de la C-16.



FACULTAD DE INGENIERIA CIVIL Y ARQUITECTURA LABORATORIO DE MECANICA DE SUELOS Y PAVIMENTOS



"INFLUENCIA DEL ÍNDICE PLÁSTICO EN EL CONTENIDO ÓPTIMO DE HUMEDAD EN SUELOS ARCILLOSOS APLICADO EN Tesis:

AFIRMADO DE CARRETERAS EN EL DISTRITO DE LAMAS, PROVINCIA DE LAMAS, REGIÓN SAN MARTIN"

Localización del proyecto :

Descripción del Suelo : Color Amarillo Profundidad de la Muestra: 0.50 m Identificación de la Muestra: Talud Lado Derecho Operador: 09/12/2021 Calicata: C - 16 Fecha:

Tipo de la Muestra: No alterada X Remoldeada Coordenadas Punto de Muestra: Alterada |

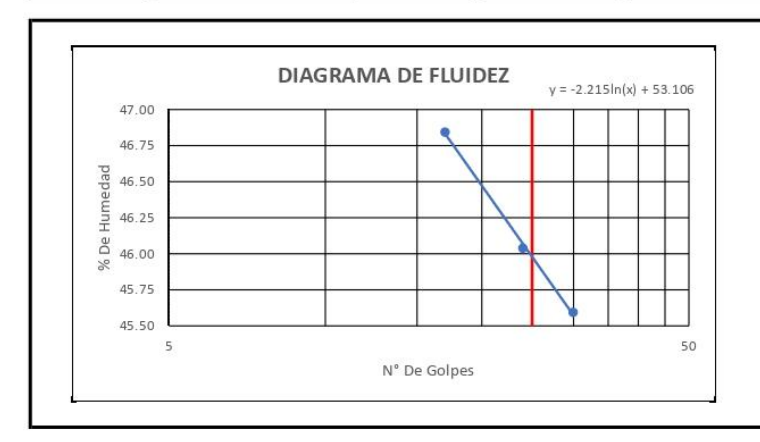
Extracción de Muestra: Técnico UNSM Bachiller X N: 9288811 Cliente

E: 0333121

#### METODO DE ENSAYO PARA DETERMINAR EL LIMITE LIQUIDO, LIMITE PLASTICO, E INDICE DE PLASTICIDAD DE SUELOS

#### Determinación del Límite Líquido (N.T.P. 339.129)

Recipiente N°	89	147 CT 145	139 Ct 24
Peso del recipiente grs.	31.54	31.41	31.26
Peso del suelo húmedo + recipiente grs.	55.96	58.12	55.37
Peso del suelo seco + recipiente grs.	48.17	49.70	47.82
Peso del agua grs.	7.79	8.42	7.55
Peso del suelo seco grs.	16.63	18.29	16.56
Contenido de Humedad %	46.84	46.04	45.59
Número de Golpes	17	24	30



Límite Líquido (%)	46
Límite Plástico (%)	24
Índice de Plasticidad Ip (%)	22

Determination del Limite Plastico(N.1.P. 339.131)						
Recipiente N°	85 CT 149	TAPA 53	39 CT 99			
Peso del recipiente grs.	31.01	31.19	31.36			
Peso del suelo húmedo + recipiente grs.	32.67	32.73	32.09			
Peso del suelo seco + recipiente grs.	32.35	32.44	31.95			
Peso del agua grs.	0.32	0.290	0.14			
Peso del suelo seco grs.	1.34	1.25	0.59			
Contenido de Humedad %	23.88	23.20	23.73			
Promedio del contenido de humedad LP		23.60				

Fotografía N° 72: Ensayo de Límites de Consistencia de la C-16.

NILIBRA NUS		U	FAC	ULTAD DE IN		IVIL Y AR	E SAN MARTIN QUITECTURA PAVIMENTOS	
			ANALISIS G	RANULOME	TRICO POR	RTAMIZA	DO - N.T.P. 339.128	
DATOS GEN	IERALES							
esis:	"INFLUENCIA						MEDAD EN SUELOS ARCILLOSOS APLICADO INCIA DE LAMAS, REGIÓN SAN MARTIN"	EN AFIRMADO DE
ocalización de escripción del		Distrito de L Color Amari					Profundidad de la Muestra :	0.50 m
lentificación d		Talud Lado			Operador:		Calicata: C-16 Fecha:	
ipo de la Mues			Alterada			9396	emoldeada Coordenadas Punto de Muestr	
xtracción de N	luestra:		Cliente	Técni	co UNSM		Bachiller X	N: 92888 E: 03331
DATOS TEC							E D W. W. 2000	
	JLOMETRICO PO	R TAMIZADO Peso	N.T.P.339.128 Peso Ret.	% Retenido	% Retenido	% Que	Error Permitido% = 0.00%  DATOS TECNICOS DEL ENSAYO Y F	Permitido
Ø	(mm)	Retenido	Corregido	% Retenido Parcial	% Retenido Acumulado	% Que	Número del Recipiente:	P - 0104
Tamiz 5"	127.00	Retenido	corregido	raitial	Acumulado	pasa	Peso del Recipiente:	89.55
Tamiz 4"	101.60					-	Peso del recipiente + suelo seco:	187.82
Tamiz 3"	76.20						Peso del recipiente + suelo seco.	98.27
Tamiz 2"	50.80						Peso del suelo seco antes del lavado:	200.00
Tamiz 1 1/2"	38.10						Resultados Obtenidos:	
Tamiz 1"	25.40						Contenido de humedad natural =	12.06
Tamiz 3/4"	19.050						Límite Líquido =	46
Tamiz 1/2"	12.700						Límite Plástico =	24
Tamiz 3/8"	9.525						Índice Plástico =	22
Tamiz 1/4" N° 4	6.350	0.47				100.00	Grava = Arena =	0.00 49.18
N° 4 N° 8	4.760 2.380	0.17 0.86	0.86	0.43	0.43	99.57	Arena = Limos y Arcillas =	49.18 50.82
N° 10	2.380	0.86	0.86	0.43	0.43	99.57	Porcentajes que pasan	
N° 16	1.190	1.14	1.14	0.57	1.06	98.94	% Pasa el Tamiz N° 4 =	100.00 %
N° 20	0.840	1.80	1.14	0.90	1.96	98 04	% Pasa el Tamiz N° 10 =	99.51 %
N° 30	0.590	3.13	3.13	1.57	3.52	96.48	% Pasa el Tamiz N° 40 =	93.50 %
N° 40	0.426	5.95	5.95	2.98	6.50	93.50	% Pasa el Tamiz N° 200 =	50.82 %
N° 50	0.297	9.59	9.59	4.80	11.30	88.70	D∞: =	96.54
N° 60	0.250	7.25	7.25	3.63	14.93	85.07	D∞: =	88.81
N° 80	0.177	21.38	21.38	10.70	25.63	74.37	D <sub>10</sub> : =	57.24
N° 100	0.149	10.08	10.08	5.04	30.67	69.33	Cc (Coeficiente de Curvatura): =	1.43
N° 200 Fondo	0.074	36.98 101.56	36.98 101.56	18.51 50.82	49.18 100	50.82	Cu (Coeficiente de Uniformidad) : = Clasificación S.U.C.S. =	1.69 CL
TO		200.00	199.83	50.82	100	0.00	Clasificación AASHTO =	A-7-6 (8)
10	IAL	200.00	155.05				Classificacion AASITIO =	A-1-0 (8)
				Cur	va Granulo	métrica		
100.00				•	•	-		
10000000							**	
80.00								
70.00								
60.00								
50.00							<b>\</b>	
40.00								
30.00								
20.00								
10.00								
0.00								
100	0.00		10.00		1.00		0.10	0.01

Fotografía  $N^{\circ}$  73: Ensayo de Análisis granulométrico por tamizado de la C-16.



FACULTAD DE INGENIERIA CIVIL Y ARQUITECTURA LABORATORIO DE MECANICA DE SUELOS Y PAVIMENTOS



Tesis: "INFLUENCIA DEL ÍNDICE PLÁSTICO EN EL CONTENIDO ÓPTIMO DE HUMEDAD EN SUELOS ARCILLOSOS APLICADO EN AFIRMADO DE CARRETERAS EN EL DISTRITO DE LAMAS, PROVINCIA DE LAMAS, REGIÓN SAN MARTIN"

Localización del proyecto : Distrito de Lamas Descripción del Suelo : Color Amarillo Identificación de la Muestra: Talud Lado Derecho

Operador:

Calicata: C - 16 Fecha: 09/12/2021

Profundidad de la Muestra: 0.50 m

Tipo de la Muestra: Alterada Extracción de Muestra:

No alterada X Remoldeada Técnico UNSM Bachiller

Coordenadas Punto de Muestra: N: 9288811

E: 0333121

#### METODO DE ENSAYO PARA DETERMINAR EL PROCTOR MODIFICADO

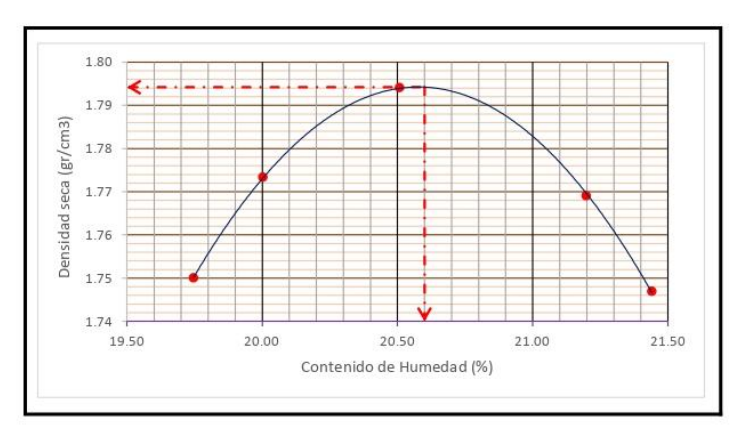
Determinación del Proctor Modificado (N.T.P. 339.149)

METODO DE COMPACTACIÓN :

Volumen del Molde :

2123

PUNTO	P1	P2	P3	P4	P5
N° Capas	5	5	5	5	5
N° Golpes por capa	25	25	25	25	25
Porcentaje de Agua	6 %	8 %	10 %	12 %	14 %
Peso Suelo + Molde	7219.00	7288.00	7360.00	7322.00	7274.00
Peso Del Molde	2770.00	2770.00	2770.00	2770.00	2770.00
Peso Suelo Húmedo Compactado	4449.00	4518.00	4590.00	4552.00	4504.00
Densidad Húmeda	2.10	2.13	2.16	2.14	2.12
Capsula Nro.	P - 76	P - 77	P - 104	P - 51	P - 91
Peso De La Capsula	108.02	100.59	89.55	109.67	85.94
Peso Suelo Húmedo +Capsula	185.52	193.52	194.32	224.19	216.89
Peso Suelo Seco + Capsula	172.74	178.03	176.49	204.16	193.77
Peso De Agua	12.78	15.49	17.83	20.03	23.12
Peso Del Suelo Seco	64.72	77.44	86.94	94.49	107.83
Contenido Humedad	19.75	20.00	20.51	21.20	21.44
Densidad Seca	1.7500	1.7734	1.7941	1.7691	1.7470



Densidad Seca Máxima	1.79
Contenido de Humedad Óptima	20.60

Fotografía N° 74: Ensayo de Proctor Modificado de la C-16.

# **ANEXO 3: Panel Fotográfico**

# Trabajo en campo



Fotografía  $N^{\circ}$  75: Se divisa las características del proyecto en estudio de la C-01.



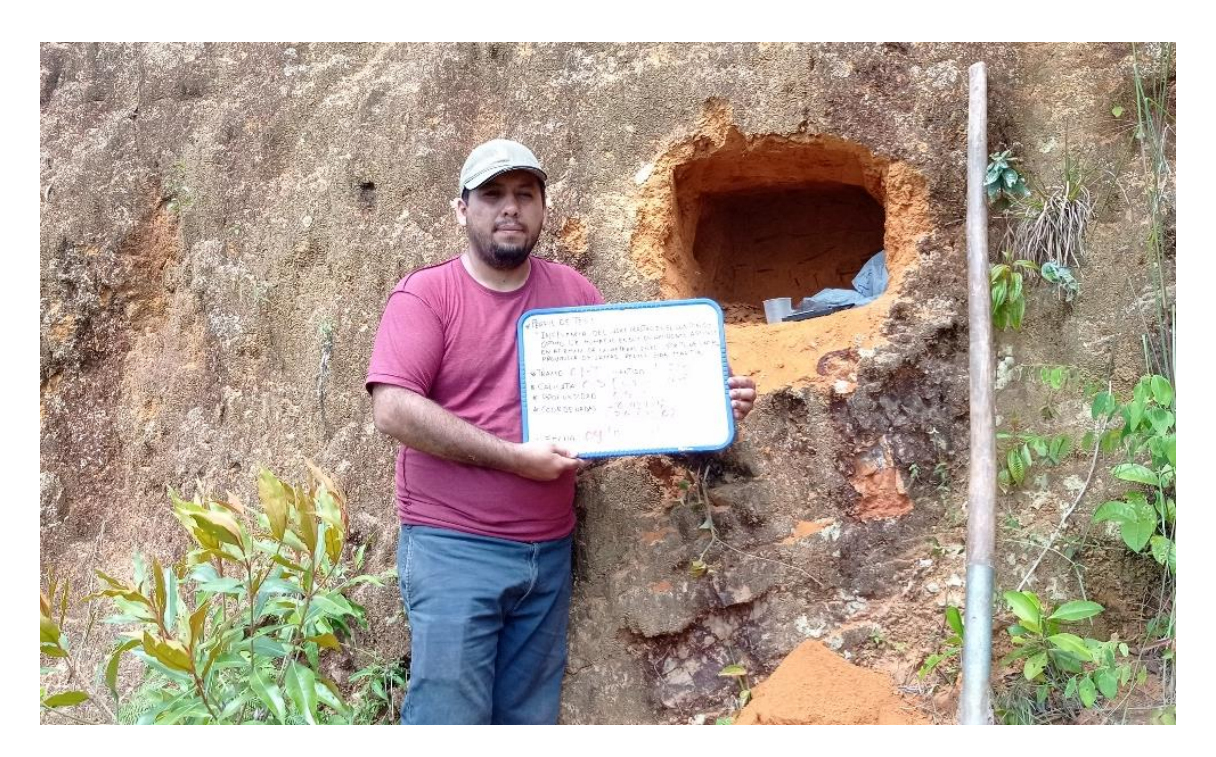
Fotografía  $N^{\circ}$  76: Se divisa las características del proyecto en estudio de la C-02.



Fotografía  $N^{\circ}$  77: Se divisa las características del proyecto en estudio de la C-03.



Fotografía  $N^{\circ}$  78: Se divisa las características del proyecto en estudio de la C-04.



Fotografía  $N^{\circ}$  79: Se divisa las características del proyecto en estudio de la C-05.



Fotografía  $N^{\circ}$  80: Se divisa las características del proyecto en estudio de la C – 06.



Fotografía  $N^{\circ}$  81: Se divisa las características del proyecto en estudio de la C-07.



Fotografía  $N^{\circ}$  82: Se divisa las características del proyecto en estudio de la C-08.



Fotografía  $N^{\circ}$  83: Se divisa las características del proyecto en estudio de la C – 09.



Fotografía  $N^{\circ}$  84: Se divisa las características del proyecto en estudio de la C – 10.



Fotografía  $N^{\circ}$  85: Se divisa las características del proyecto en estudio de la C – 11.



Fotografía  $N^{\circ}$  12: Se divisa las características del proyecto en estudio de la C – 12.



Fotografía  $N^{\circ}$  86: Se divisa las características del proyecto en estudio de la C – 13.



Fotografía  $N^{\circ}$  87: Se divisa las características del proyecto en estudio de la C-14.



Fotografía  $N^{\circ}$  88: Se divisa las características del proyecto en estudio de la C – 15.



Fotografía  $N^{\circ}$  89: Se divisa las características del proyecto en estudio de la C – 16.

## Pruebas del Laboratorio

## Contenido de Humedad



Fotografía  $N^{\circ}$  90: Se seleccionaron y se instalaron las muestras de ensayo en los recipientes.



Fotografía  $N^{\circ}$  91: Se pesaron las muestras húmedas empleando una balanza, se procedió al registro los datos.



Fotografía  $N^{\circ}$  92: Se instalaron los especímenes en las tazas de acero en el horno a 110°C +/- 5 °C por un plazo de veinticuatro hrs.



Fotografía N° 93: Luego de 24 horas se extraen las muestras y se colocan en el desecador, 10 min después se pesan las muestras secas.

# Límite Líquido



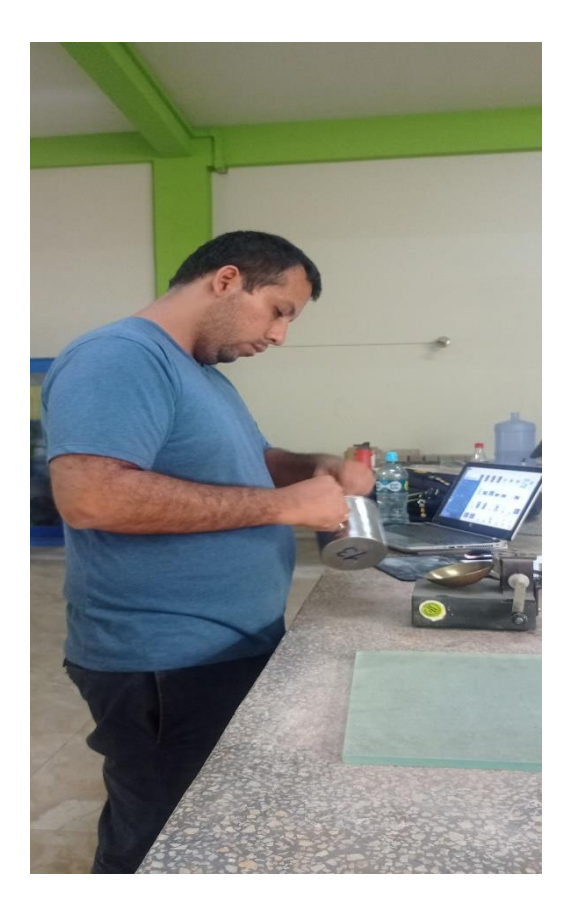
Fotografía  $N^{\circ}$  94: Después de haber secado la muestra bajo sol, se pasa por el Tamiz  $N^{\circ}$  4.



Fotografía  $N^{\circ}$  95: Se emplea agua destilada para el remojo del material.



Fotografía  $N^{\circ}$  96: El material tamizado se satura con agua destilada.



Fotografía N° 98: Después de saturado el material se bate constantemente hasta que la muestre quede uniforme.



Fotografía N° 97: Se dejó remojar cada muestra con agua destilada por 24 horas.



Fotografía N° 99: Se extendió el espécimen húmedo con una paleta en la copa de Casagrande a la hondura de un centímetro aproximadamente.



Fotografía N° 100: Se dio movimiento a la manivela de la copa de Casagrande hasta que las dos fracciones de la muestra estén en unión y se anotó la cantidad de impactos ejecutados.



Fotografía  $N^{\circ}$  101: Se registran las muestras y se colocaron en el horno a unos 110 + 5 °C durante 24 horas.



Fotografía N° 102: Luego de 24 horas se extraen las muestras y se colocan en el desecador, 10 min después se pesan los especímenes secos.

### Límite Plástico



Fotografía  $N^{\circ}$  103: Se prepara la muestra humedad.



Fotografía  $N^{\circ}$  105: Se registran las muestras y se colocaron en el horno a unos 110 + 5 °C durante 24 horas.



Fotografía N° 104: Se amaso el espécimen de manera elipsoide hasta llegar a cilindros de 3mm sobre la plancha de cristal hasta que se agriete.



Fotografía N° 106: Luego de 24 horas se extraen las muestras y se colocan en el desecador, 10 min después se pesan las muestras secas.

### Análisis granulométrico por tamizado



Fotografía N° 107: Separamos doscientos gr de todas las muestras y dejamos humedecer durante 24 horas.



Fotografía N° 109: Pasado el tiempo de secado en el horno las muestras se colocan en el disecador por 10 minutos para luego ser tamizado.



Fotografía N° 108: Pasada las 24 horas se lavan los especímenes en la malla doscientos con cuantiosa agua y se llevan al horno otras 24 horas adicionales.



Fotografía N° 110: Después de que cada muestra sea tamizada se pesan respectivamente y luego se procesan los datos obtenidos.

#### **Proctor Modificado**



Fotografía  $N^{\circ}$  111: Cada muestra es tamizada por la malla  $N^{\circ}$  4.



Fotografía  $N^{\circ}$  113: Se agrega un porcentaje de agua diferente para cada punto y el material se mezcla hasta quedar uniforme.



Fotografía  $N^{\circ}$  112: Se pesaron 5 Kg. de material tamizado para cada punto, siendo un total de 5 puntos por muestra.



Fotografía  $N^{\circ}$  114: Después de mezclar uniformemente el material se cuartea para luego ser colocado en el molde Proctor.



Fotografía  $N^{\circ}$  115: Colocación de material húmedo al molde Proctor por capas.



Fotografía  $N^{\circ}$  117: Terminada la compactación se extraer la muestra compactada.



Fotografía N° 116: Colocado el material húmedo se procede a compactar 25 golpes por cada capa (5 capas por muestra).



Fotografía N° 118: Extraído el material compactado se procede a sacar una muestra representativa para ser llevada al horno y después de 24 horas se procede a pesar.

Influencia del índice plástico en el contenido óptimo de humedad en suelos arcillosos aplicado en afirmado de carreteras en el distrito de Lamas, provincia de Lamas, región San Martin

por Jesus Manuel Saldaña Vasquez

Fecha de entrega: 25-ago-2022 09:30a.m. (UTC-0500)

Identificador de la entrega: 1886916565

 $\textbf{Nombre del archivo:} \ \mathsf{FICA-JESUS\_MANUEL\_SALDA\_A\_VASQUEZ.docx} \ (49.09 \mathrm{M})$ 

Total de palabras: 14584 Total de caracteres: 77402 Influencia del índice plástico en el contenido óptimo de humedad en suelos arcillosos aplicado en afirmado de carreteras en el distrito de Lamas, provincia de Lamas, región San Martin

INFORME DE ORIGINALIDAD		
-	8% 18% 1% E DE SIMILITUD FUENTES DE INTERNET PUBLICACIONES TRABAJOS DEL ESTUDIANTE	
FUENTES PRIMARIAS		
1	repositorio.unc.edu.pe Fuente de Internet	8%
2	hdl.handle.net Fuente de Internet	2%
3	repositorio.unsm.edu.pe Fuente de Internet	2%
4	repositorio.uandina.edu.pe Fuente de Internet	1 %
5	es.slideshare.net Fuente de Internet	1%
6	200.37.105.196:8080 Fuente de Internet	1%
7	repositorio.ucv.edu.pe Fuente de Internet	<1%
8	geama.org Fuente de Internet	<1%